



ปัจจัยที่มีผลต่อความสามารถในการจับโลหะของไคตินและไคโตแซน
Factors Affecting Metal Binding Capacity of Chitin and Chitosan

เฉวียน บัวตุ่ม

Thawien Bourtoom

วิทยานิพนธ์วิทยาศาสตรมหาบัณฑิต สาขาวิชาเทคโนโลยีผลิตภัณฑ์ประมง
มหาวิทยาลัยสงขลานครินทร์

Master of Science Thesis in Fishery Products Technology

Prince of Songkla University

2541

ก

| | |
|--------------|----------------------|
| เลขที่..... | Q.P. 902.C5 ๘๗๙ ๒๕๔๑ |
| Bib Key..... | 1A1909 |

๙ ๒ (1)

| | |
|-------------|---------------------------------------------------------------|
| วิทยานิพนธ์ | ปัจจัยที่มีผลต่อความสามารถในการจับโลหะของไคตินและ ไฮโดรเจน |
| ผู้เขียน | นายเกรียง บัวตุ่ม |
| สาขาวิชา | เทคโนโลยีผลิตภัณฑ์ปะรุง |

คณะกรรมการที่ปรึกษา

..... ประธานกรรมการ
(รองศาสตราจารย์ ดร. ไพรัตน์ โสกโนดร)

..... กรรมการ
(ผู้ช่วยศาสตราจารย์ ดร. นงพง โตวัฒนະ)

คณะกรรมการสอบ

..... ประธานกรรมการ
(รองศาสตราจารย์ ดร. ไพรัตน์ โสกโนดร)

..... กรรมการ
(ผู้ช่วยศาสตราจารย์ ดร. นงพง โตวัฒนະ)

..... กรรมการ
(อาจารย์ วรพงษ์ อัศวเกศมนี)

..... กรรมการ
(ดร. อุตสาห์ จันทร์คำไฟ)

บันทึกวิทยาลัย มหาวิทยาลัยสงขลานครินทร์ อนุมัติให้บัณฑิตวิทยานิพนธ์ฉบับนี้เป็น^๑
ส่วนหนึ่งของการศึกษาตามหลักสูตรวิทยาศาสตรมหาบัณฑิต สาขาวิชาเทคโนโลยี
ผลิตภัณฑ์ปะรุง

.....
(รองศาสตราจารย์ ดร. ก้าน จันทร์พรหมมา)

คณบดีบันทึกวิทยาลัย

(2)

| | |
|-----------------|--------------------------------------------------------------|
| ชื่อวิทยานิพนธ์ | ปัจจัยที่มีผลต่อความสามารถในการจับโลหะของ โคตินและโคโตแซน |
| ผู้เขียน | นายเดวีyan บัวศุ่ม |
| สาขาวิชา | เทคโนโลยีผลิตภัณฑ์ประมง |
| ปีการศึกษา | 2540 |

บทคัดย่อ

การศึกษาปัจจัยที่มีผลต่อความสามารถในการจับโลหะโดยเมี่ยมและตะกั่วของพอลิเมอร์โคตินและโคโตแซนจากเปลือกกุ้งกุ้ลาดำ (*Panaeus monodon*) ประกอบด้วยพีโ袖 ขนาดอนุภาคของพอลิเมอร์ ความเข้มข้นของสารละลายโลหะ เกล้า อัตราส่วนระหว่างพอลิเมอร์ต่อสารละลายโลหะ และระดับการทำจัดหมู่อะซิติดของโคโตแซน พบร่วมกับพีโ袖 ความเข้มข้นของสารละลายโลหะ และเกล้าเพิ่มขึ้น ความสามารถในการจับโลหะของโคตินและโคโตแซนมีค่าเพิ่มขึ้น ในขณะเดียวกันเมื่อขนาดอนุภาคของพอลิเมอร์ใหญ่ขึ้นและอัตราส่วนระหว่างพอลิเมอร์ต่อสารละลายเพิ่มขึ้น กลับส่งผลให้ความสามารถในการจับของพอลิเมอร์ทั้งสองมีแนวโน้มลดลง

ความสามารถในการจับโลหะของโคตินและโคโตแซนเกิดขึ้นสูงสุดที่พีโ袖 9.0 เมื่อความเข้มข้นของสารละลายโลหะและเกล้าเพิ่มขึ้น ความสามารถในการจับโลหะมีแนวโน้มเพิ่มขึ้น ในขณะที่ขนาดอนุภาค และอัตราส่วนของสารละลายโลหะต่อโคตินและโคโตแซนเพิ่มขึ้นความสามารถในการจับโลหะทั้งสองของโคตินและโคโตแซนลดลง นอกจากนี้โคโตแซนที่มีระดับหมู่อะซิติดที่สูงกว่าคาดว่าจะมีความสามารถในการจับโลหะที่สูงกว่า แต่จากการศึกษาไม่พบความแตกต่างอย่างมีนัยสำคัญทางสถิติ($P > 0.05$)

จากการศึกษาความสามารถในการทำจัดโดยเมี่ยมและตะกั่วของโคตินและโคโตแซนในลักษณะคลุมน์เดียวและคลุมน์คู่ พบร่วมกับความสามารถในการทำจัดโดยเมี่ยมและตะกั่วเป็นไปในลักษณะเดียวกันคือ ความสามารถในการทำจัดลดลงเมื่ออัตราเร็วของการเคลื่อนที่ผ่านคลุมน์เพิ่มขึ้นจาก 800 เป็น 1000 และ 1200 มิติลิตร/ชั่วโมง ตามลำดับ เนื่องจากการเคลื่อนที่ในอัตราเร็วสูงมีผลทำให้การสัมผัสระหว่างไอลอนโลหะต่อกันน้อยลงจึงทำให้สามารถลดปริมาณของโลหะได้น้อยกว่า

เมื่อใช้อัตราการเคลื่อนที่ต่ำ ความสามารถในการกำจัดโครงเมี่ยมและตะกั่วของไคตินและไคโตแซนเกิดขึ้นสูงสุดที่อัตราเร็ว 800 มิลลิลิตร/ชั่วโมง มีค่าประมาณร้อยละ 39 และ 45 เมื่อใช้ไคติน colloidal เดียว และประมาณร้อยละ 64 และ 77 เมื่อใช้ไคโตแซน colloidal เดียว ในลักษณะเดียวกันความสามารถในการกำจัดโครงเมี่ยมและตะกั่วมีค่าประมาณร้อยละ 55 และ 90 เมื่อใช้ไคติน colloidal คู่ และประมาณร้อยละ 82 และ 92 เมื่อใช้ไคโตแซน colloidal คู่ ตามลำดับ

แม้ว่าความสามารถในการกำจัดโครงเมี่ยมและตะกั่วในน้ำทึบจากโรงงานแปรรูปปลาทูน่ากระปองของไคตินและไคโตแซนมีลักษณะเดียวกับการใช้สารละลายโลหะที่เตรียมในห้องปฏิบัติการแต่พบว่าความสามารถในการกำจัดมีค่าลดลงเล็กน้อย ทั้งนี้เนื่องจากน้ำทึบจากโรงงานแปรรูปปลาทูน่ากระปองมีการปนเปื้อนของสารประกอบอื่นๆ เช่นสารประกอบอินทรีย์ ของแข็งแขวนลอย และไอโอดินอื่น เช่น แคลเซียม และ แมกนีเซียม น้ำทึบที่ผ่าน colloidal เดียวของไคตินและไคโตแซนมีค่าซีไอดี ของแข็งทึบหมด และความชุนลดลงประมาณร้อยละ 31 27 และ 77 สำหรับไคติน และ ลดลงประมาณร้อยละ 39 30 และ 73 เมื่อใช้ไคโตแซน ตามลำดับ ในทำนองเดียวกันเมื่อน้ำทึบผ่านไคติน colloidal ค่าซีไอดี ของแข็งทึบหมด และความชุนลดลงประมาณร้อยละ 44 37 และ 84 และลดลงประมาณร้อยละ 56 46 และ 84 เมื่อผ่านไคโตแซน colloidal คู่ ตามลำดับ

Thesis Title Factors Affecting Metal Binding Capacity of Chitin
 and Chitosan

Author Mr. Thawien Bourtoom

Major Program Fishery Products Technology

Academic 1997

Abstract

The binding capacity of the natural marine polymer chitin and its deacetylated derivatives chitosan from Black Tiger shrimp shell (*Penaeus monodon*) with chromium (Cr^{3+}) and lead (Pb^{2+}) has been investigated. Metal binding of chitin and chitosan was affected by pH, particle size, metal solution concentration, contact time, ratio of chitin and chitosan to metal solution and degree of deacetylation of chitosan. Increases in pH, metal solution concentration and contact time resulted in the increase of binding capacity of both chitin and chitosan. The larger particle size and higher ratio between chitin and chitosan to metal solution trend to give lower binding capacity.

Metal binding capacities of chitin and chitosan were affected by pH showing the maximum binding at pH 9. A higher metal solution concentration and longer contact time seemed to show higher binding capacity of chitin. The binding capacity of chitin and chitosan were decreased, however, when the larger particle size and ratio of chitin and chitosan to metal solution were increased. Chitosan with higher degree of deacetylation expected to result in more binding capacity, but in this study it showed non significantly increase ($P>0.05$).

Chromium and lead removing capacity from the prepared solution using single and double columns of chitin and chitosan were studied. The effect of

flow rate on metal removing capacity of chitin and chitosan showed that when flow rate was increased from 800 to 1000 and 1200 mL/h.,the metal removing capacity of chitin and chitosan were decreased, probably due to the shorter contact time of the higher flow rate .

The most efficiency in chromium and lead removing by both chitin and chitosan were observed when using single and double column at flow rate of 800 mL/h. Chromium and lead could be removed about 39 and 45 % when single column of chitin was used and about 64 and 70 % when single column of chitosan was used. The similar results occurred when double columns were used, showing that chromium and lead could be removed at about 55 and 90% when double column of chitin was used whereas double column of chitosan could remove those two metals at about 82 and 92% , respectively.

The experiment on the removal of chromium and lead in the effluent from tuna canning factory showed the similar results as the prepared metal solution. However, there were decreases in removing capacity due to the contamination of other compounds i.e., organic matter, suspended solid and other ions such as magnesium and calcium in the effluent from the factory. The treated effluent after passing through single column of chitin and chitosan contained lower COD, total solid and turbidity than initial values, which were reduced about 31, 27 and 77 % and 39, 30 and 73 % for chitin and chitosan , respectively .The same results were observed when double columns were used. COD, total solid and turbidity were reduced about 44, 37 and 84% and about 56, 46 and 84 % when double column of chitin and chitosan were used , respectively.

กิตติกรรมประกาศ

X

ขอขอบพระคุณจากศาสตราจารย์ ดร. ไพรัตน์ โสภณเดช ประธานกรรมการที่ปรึกษา ผู้ช่วยศาสตราจารย์ ดร. นงพงษ์ โตวัฒนา กรรมการที่ปรึกษา ที่กรุณาให้คำแนะนำในการค้นคว้า และการเขียนวิทยานิพนธ์ตลอดจนตรวจสอบความถูกต้องและความสมบูรณ์ของวิทยานิพนธ์ฉบับนี้ และขอขอบพระคุณอาจารย์ วรพงษ์ อัศวเกศมนี กรรมการผู้แทนจากคณะอุตสาหกรรมเกษตร ดร. อุดรสาคร จันทร์จำเพาะ กรรมการผู้แทนบัณฑิตวิทยาลัย ที่กรุณาให้คำแนะนำและแก้ไขวิทยานิพนธ์ให้สำเร็จสมบูรณ์ยิ่งขึ้น

ขอขอบคุณสำนักงานพัฒนาวิทยาศาสตร์และเทคโนโลยีแห่งชาติ และมูลนิธิมหาวิทยาลัยสงขลานครินทร์ ที่ให้การอนุเคราะห์สนับสนุนเงินทุนในการวิจัย ขอขอบคุณ British Council และบัณฑิตวิทยาลัยมหาวิทยาลัยสงขลานครินทร์ที่ให้การสนับสนุนในการเดินทางไปทำการวิจัย ณ มหาวิทยาลัย Humberside and Lincolnshire ประเทศอังกฤษ เป็นเวลา 2 เดือน

ขอขอบคุณเจ้าหน้าที่คณะอุตสาหกรรมเกษตรทุกท่านที่ให้การช่วยเหลือและช่วยเหลือในการศึกษาทดลอง

ผู้เขียนขอกราบขอบพระคุณ พ่อ แม่ และพี่ๆ ด้วยความเคารพยิ่งที่ให้การสนับสนุน การศึกษาและกำลังใจในการศึกษาครั้งนี้ ขอบคุณบุคลากรคณะอุตสาหกรรมเกษตรที่ให้กำลังใจด้วยดีตลอดมา

เฉวียน บัวตุ่ม

สารบัญ

| | |
|---------------------------------------------|------|
| | หน้า |
| บทคัดย่อ | (3) |
| Abstract | (5) |
| กิตติกรรมประกาศ | (7) |
| สารบัญ | (8) |
| รายการตาราง | (9) |
| รายการตารางผนวก | (10) |
| รายการรูป | (12) |
| บทที่ | |
| 1. บทนำ | 1 |
| บทนำต้นเรื่อง | 1 |
| ตรวจเอกสาร | 2 |
| วัตถุประสงค์ | 24 |
| 2. วัสดุ อุปกรณ์ และวิธีการ | 25 |
| 3. ผลและวิจารณ์ | 34 |
| 4. สรุป | 60 |
| เอกสารอ้างอิง | 62 |
| ภาคผนวก | |
| ภาคผนวก ก การวิเคราะห์เมื่อ | 75 |
| ภาคผนวก ข ผลการวิเคราะห์ความแปรปรวนทางสถิติ | 80 |
| ประวัติผู้เขียน | 90 |

รายการตาราง

| ตารางที่ | หน้า |
|-----------------------------------------------------------------------------------------------------------------------------------------------------------|------|
| 1. ผลของความเข้มข้นกรดและระยะเวลาการกำจัดแร่ธาตุต่อ ความหนืดของไคโตแซน | 7 |
| 2. ค่าความชุนของน้ำทึบจากการบวนการผลิตสัตว์ปีก เมื่อใช้ไคโตแซนและ สารตกแตะชนิดต่าง ๆ | 15 |
| 3. ระดับการกำจัดหมู่อะซิติกของไคโตแซนที่กำจัดหมู่อะซิติกครั้งที่ 1 2 และ 3 | 34 |
| 4. ผลของความเข้มข้นของสารละลายโครงเมี่ยม ขนาดอนุภาค และพีเอช ต่อความสามารถในการจับของไคติน | 36 |
| 5. ผลของความเข้มข้นของสารละลายตะกั่ว ขนาดอนุภาค และพีเอช ต่อความสามารถในการจับของไคติน | 39 |
| 6. ผลของความเข้มข้นของสารละลายโครงเมี่ยม ขนาดอนุภาค และพีเอช ต่อความสามารถในการจับของไคโตแซน | 42 |
| 7. ผลของความเข้มข้นของสารละลายตะกั่ว ขนาดอนุภาค และพีเอช ต่อความสามารถในการจับของไคติน | 49 |
| 8. สภาวะที่เหมาะสมในการจับโครงเมี่ยมและตะกั่วของไคตินและ ไคโตแซนแบบกะ | 53 |
| 9. ความสามารถในการกำจัดโครงเมี่ยมและตะกั่วของไคตินและไคโตแซน โดยใช้คลัมมน์เดี่ยว | 54 |
| 10. ความสามารถในการกำจัดโครงเมี่ยมและตะกั่วของไคตินและไคโตแซน โดยใช้คลัมมน์คู่ | 56 |
| 11. องค์ประกอบเริ่มต้นและความสามารถในการกำจัดโครงเมี่ยมและตะกั่ว ในน้ำทึบจากโรงงานปลาทูน่ากระป่องโดยใช้ไคตินและไคโตแซนใน คลัมมน์เดี่ยวและคลัมมน์คู่ | 59 |

(9)

รายการตารางภาคผนวก

| ตารางภาคผนวกที่ | หน้า |
|--------------------------------------------------------------------------------------------------------------------------------------------------------------|------|
| 1. ผลวิเคราะห์ความแปรปรวนผลของความเข้มข้นของสารละลายน้ำมีเยื่อ พีเอช และขนาดอนุภาคต่อความสามารถในการจับของไคติน | 80 |
| 2. ผลวิเคราะห์ความแปรปรวนผลของความเข้มข้นของสารละลายน้ำมีเยื่อ พีเอช และขนาดอนุภาคต่อความสามารถในการจับของไคตินที่พีเอช 5.0 7.0 และ 9.0 | 81 |
| 3. ผลวิเคราะห์ความแปรปรวนผลของความเข้มข้นของสารละลายตะกั่ว พีเอช และขนาดอนุภาคต่อความสามารถในการจับของไคติน | 82 |
| 4. ผลวิเคราะห์ความแปรปรวนผลของความเข้มข้นของสารละลายตะกั่ว พีเอช และขนาดอนุภาคต่อความสามารถในการจับของไคตินที่พีเอช 5.0 7.0 และ 9.0 | 83 |
| 5. ผลวิเคราะห์ความแปรปรวนผลของความเข้มข้นของสารละลายน้ำมีเยื่อ พีเอช และขนาดอนุภาคต่อความสามารถในการจับของไคโตแซน | 84 |
| 6. ผลวิเคราะห์ความแปรปรวนผลของความเข้มข้นของสารละลายน้ำมีเยื่อ พีเอช และขนาดอนุภาคต่อความสามารถในการจับของไคโตแซนที่พีเอช 5.0 7.0 และ 9.0 | 85 |
| 7. ผลวิเคราะห์ความแปรปรวนผลของความเข้มข้นของสารละลายตะกั่ว พีเอช และขนาดอนุภาคต่อความสามารถในการจับของไคโตแซน | 86 |
| 8. ผลวิเคราะห์ความแปรปรวนผลของความเข้มข้นของสารละลายตะกั่ว พีเอช และขนาดอนุภาคต่อความสามารถในการจับของไคโตแซนที่พีเอช 5.0 7.0 และ 9.0 | 87 |
| 9. ผลวิเคราะห์ความแปรปรวนของความสามารถในการกำจัดน้ำมีเยื่อของ ไคตินในตักษณะ colloidal ที่อัตราเร็วของการเคลื่อนที่ 800 1000 และ 1200 มิลลิลิตร/ชั่วโมง | 88 |
| | (10) |

รายการตารางผนวก(ต่อ)

| รายการภาคผนวกที่ | หน้า |
|-------------------------------------------------------------------------------------------------------------------------------------------------------------------|------|
| 10. ผลวิเคราะห์ความแปรปรวนของความสามารถในการกำจัดครโนเมียมของ ไคโตแซนในลักษณะคลอสัมน์เดียว ที่อัตราเร็วของการเคลื่อนที่ 800 1000 และ 1200 มิลลิลิตร/ชั่วโมง | 88 |
| 11. ผลวิเคราะห์ความแปรปรวนของความสามารถในการกำจัดครโนเมียมของ ไคตินในลักษณะคลอสัมน์คู่ ที่อัตราเร็วของการเคลื่อนที่ 800 1000 และ 1200 มิลลิลิตร/ชั่วโมง | 89 |
| 12. ผลวิเคราะห์ความแปรปรวนของความสามารถในการกำจัดครโนเมียมของ ไคโตแซนในลักษณะคลอสัมน์เดียว ที่อัตราเร็วของการเคลื่อนที่ 800 1000 และ 1200 มิลลิลิตร/ชั่วโมง | 89 |

(11)

รายการรูป

| ขั้นที่ | หน้า |
|-----------------------------------------------------------------------------------------------------------------------------------------------------------------------------|------|
| 1. โครงสร้างทางเคมีของไคตินและไคโตแซน | 3 |
| 2. ความสัมพันธ์ระหว่างความหนืดและระยะเวลาในการกำจัดหมู่อะซิติล | 9 |
| 3. ผลของความเข้มข้นด่าง และระยะเวลาในการกำจัดหมู่อะซิติลต่อความ หนืดของไคโตแซน | 9 |
| 4. ลักษณะคอสัมมน์แก้ว | 26 |
| 5. ลักษณะคอสัมมน์เดี่ยว (Single column) | 33 |
| 6. ลักษณะคอสัมมน์คู่ (Double column) | 33 |
| 7. ผลของเวลาและอัตราส่วนระหว่างไคตินต่อสารละลายโครเนียม ต่อความสามารถในการจับของไคติน | 37 |
| 8. ผลของอัตราส่วนระหว่างไคตินต่อสารละลายตะกั่วต่อความสามารถ ในการจับของไคติน | 40 |
| 9. ผลของอัตราส่วนระหว่างไคโตแซนต่อสารละลายโครเนียม ระยะเวลา และระดับของการกำจัดหมู่อะซิติลร้อยละ (A),60.97% ; (B),81.81 และ (C)86.69% ต่อความสามารถในการจับของไคโตแซน | 47 |
| 10. ผลของอัตราส่วนระหว่างไคโตแซนต่อสารละลายตะกั่ว ต่อความสามารถในการจับของไคโตแซน | 50 |

บทที่ 1

บทนำ

บทนำต้นเรื่อง

โลหะบางชนิดเป็นสารที่จำเป็นต่อกระบวนการทางชีวเคมีของสิ่งมีชีวิต โดยเข้าไปทำงานร่วมกับเอนไซม์ที่เรียกว่า โคเฟคเตอร์ (cofactor) แต่ต้องได้รับในปริมาณที่พอเหมาะ ถ้าได้รับมากเกินพอดолжาทำให้เป็นพิษได้โดยเฉพาะอย่างยิ่งโลหะหนัก แหล่งน้ำธรรมชาติอาจมีการปนเปื้อนของโลหะหนักจากการปล่อยน้ำทึบของโรงงานอุตสาหกรรมหรือโรงงานผลิตแร่ที่มีสารเหล่านี้ผสมอยู่ ดังนั้นจึงควรทำการกำจัดโลหะหนักที่ปนเปื้อนก่อนการนำน้ำนั้นไปใช้ประโยชน์ต่อไป ในการกำจัดโลหะหนักที่ปนเปื้อนมากับแหล่งน้ำมีการใช้เทคโนโลยีต่างๆ เช่น การกรอง การใช้สารเคมีหรือสารช่วยตัดตะกอน (Chemical precipitation) การใช้ตัวแลกเปลี่ยนไอโอน (Ion-exchanger) และการใช้สารดูดซับชนิดต่างๆ เทคโนโลยีดังกล่าวอาจมีทั้งข้อเด่นและข้อจำกัดของการประยุกต์ใช้ อาทิเช่น การใช้สารเคมีในการกำจัดโลหะหนักจำเป็นต้องมีการกำจัดสารเคมีที่ปนเปื้อนมาก่อนการปล่อยสูญแหล่งน้ำธรรมชาติในทำนองเดียวกันสารดูดซับบางตัวอาจมีราคาแพง

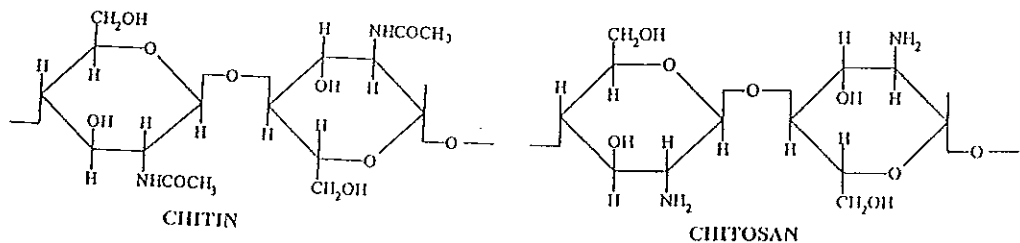
ดังนั้นจึงมีการศึกษาการใช้ไคตินและไคโตแซน ซึ่งจัดว่าเป็นพอลิเมอร์ธรรมชาติที่สามารถสกัดได้จากพวยครัวสตาเซียนมาทั้งหมดการใช้สารเคมีดังกล่าว ซึ่งไคตินและไคโตแซนเป็นตัวจับโลหะทางธรรมชาติที่ดีและมีความสามารถในการจับที่สูงเมื่อเปรียบเทียบกับตัวจับโลหะชนิดอื่นๆทางการค้า คุณสมบัติของไคตินและไคโตแซนในการจับโลหะมีลักษณะซับซ้อนและขึ้นอยู่กับปัจจัยต่างๆ เช่นขนาดของพอลิเมอร์ ความเข้มข้นของโลหะฟีอิค และไอโอนอื่น เป็นต้น เพื่อก่อให้เกิดประโยชน์ต่อการประยุกต์ใช้ไคติน และไคโตแซนได้กว้างขวางมากยิ่งขึ้นจึงสมควรที่จะทำการศึกษาถึงปัจจัยต่างๆ ที่มีผลต่อความสามารถในการจับโลหะของไคตินและไคโตแซนเพื่อเป็นข้อมูลในการประยุกต์ใช้จับโลหะในน้ำทึบจากโรงงานอุตสาหกรรมอาหารทะเล ต่อไป

ตรวจเอกสาร

ไคตินและไคโตแซน

ไคตินเป็นสารพอลิแซคคาไรด์ซึ่งเป็นพอลิเมอร์ของกลูโคสที่เชื่อมต่อกันโดยพันธะไกลโคซิดิก ชนิด β -1,4 มีลักษณะโครงสร้างเป็นเส้นตรงยาวเช่นเดียวกับเซลลูโลส แต่ตำแหน่งของ carbonyl group ที่ 2 จะจับกับหมู่อะซิติลเอmine ($-NHCONH_3^+$)แทนที่จะเป็นหมู่ไฮdroxyl (-OH) ดังนั้นไคตินจึงเป็นพอลิเมอร์ของ N-acetyl-amino-2-deoxy β -D-glucopyranose หรือ N-acetyl-1-D-glucosamine (Conrad, 1965) ไคตินเป็นสารอินทรีย์ประเภทคาร์บอยเดรตหรือสารพอลิแซคคาไรด์ที่พบมากในธรรมชาติ (จิตชุม อิรangs และคนะ, 2537) ซึ่งรู้จักกันดีว่าเป็นสารให้ความแข็งแรงแก่เปลือกสัตว์ กุ้ง หอย ปู และแมลง (จีระพล ประมวลกิจฯ, 2534) โดยพบในปริมาณที่แตกต่างกัน ตัวอย่างเช่น ไคตินในเศษกุ้ง และปู พบรอยในช่วงร้อยละ 14 - 27 และ 13 - 15 ตามลำดับ (Ashford, et al., 1977) ไคตินจากวัสดุเศษเหลือจากเคย์มีร้อยละ 24 (Anderson, et al., 1978) ไคตินในเปลือกกุ้ง มีรอยร้อยละ 23.5 (No, et al., 1989) ไคตินที่พบในเปลือกกุ้งกุลาคำประมาณร้อยละ 37 (Benjakul and Sophanodora, 1993) ไคตินในกระดองปู Snow crab มีร้อยละ 24 และไคตินในกระดองปลาหมึกมีประมาณร้อยละ 36 (Sornprasit, 1997)

ไคโตแซนเป็นอนุพันธุ์ของไคตินที่เกิดจากการแยกหมู่อะซิติล (deacetylation) ออกจากรากไคติน เกิดหมู่อะมิโนอิสระที่สามารถรับโปรตอน และทำให้พอลิเมอร์ที่ได้มีประจุเป็นบวก ด้วยเหตุนี้ไคโตแซนจึงมีคุณสมบัติที่คล้ายได้ในสารละลายหลาภานิชซึ่งมีพีเอชในช่วงที่เป็นกรดต่ำกว่า 5.5 (Fillar and Wirick, 1978) และทำให้การใช้ประโยชน์จากไคโตแซนสูงกว่าไคติน ลักษณะโครงสร้างของไคตินและไคโตแซนดังแสดงในรูปที่ 1



รูปที่ 1 โครงสร้างทางเคมีของไคตินและไคโตแซน

ที่มา : Bough และคณะ (1978)

คุณสมบัติของไคตินและไคโตแซน

1. คุณสมบัติการละลาย (Solubility)

ไคตินเป็นสูตรที่มีสีขาวคล้ายเยื่อกระดาษ ไม่ละลายน้ำ กรดอ่อน ด่างอ่อน ด่างแก่ และตัวทำละลายอินทรีย์ทั้งหมด แต่ละลายในกรดฟอร์มิกบริสุทธิ์ สารละลายไฮเปอร์คลอไรท์ และกรดเข้มข้น สาเหตุที่ไคตินไม่ละลายในสารละลายทั่วไปเนื่องจากไคตินเป็นสารไม่เลกุล ยกเว้นประจุ (Conrad, 1965) ดังนั้นบางครั้งการนำมาใช้จึงค่อนข้างลำบาก อาจต้องมีการดัดแปลงโครงสร้างของไคตินให้อยู่ในรูปอนุพันธ์ต่างๆเพื่อนำมาใช้ประโยชน์ เช่น อาจทำให้อยู่ในรูปคาร์บอฟิเมทชิลไคติน (carboxymethyl chitin : CM-chitin) ที่เตรียมได้จากปฏิกิริยาของไคติน ที่เป็นด่างกับกรดโมโนคลอโรอะซิติกในไอโซโปรพานอล (monochloro acetic acid in isopropanol) ซึ่งมีคุณสมบัติพิเศษคือละลายได้ในน้ำ และจากการศึกษา Tokura และคณะ (1984) พบว่า CM-chitin มีคุณสมบัติเป็นสารจับโลหะ และเป็นสารอีเลคโทรไลต์เมื่อนำมาละลายน้ำจะให้ความหนืด นอกจากนี้พบว่ายังเป็นสารไม่มีพิษและมีคุณสมบัติคล้ายคลึงกับ คาร์บอฟิเมทชิลเซลลูโลส (carboxymethyl cellulose) (CMC)

Rutherford และ Austin (1978) พบว่าสารละลายที่เหมาะสมในการละลายไคตินโดยไม่มีผลต่อโครงสร้างของสารประกอบ คือสารละลาย N,N-dimethyl acetamide (DMAC) ที่มี 1.5% LiCl₂ และ N-methyl-2-pyrrolidone (NMP) ที่มี 5% LiCl₂

ส่วนไคโตแซนสามารถละลายได้ในสารละลายหลายชนิด ได้แก่ สารละลายกรดอินทรีย์เจือจาง เช่น กรดฟอร์มิก กรดอะซิติก กรดโพพริโอนิก กรดออกซาลิก กรดมาโนนิก กรดแลคติก กรดไฟฟูวิก กรดมาลิก กรดทาทาริก และกรดซิตริก นอกจากยังสามารถละลายในกรดไฮดรอกซิค กรดไฮโปคลอริก กรดไฮド록ลอริกเจือจาง (ความเข้มข้นร้อยละ 1 หรือน้อยกว่า) และละลายได้เล็กน้อยในกรดฟอฟอริก (ความเข้มข้นร้อยละ 0.5) แต่ไม่ละลายในกรดซัลฟูริก ไคโตแซนไม่ละลายน้ำแต่จะละลายในรูปของเกลือของกรดหลาายนิดยกเว้นเกลือซัลเฟตและเกลือซัลไฟต์ ไคโตแซนไม่ละลายในตัวทำละลายอินทรีย์ทั่วๆไป แต่ละลายในสารละลายพอลิออลที่มีสภาพเป็นกรด เช่นในสารผสมของกลีเซอรอลและน้ำ (3:1) ที่มีกรดอะซิติกเข้มข้นร้อยละ 1 สารละลายที่ได้จะใส และสามารถละลายได้ในเอทิลลีนไกลคอล (ethylene glycol) โดยพบว่าการละลายในสารละลายอินทรีย์พวก พอลิออลจะมีผลต่อความหนืดของไคโตแซนเล็กน้อย ถ้ามีกลีเซอรอลอยู่ในสารละลายไคโตแซนจะมีลักษณะเป็นเจล ขณะที่มีซอร์บิทอลอยู่จะมีลักษณะเจลกึ่งแห้ง (Filar and Wirick, 1978 ; Kienzle-Sterzer, et al., 1982 ; Anonymous, 1989) นอกจากนี้ไคตินและไคโตแซนยังมีคุณสมบัติการซับน้ำ และมีความซับน้ำแตกต่างไปตามชนิดของไคติน พบว่าความสามารถในการซึมน้ำของไคตินและไคโตแซนเท่ากับร้อยละ 230-440 (น้ำหนัก/น้ำหนัก) โดยพบว่าไคโตแซนมีค่าการซึมน้ำที่สูงกว่าไคติน ทั้งนี้เนื่องจากความแตกต่างของผลึกไคติน ปริมาณโปรตีนรวมทั้งหมูที่สามารถเกิดเกลือกับตัวทำละลาย (Knorr, 1982)

2. คุณสมบัติการทำปฏิกิริยาระหว่างเพส (Interphasic properties)

คุณสมบัติการทำปฏิกิริยาระหว่างเพสที่สำคัญคือความสามารถในการจับไขมันของไคตินและไคโตแซน (fat binding capacity) มีค่าในช่วงร้อยละ 170-215 (น้ำหนัก/น้ำหนัก) (Knorr, 1982) และคุณสมบัติการเป็นสารที่ก่อให้เกิดอิมัลชัน พบว่าไคตินในรูปผลึกขนาดเล็กให้ผลดีกว่าเซลลูโลสในรูปผลึกขนาดเล็ก โดยให้ความสามารถในการเกิดอิมัลชันเท่ากับ

900 ± 47 มิลลิลิตรน้ำมันกรัม ที่ระดับความเข้มข้น 0.12 กรัมต่อ 100 มิลลิลิตร (Knorr, 1982) นอกจากนี้อนุพันธ์ของไคโตน คือ CM-chitin ยังสามารถนำมาใช้เป็นอิมัลชีฟเอกสารในอุตสาหกรรมอาหารได้ (ชิดซม อิร้างะ และคณะ, 2537)

3. คุณสมบัติการทำปฏิกิริยาระหว่างโมเลกุล (Intermolecular properties)

คุณสมบัติที่สำคัญ คือการเกิดแผ่นฟิล์มเป็นคุณสมบัติที่เกิดจากการเกิดพันธะระหว่างโมเลกุลหรืออนุภาค หรือการเกิดสารต่อ กันระหว่างโมเลกุลหรืออนุภาค โดยการนำไคโตแซน ปริมาณ 4 กรัมละลายในกรดฟอร์มิกหรือกรดอะซิติกเข้มข้นอยู่ละ 2 (นน./นน.) ปริมาตร 100 มิลลิลิตร แล้วแช่ไว้ค้างคืนจนได้สารละลายที่มีความหนืด 1500-2000 เชนติพอยส์ นำสารละลายดังกล่าวมาเขียนรูปบนแผ่นพลาสติกชนิดพอลีเอทธิลีน หรือเขียนแผ่นฟิล์มบนกรอบ แล้วทำให้แห้งอีกครั้งที่อุณหภูมิ 65 องศาเซลเซียส ฟิล์มที่ได้มีลักษณะใส เนียนยา และยึดหยุ่น สามารถห่อหุ้มอาหารเนื่องจากรับประทานได้และทนต่ออุณหภูมิสูง (Averbach, 1978)

4. คุณสมบัติด้านอื่นๆ

การเข้ากันได้กับสิ่งมีชีวิต (biocompatible) โดยพบว่าไคโตแซนจะมีความเป็นพิษต่อมะรังกายสัตว์ (Arai, et al., 1968 ข้างโดย Hirano and Akiyama, 1995) นอกจากนี้พบว่าสามารถลดระดับคอเลสเตอรอล (hypcholesterolaemic action) โดยมีผู้ทำการทดลองในสัตว์ กระต่าย และคน กินอาหารที่มีส่วนผสมของไคโตแซนพบว่า ระดับคอเลสเตอรอลในเลือดลดต่ำลง ทั้งนี้เนื่องจากไคโตแซนช่วยลดการดูดซึมคอเลสเตอรอลที่ลำไส้เล็ก รวมทั้งลดการดูดซึมกลับ (reabsorption) ของเกลือน้ำดี (bile salts) ที่ลำไส้ใหญ่ด้วย (Hirano and Akiyama, 1995)

ปัจจัยการผลิตที่มีผลต่อคุณสมบัติของไก่ตินและไก่โตแซน

1. ขนาดของรัตตุดิบ

ขนาดของรัตตุดิบที่แตกต่างกันมีผลต่อกระบวนการผลิตและคุณสมบัติของไก่ตินและไก่โตแซนที่แตกต่างกัน โดยพบว่าประสิทธิภาพการทำจัดโปรดีนจากเปลือกหุ้งที่มีขนาดใหญ่มีค่าน้อยกว่าเปลือกหุ้งขนาดเล็ก ในทำนองเดียวกันกับประสิทธิภาพการทำจัดแร่ธาตุ ทั้งนี้เนื่องจากเปลือกหุ้งขนาดเล็กมีพื้นที่สัมผัสในการทำปฏิกิริยามากกว่าจึงทำให้มีประสิทธิภาพที่สูงกว่า นอกจากนี้ไก่ตินขนาดเล็กเมื่อนำมาผลิตไก่โตแซนภายใต้สภาวะบรรยายกาศปกติจะให้ไก่โตแซนที่มีความหนืดที่สูงกว่าไก่ตินที่มีขนาดใหญ่ เพราะไก่ตินขนาดเล็กมีพื้นที่สัมผัสกับสารละลายต่างๆ สูงกว่าการทำกำจัดหมู่อะซิตอลจึงสมบูรณ์กว่า (Bough, et al., 1978)

สุทธิวนัณ์ เญจกุล และเพรตัน์ โสภโณดร (2533) ผลิตไก่โตแซนจากเปลือกหุ้งแซนบวยที่ขนาดต่างๆ พบว่าไก่โตแซนที่ได้จากเปลือกหุ้งขนาด 1.4-2.0 มิลลิเมตร มีความหนืดที่สูงกว่าไก่โตแซนที่ได้จากการใช้เปลือกหุ้งขนาด 2.0-4.0 มิลลิเมตร

Bough และคณะ (1978) รายงานไว้ว่าเมื่อนำเปลือกหุ้งขนาด 1, 2 และ 6.4 มิลลิเมตรมาผลิตไก่โตแซน พบว่าเปลือกหุ้งขนาดเล็กให้ไก่โตแซนที่มีความหนืดและน้ำหนักไม่เลกคลื่นที่สูงคือ มีความหนืด 2449, 960 และ 313 เซนติพอยส์ และน้ำหนักไม่เลกคลื่น 1.331×10^3 , 1.225×10^3 และ 1.051×10^3 ดาลตัน ตามลำดับ

2. สภาวะการทำจัดแร่ธาตุ

การใช้สารละลายกรดที่ระดับความเข้มข้นแตกต่างกันจะมีผลต่อความสามารถในการทำจัดแร่ธาตุแตกต่างกัน และพบว่าเมื่อระดับความเข้มข้นของกรดเพิ่มขึ้นสูงกว่า 1.0 นอร์มอล มีผลทำให้ปริมาณไก่ตินลดลงและมีผลโดยตรงต่อคุณภาพของไก่ตินและไก่โตแซน ทำให้ความหนืดของไก่โตแซนลดลง

Madhavan และ Ramachandranair (1974) พบร่องการใช้สารละลายกรดไฮโดรคลอริกเข้มข้นมากกว่า 1.25 นอร์มอล มีผลทำให้ความหนืดของไก่โตแซนลดลง (ตารางที่ 1)

ตารางที่ 1 ผลของความเข้มข้นกรดและระยะเวลาในการกำจัดแร่ธาตุต่อความหนืดของ
ไคโตแซน

ความเข้มข้นกรด(นอร์มอล) ระยะเวลาการกำจัดแร่ธาตุ(นาที) ความหนืด (เซนติพอยส์)^a

| | | |
|------|----|--------|
| 0.75 | 30 | 14.63 |
| 1.00 | 30 | 32.03 |
| 1.25 | 30 | 106.85 |
| 1.50 | 30 | 49.28 |
| 2.00 | 30 | 37.66 |

^a ระยะไคโตแซนเข้มข้นร้อยละ 1.0 ในสารละลายน้ำออกซิติกเข้มข้นร้อยละ 1.0

ที่มา : ตัดแปลงจาก Madhavan และ Ramachandrannair (1974)

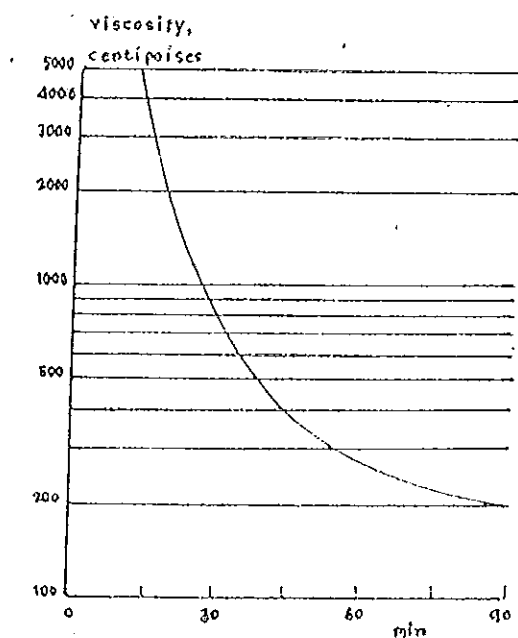
สุทธิวัฒน์ เปณูจากุล และไพรัตน์ โสภโณดร (2533) รายงานว่าการกำจัดแร่ธาตุโดยใช้ระดับความเข้มข้นของสารละลายน้ำออกซิติกที่สูงกว่า 1.0 นอร์มอล และระยะเวลามากกว่า 1 ชั่วโมงมีผลทำให้ผลผลิตไคตินจากเปลือกหุ้นแซนบัวลดลง และมีผลโดยตรงต่อคุณภาพของไคตินและไคโตแซน

3. สภาวะในการกำจัดหมู่อะซิติล

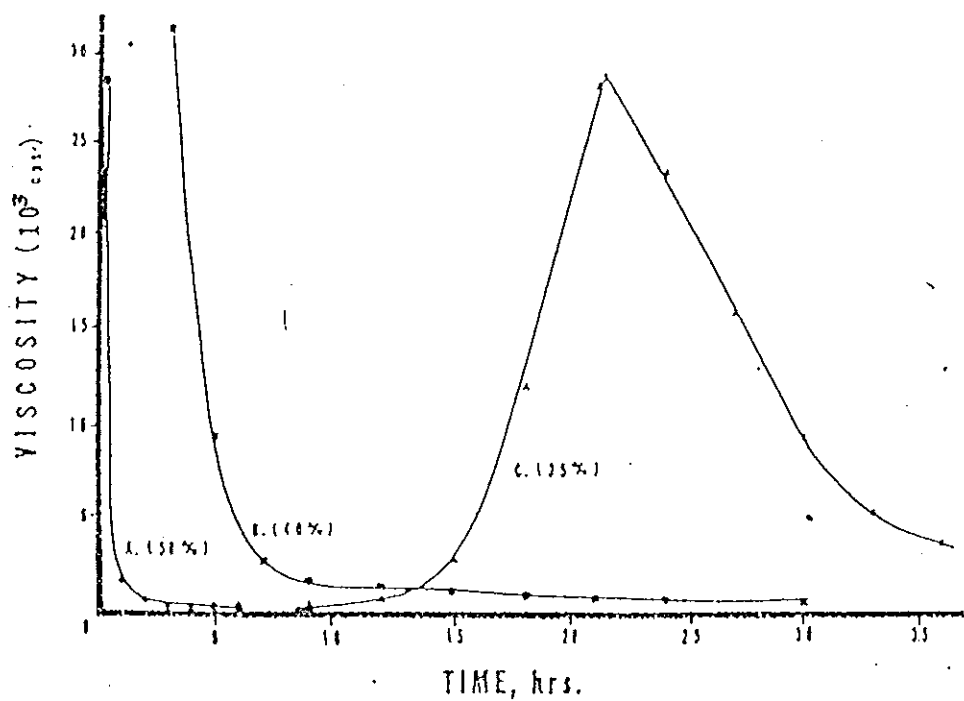
ความเข้มข้นต่างๆ และระยะเวลาในการกำจัดหมู่อะซิติลมีผลต่อคุณภาพของไคโตแซน เมื่อระยะเวลาในการกำจัดหมู่อะซิติลเพิ่มขึ้นก่อให้เกิดปฏิกิริยาออกซิเดชันเพิ่มขึ้น ซึ่งมีผลทำให้คุณภาพของไคโตแซนลดลง และเมื่อความเข้มข้นของด่างเพิ่มขึ้นทำให้ไคโตแซนมีความหนืดลดลง (Wu and Bough, 1978)

Muzzarelli (1977) พบว่าความหนีดของไคโตแซนลดลงเมื่อระยะเวลาในการกำจัดหมู่อะซิติลเพิ่มขึ้น การใช้สารละลายโซเดียมไฮดรอกไซด์เข้มข้นร้อยละ 50 อุณหภูมิ 118 องศาเซลเซียส เวลา 30 นาที เพียงพอสำหรับการกำจัดหมู่อะซิติล และได้ไคโตแซนที่มีความหนีดสูงสุด (รูปที่ 2) ความเข้มข้นของด่างที่เพิ่มสูงขึ้นอาจมีผลต่อการทำลายโครงสร้างหรือพอลิเมอร์ของไคโตแซนโดยทำให้สายโซ่ของไคโตแซนสั้นลง (น้ำหนักโมเลกุลต่ำ) และทำให้ความหนีดของไคโตแซนลดลง

Wu และ Bough (1978) ศึกษาผลของการเพิ่มขึ้นของสารละลายโซเดียมไฮดรอกไซด์ร้อยละ 35 40 และ 50 และระยะเวลาในการกำจัดหมู่อะซิติลที่อุณหภูมิ 100 องศาเซลเซียส พบว่าที่ระดับความเข้มข้นด่างสูง เมื่อระยะเวลาเพิ่มขึ้นมีผลทำให้ความหนีดลดลงทั้งระดับความเข้มข้นร้อยละ 40 และ 50 สำหรับความเข้มข้นร้อยละ 35 นั้นเมื่อระยะเวลาเพิ่มขึ้นความหนีดจะเพิ่มขึ้นจนกระทั่งเวลา 21 ชั่วโมงหลังจากนั้นความหนีดจึงลดลง (รูปที่ 3)



รูปที่ 2 : ความสัมพันธ์ระหว่างความหนืดและระยะเวลาในการกำจัดนมอย่างซีติล
ที่มา : Muzzarelli (1977)



รูปที่ 3 : ผลของความเข้มข้นต่างๆ และระยะเวลาในการกำจัดนมอย่างซีติลต่อความ
หนืดของไคโตแทน
ที่มา : Wu และ Bough (1978)

สภาพบรรยายการในกำจัดหมูอะซิติลมีผลต่อคุณสมบัติของไก่โต章程 เช่นเด่นกัน คือ ในสภาวะที่มีอากาศส่งผลให้ไก่โต章程มีความหนืดแน่นอยกว่าในสภาวะสุญญากาศและในสภาวะที่มีไนโตรเจนภายในอุณหภูมิเดียวกัน เนื่องจากออกซิเจนมีผลต่อการเกิดปฏิกิริยาออกซิเดชันส่งผลต่อการทำลายโครงสร้างของไก่โต章程 (Bough, et al., 1978)

สุทธิวัฒน์ แบณุจกุล และไพรัตน์ โสภโณดร (2533) พบว่าการกำจัดหมูอะซิติลในสภาวะที่มีออกซิเจนจะได้ไก่โต章程ที่มีความหนืดแน่นอยกว่าในสภาวะสุญญากาศหรือในสภาวะที่มีไนโตรเจน เช่นเดียวกับการทดลองของ Bough และคณะ (1978) ที่พบว่าการผลิตไก่โต章程ในสภาวะที่มีออกซิเจน จะได้ไก่โต章程ที่มีความหนืดและน้ำหนักไม่เลกุล ต่ำกว่าในสภาวะที่ใช้ไนโตรเจน

การใช้ประโยชน์ของไคตินและไก่โต章程

เนื่องจากไคตินและไก่โต章程มีคุณสมบัติด้านดี涵รายประการด้วยกัน เช่น เป็นชีวโมเลกุลที่มีสีขาว ย่อยสลายได้ทางชีวภาพ และมีพิษต่ำเมื่อเทียบกับพอลิเมอร์สังเคราะห์ชนิดอื่น (Singh and Ray, 1994 : Qurashi, et al., 1992) จึงมีการนำมาใช้ประโยชน์เป็นอย่างมากเมื่อเทียบกับพอลิเมอร์ชนิดอื่นๆ โดยเฉพาะอย่างยิ่งในประเทศญี่ปุ่นมีการใช้ประโยชน์ของไก่โต章程ค่อนข้างสูงโดยพบว่าในปี 1986 มีการผลิตไก่โต章程ถึง 700 ตันโดย 500 ตันใช้เป็นสารตกตะกอน ขณะที่ 100 ตันใช้ในอุตสาหกรรมเครื่องสำอางค์ อาหารสัตว์ และอุตสาหกรรมอาหาร และที่เหลือใช้ทางด้านเทคโนโลยี ชีวภาพ(Hirano, 1989) การใช้ประโยชน์ของไก่โต章程มี涵รายด้านด้วยกัน ตัวอย่างเช่น

ด้านการเกษตร

มีการใช้ไก่โต章程เคลือบเม็ดข้าวสาลีเพื่อป้องกันการเกิดเชื้อรา ทำให้ผลผลิตเพิ่มขึ้นจากเดิมร้อยละ 20 ส่วนการใช้ไคตินในการเตรียมดินสำหรับการเพาะปลูกสามารถลดโรคพืชที่เกิดจากเชื้อราในดิน (Brzeski and Prudden, 1987) ซึ่งไก่โต章程มีคุณสมบัติที่สำคัญคือสามารถยับยั้งเชื้อรา และสนับสนุนการผลิตไคตินจากجلินทรีซ์ ทำให้สามารถป้องกันการเข้าทำลายของราต่อพืช (Hirano, et al., 1989)

Austin และคณะ(1981) ใช้คิดินในรูปหลักขนาดเล็กร้อยละ 2 ผสมกับหางนมร้อยละ 20 ในอาหารเลี้ยงไก่ พบว่าหันหลังจาก 46 วัน ไก่ที่กินอาหารผสมที่มีทั้งคิดินและหางนม มีน้ำหนักเพิ่มขึ้นมากที่สุด เมื่อเทียบกับไก่ที่เลี้ยงด้วยอาหารปกติและอาหารที่มีการเติมหางนมหรือคิดินเพียงอย่างเดียว

ด้านการแพทย์และเภสัชวิทยา

Ballasa และ Prudden (1978) พบว่าสามารถใช้คิโตแซนในการรักษาแผลทั้งชนิดที่รักษาให้หายได้ดีและผลที่ไม่สามารถรักษา (unhealers)

Brzeski และ Prudden (1987) และAnonymous (1989) ได้สรุปงานวิจัยเกี่ยวกับการใช้ประโยชน์จากคิดินและคิโตแซนด้านการแพทย์และเภสัชวิทยาไว้ดังนี้คือ ใช้เป็นวัสดุเชื่อมหรือจัดกระดูก ใช้เป็นเลนส์สายตาเนื่องจากมีคุณสมบัติยอมให้ออกซิเจนผ่านเข้าออกได้และไม่ก่อให้เกิดอาการแพ้ ใช้เป็นแคปซูลบรรจุยา ใช้ผลิตเป็นหมังไถเทียมและใช้เป็นวัสดุทันตกรรมสำหรับเชื่อมหรืออุดฟัน

Maezaki และคณะ (1993) ศึกษาการใช้คิโตแซนในการลดปริมาณคอเลสเทอรอลในกระเพาะเลือด โดยทำการศึกษาในผู้ชายที่มีร่างกายแข็งแรงปกติ พบว่าเมื่อมีการบริโภคคิโตแซน 3-6 กรัม/วัน โดยผสมในขนมปังแครกเกอร์ สามารถลดคอเลสเทอรอลได้อย่างมีนัยสำคัญเมื่อเทียบกับคนที่ไม่ได้บริโภคคิโตแซน โดยได้อธิบายว่าคิโตแซนสามารถละลายหรือพองตัวในของเหลวที่เป็นกรดในกระเพาะอาหารและสามารถจับไขมันและคอเลสเทอรอลในร่างกาย ทำให้ลดการดูดซึมของไขมันและคอเลสเทอรอลเข้าสู่กระเพาะเลือด นอกจากนี้พบว่าคิโตแซนสามารถจับกับกลีโคน้ำดี ซึ่งเป็นตัวทำให้ไขมันเกิดการดูดซึม ผลงานให้ระดับไขมันและคอเลสเทอรอลในเลือดต่ำ จากคุณสมบัติการจับไขมันที่ไม่จำเพาะของคิโตแซน อาจเกิดผลเสียแกร่งกายได้ เนื่องจากกรดไขมันที่จำเป็นหรือวิตามินที่ละลายในไขมันอาจไม่มีการดูดซึมเข้าสู่ร่างกาย (Hirano and Akiyama, 1995)

ด้านอุตสาหกรรมอาหาร

เนื่องไกโটแซนเป็นสารที่สกัดจากธรรมชาติ สามารถย่อยสลายได้และเป็นสารที่มีพิษต่ำเมื่อเทียบกับพอกลิโนร์สังเคราะห์อื่น ๆ ได้มีการนำมาใช้ประโยชน์กันหลากหลายในอุตสาหกรรมอาหาร เช่น

การทำให้น้ำผลไม้ใส

การผลิตน้ำผลไม้ส่วนใหญ่จะพบปัญหาความชื้นและสีของผลิตภัณฑ์ มีงานวิจัยหลายชิ้นที่มีการใช้ไกโಟแซนเป็นสารตัวตัดถอนในการผลิตน้ำผลไม้ พบว่าไกโटแซนไม่มีผลต่อปริมาณผลลัพธ์ของน้ำแคร์รอทและน้ำแอปเปิล แต่พบว่าน้ำผลไม้มีปริมาณของแข็งที่ละลายได้ และปริมาณกรดลดลง (Imeris and Knorr, 1988) แสดงให้เห็นว่าไกโ�แซนมีศักยภาพในการควบคุมปริมาณกรดในอาหารอื่นๆได้ มีการใช้ไกโ�แซนในการผลิตน้ำส้มในสักยภาพในการควบคุมปริมาณกรดในอาหารอื่นๆได้ มีการใช้ไกโ�แซนในการผลิตน้ำส้มในประเทศไทยเพื่อป้องกันการเกิดตะกอนระหว่างการเก็บรักษา และพบว่าสามารถยึดဓามนุภาพของน้ำผลไม้ น้ำผัก และกาแฟที่สกัด (Mazzarelli, 1983)

ศิริพงษ์ เกื้อมนตร (2536) ศึกษาการใช้ไกโটแซนในการปรับปรุงความใสของน้ำผลไม้ คือ น้ำมะนาว น้ำมะขาม น้ำอุ่น และน้ำตาล-toned ที่ระดับความเข้มข้น 20 มิลลิกรัม/100 มิลลิลิตร เปรียบเทียบกับการใช้เบนโตอินท์(10 มก./ลิตร) และเจลาติน (290 มก./ลิตร) พบว่าไกโটแซนสามารถปรับปรุงความใสได้ดีกว่า

Soto-Peralta และคณะ(1989) ศึกษาผลของไกโটแซนต่อความใสของน้ำแอปเปิล โดยใช้ไกโটแซนทั้งชนิดที่ละลายในน้ำ และละลายในกรด เปรียบเทียบกับการใช้ออกาโรส เจลาตินและเบนโตอินท์ร่วมกัน จากการทดลองพบว่าไกโটแซนทั้งสองชนิดมีประสิทธิภาพในการลดความชื้นของน้ำแอปเปิลเหมือนกับการใช้สารตัวตัดถอนทั้ง 3 ตัวร่วมกัน

การเคลือบผิวผลไม้

โคโตแซนสามารถเกิดແຜนฟิล์มที่มีคุณสมบัติป้องกันน้ำและอากาศ เมื่อละลายในกรดอินทรีย์เจือจาง เช่น กรดอะซิติกหรือกรดฟอร์มิก คุณภาพແຜนฟิล์มในการป้องกันน้ำและอากาศขึ้นอยู่กับกระบวนการเตรียมโคโตแซน ชนิดของวัตถุดิบและขั้นตอนการทำจัดหมู่ อะซูติล Averbach (1978) รายงานว่าແຜนฟิล์มโคโตแซนสามารถทนทานต่อแรงดึง 20,000 ปอนด์/ตารางนิ้ว และสามารถยึดได้ยาวเพิ่มขึ้นร้อยละ 6 และเป็นແຜนฟิล์มที่มีคุณสมบัติดีที่สุดสามารถป้องกันการผ่านเข้าออกของน้ำและอากาศได้สมบูรณ์ สามารถนำมาใช้ประโยชน์ในการเคลือบผิวผลไม้ได้ดี การหุ้มผลไม้ด้วยฟิล์มของโคโตแซนสามารถยืดการสุกและอายุการเก็บรักษา (Davies, et al., 1989) เนื่องจากในเมริกามีการใช้หุ้มผลไม้ที่บอกเปลือกก่อนการบริโภค

El Ghaouth และคณะ (1991) ได้ทดลองเคลือบสตโรเบอร์รีด้วยโคโตแซน (ความเข้มข้นร้อยละ 1.0 และ 1.5 น้ำหนัก/ปริมาตร) พบร่วมกันว่าสามารถเก็บรักษาความสดของสตโรเบอร์รีได้ถึงแม้จะเก็บรักษาที่อุณหภูมิสูง (13 องศาเซลเซียส) ทั้งนี้เนื่องจากสตโรเบอร์รีที่ถูกเคลือบผิวจะมีสภาพดัดแปลงบรรยายกาศภายในขึ้นที่ถูกเคลือบ นอกจากนี้พบว่าการเคลือบผิวดังกล่าวสามารถเพิ่มศักยภาพในการยับยั้งเชื้อราและสามารถยืดอายุการเก็บรักษาได้

พรัตน์ ไสวโนตร และคณะ (2536) ได้ศึกษาผลของการเคลือบผิวนานาด้วยโคโตแซนในการยืดอายุการเก็บรักษา โดยใช้โคโตแซนที่ระดับความเข้มข้นต่างๆ ทำการเก็บรักษาที่อุณหภูมิ 10 ± 2 องศาเซลเซียสพบว่าสามารถยืดอายุการเก็บรักษามะนาวได้นานถึง 8 สัปดาห์ (ที่ระดับความเข้มข้นร้อยละ 1.25 น้ำหนัก/ปริมาตร)

สนัน แซ่แจง (2537) ศึกษาการเคลือบผิวนะเขือเทศด้วยโคโตแซนชนิดที่ละลายน้ำที่ความเข้มข้นต่างกัน (ร้อยละ 0.5 0.75 และ 1.0) พบร่วมกันว่าสามารถยืดอายุการเก็บรักษามะเขือเทศได้ยาวนานกว่าชุดควบคุมที่ไม่มีการเคลือบด้วยโคโตแซน โดยชุดควบคุมและเคลือบผิวด้วยโคโตแซนเข้มข้นร้อยละ 0.5 0.75 และ 1.0 จะมีอายุการเก็บรักษาได้ 18-21 วันที่อุณหภูมิห้องและสามารถเก็บรักษาได้มากกว่า 30 วันที่อุณหภูมิต่ำที่ทุกระดับความเข้มข้น

การใช้เป็นสารตกตะกอน

ได้มีการนำไคโตแซนมาใช้ในการบำบัดน้ำเสียจากอุตสาหกรรมการผลิตอาหาร รวมถึงการนำกลับมาใช้ในมของตะกอนโปรดีนและคาร์บอโนไรเดรต นอกจากนี้ มีการนำไคโตแซนมาใช้ทำน้ำดื่มและน้ำใช้ให้บริสุทธิ์ ซึ่งปัจจุบันมีการยอมรับโดยสำนักงานสิ่งแวดล้อมของสหรัฐอเมริกา (USEPA) เนื่องจากไคโตแซนเป็นสารควรนำไปใช้เดรต ไม่เลกูลยาที่มีประจุ จึงมีผลทำให้เกิดการจับตัวเป็นก้อนตะกอนของสารอินทรีย์จากน้ำทิ้งในกระบวนการแปรรูปอาหาร (Bough and Landes, 1976) จากรายงานของ วิสิฐ อะเวสิต และ ฉุกจันทร์ ภัครชพันธุ์ (2533) พบว่าการใช้ไคโตแซนตกตะกอนโปรดีนของน้ำทิ้งจากโรงงานอุตสาหกรรมต่างๆ สามารถลดปริมาณสารแขวนลอยได้ร้อยละ 70 - 80 และแยกโปรดีนจากน้ำเสียได้ร้อยละ 16 - 68 เมื่อมีการใช้ร่วมกับโพลิเมอร์ที่มีประจุบวกหรือเกลืออนินทรีย์ เช่น อลูมิเนียมซัลเฟตหรือ เฟอริกซัลเฟตจะมีประสิทธิภาพเพิ่มขึ้นด้วย

ธรรมรัตน์ ธรรมเดชศักดิ์ และ แกมกาญจน์ รักษารามณ์ (2535) ศึกษาการใช้ไคโตแซนจากเปลือกกุ้งกุลาดำในการตกตะกอนสารอินทรีย์ จากน้ำทิ้งโรงงานแปรรูปสตัฟฟ์ น้ำ พบว่าสามารถลดตะกอนสารประกอบอินทรีย์ในน้ำทิ้ง 3 ชนิดคือ น้ำนีงปลาทูน่า น้ำต้มกุ้ง และน้ำล้างป้านมึก ได้ร้อยมีประสิทธิภาพ และการใช้สารช่วยตกตะกอนร่วมกับไคโตแซนสามารถลดความชุ่นของน้ำทิ้งได้ดีกว่าการใช้ไคโตแซนเพียงอย่างเดียว โดยพบว่า การใช้เฟอริกซัลเฟตร่วมกับไคโตแซนสามารถลดความชุ่นของน้ำนีงปลาทูน่า และน้ำต้มกุ้ง ได้ร้อยละ 95.91 และ 96.15 ตามลำดับ การใช้สารส้มร่วมกับไคโตแซนในการตกตะกอนสามารถลดความชุ่นได้ร้อยละ 97.01

Bough (1975) ศึกษาการใช้ไคโตแซนที่ระดับความเข้มข้นต่างๆ ในการลดความชุ่นของน้ำทิ้งจากการกระบวนการผลิตสตัฟฟ์ปีก เปรียบเทียบกับสารตกตะกอนสังเคราะห์ชนิดต่างๆ ได้ผลแสดงดังตารางที่ 2 ซึ่งพบว่าเมื่อใช้ไคโตแซนที่ความเข้มข้น 5 และ 10 มิลลิกรัม/ลิตร สามารถลดค่าความชุ่นของน้ำทิ้งให้เหลือค่าต่ำสุดเมื่อเทียบกับตัวตกตะกอนสังเคราะห์ตัวอื่นที่ระดับความเข้มข้นเดียวกันยกเว้น Attaiep 1050 ที่ความเข้มข้น 10 มิลลิกรัม/ลิตร สามารถลดค่าความชุ่นได้สูงกว่าไคโตแซนเล็กน้อย

ตารางที่ 2 ค่าความชุ่นของน้ำทึ้งจากกระบวนการผลิตสตอร์ปีก เมื่อใช้โคโนไซนและสารตกตะกอนชนิดต่างๆ

| สารตกตะกอน | ประจุสหพิชคง | ความชุ่น (FTU)* | | | | |
|----------------|--------------|-----------------|-----|-----|-----|-----|
| | | ไม่เกลูล | 1 | 5 | 10 | 50 |
| Chitosan | + | | 89 | 10 | 16 | 68 |
| WT-3000 | - | | 85 | 82 | 85 | 85 |
| Floc. 550 | + | | 88 | 98 | 88 | 95 |
| Floc. Aid 6400 | - | | 100 | 100 | 100 | 100 |
| NJAL 240 | - | | 100 | 100 | 100 | 100 |
| Natron 86 | + | | 83 | 45 | 17 | 44 |
| Natron 88 | + | | 100 | 100 | 52 | 45 |
| Atlasep 4A4 | - | | 34 | 60 | 72 | 89 |
| Atlasep 5A5 | - | | 62 | 28 | 26 | 61 |
| Atlasep 1050 | + | | 83 | 25 | 13 | 65 |
| Atlasep 1 N | ไม่แสดงประจุ | | 85 | 80 | 79 | 80 |

* FTU คือ Formazin Turbidity Unit

ที่มา : Bough (1975)

Bough และ Landes (1976) ศึกษาการใช้โคโนไซนในการตกตะกอนสารแขวนลอยในน้ำทึ้งจากอุตสาหกรรมแปรรูปอาหารพอกสตอร์ปีก ผลิตภัณฑ์เนื้อ กุ้ง แนว และผัก ทำการแยกสารแขวนลอยดังกล่าวโดยการตกตะกอนด้วยแรงโน้มถ่วง เติมอากาศและฝานการเหวี่ยงแยก พบร่วมกันลดปริมาณของแข็งแขวนลอยได้ถึงร้อยละ 90 และค่าซีไอดี ในน้ำทึ้งของกระบวนการผลิตอาหารพอกสตอร์ปีก เนื้อ และกุ้งลดลงถึงร้อยละ 60 - 80

Sonstad และ Almas (1985) ทำการเก็บเกี่ยวโปรดีนเพื่อนำกลับมาใช้ใหม่จากอุตสาหกรรมการผลิตกุ้งต้ม พบร่วมกันลดปริมาณกลับมาใช้ใหม่สูงสุดร้อยละ 60 ที่พีเอช 4.5 เมื่อพีเอชต่ำกว่า 4.5 ความสามารถในการนำกลับมาลดลงและความสามารถ

ในการนำกลับมาสูงสุดที่พีเอชประมาณ 6.5 (ร้อยละ 65) โดยใช้โคโตแซนต่อปริมาณ ร้อยละ 12

Jung และคณะ (1994) ศึกษาการใช้โคโตแซนในการเก็บเกี่ยวของขึ้นพากโปรตีน จากน้ำทึ้งจากกระบวนการผลิตเต้าหู้ พบว่าสามารถลดความชื้นได้ถึงร้อยละ 97 เมื่อมีการใช้โคโตแซน 300 มิลลิกรัม/ลิตร ที่พีเอชของน้ำทึ้ง 5.8 เมื่อเทียบกับการตั้งทึ้งไว้ให้ตกรอกน้ำด้วยแล้ว nim ตั่ง 1 ชั่วโมงสามารถลดความชื้นได้ร้อยละ 30

Holliland และ Shahbas (1995) ใช้โคโตแซนในการเก็บเกี่ยวโปรตีน จากน้ำทึ้ง อุตสาหกรรมการผลิตหอยแมลงภู่โดยทำการทดลองแบบง่าย พบว่าสามารถนำโปรตีนกลับมาใช้ใหม่ได้ถึงร้อยละ 80 โดยความเข้มข้นของโคโตแซนที่ใช้ 40 มิลลิกรัมต่อลิตร พีเอช 6.0 - 7.0

Hwang และ Domodaran (1995) ศึกษาการใช้โคโตแซนในการทดสอบ และกำจัดไขมันออกจากเยลที่เกิดขึ้นในการผลิตเนยโดยใช้โคโตแซนความเข้มข้นร้อยละ 0.01 - 0.02 ที่พีเอช 4.5 พบว่าไม่เกิดไขมันเป็น Fat globule membrane complex แล้วทำการแยกเหี้ยงออก พบว่าปริมาณไขมันในเยลลดลงเหลือน้อยกว่า 0.26 กรัม/100 กรัม โปรตีนและตราจไม่พบว่ามีโคโตแซนหลงเหลืออยู่ในเยลภายหลังการแยกโปรตีนออกไป

ความสำคัญของโลหะหนักต่อสุขภาพและสิ่งแวดล้อม

โลหะบางชนิดในปริมาณที่เหมาะสมมีความจำเป็นสำหรับการดำรงชีวิตของมนุษย์ แต่ในทางตรงกันข้ามโลหะบางชนิดสามารถทำให้คนเสียชีวิตได้เมื่อได้รับในปริมาณเพียงไม่กี่มิลลิกรัม โลหะเป็นสารมลพิษที่สำคัญชนิดหนึ่งที่ไม่สามารถถลายตัวได้ตามธรรมชาติ ซึ่งแตกต่างจากสารอินทรีย์มลพิษชนิดอื่น มีโลหะเพียงจำนวนน้อยมากที่ไม่มีพิษต่อสิ่งมีชีวิต ในสภาพแวดล้อมสามารถพับสารโลหะได้โดยมีแหล่งที่มาจากการธรรมชาติและจากมนุษย์ ส่วนที่มนุษย์ทำขึ้นเป็นผลจากการปล่อยโลหะเข้าสู่สภาพแวดล้อม เช่น น้ำเสียและการเป็นพิษจากโรงงานอุตสาหกรรม การเผาไหม้เชื้อเพลิงต่างๆ ซึ่งส่วนใหญ่ก่อให้เกิดอันตรายต่อสุขภาพของมนุษย์ อาจจัดแบ่งกลุ่มของโลหะตามลักษณะความเป็นพิษได้ดังนี้คือ (ชุมสง่า ศุวรรณศรี , 2526)

1. โดยที่ทำให้เกิดโรคเกี่ยวกับระบบหายใจ ส่วนใหญ่อยู่ในรูปของอนุภาคแขวนลอยในอากาศ ได้แก่ เหล็ก หัตถesen และ ไนโตรเจน

2. โดยและสารประกอบของโดยบางตัวที่ทำให้เกิดการเปลี่ยนแปลงของการทำหน้าที่ของอวัยวะภายในร่างกาย เช่น ตับ ไต และหัวใจ ทำให้เกิดโรคที่เกี่ยวข้องกับระบบหายใจตัวอย่างโลหะเหล่านี้ได้แก่ โคโรนาร์ มอลิบดินัม วานเดียม นิกเกิล โคบอตท์ ทองแดง เงินและแคนเดนี่ยม

3. โดยที่เป็นอันตรายต่อสุขภาพอย่างร้ายแรงและทำให้เกิดโรคเรื้อรังรักษาให้นายาชาก ได้แก่ ปะอุ ตะกั่ว แมงกานิส สารนู และพลดวง เพราะนอกจากรากจะทำให้เกิดโรคที่เกี่ยวกับระบบหายใจ ระบบทางเดินอาหารซึ่งเกี่ยวข้องกับตับและไตแล้วยังมีอันตรายต่อระบบหัวใจและประสาทส่วนกลางอีกด้วย

จากการสำรวจในปัจจุบันพบว่าโดยที่เป็นพิษจริงๆ ส่วนมากมักอยู่ในรูปอนุภาคขนาดเล็กกว่า 1 ไมโครเมตร และโดยเหล่านั้นสามารถละลายได้ในบางกระบวนการทางชีวเคมี ตัวอย่างโดยที่พบมากและมีอันตรายต่อมนุษย์พอที่จะยกตัวอย่างได้ดังนี้

ตะกั่ว (Lead) เป็นโดยชนิดหนึ่งที่มีมนุษย์รู้จักและนำมาเป็นเวลาาน การพบตะกั่วในธรรมชาติพบในรูปอิสระเพียงเล็กน้อยเท่านั้นส่วนใหญ่มักพบในรูปของสารประกอบดังนี้

ก. สารประกอบอนินทรีย์ เช่น ชัลไฟด์ ในเตรต คลอเรต คลอไรด์ เป็นต้น

ข. สารประกอบอนินทรีย์ เช่น เตตราเอทธิลเตต เตตราเมทิลเตต เป็นต้น

ตะกั่วสามารถเข้าสู่ร่างกายได้ 2 ทางคือ ทางอาหารและทางลมหายใจ นอกจากนี้ การใช้สารตะกั่วในสารประกอบเตตราเอทธิลเตตที่เติมในน้ำมันเชื้อเพลิงอาจถูกดูดซึมเข้าสู่ร่างกายโดยการซึมผ่านผิวนัง โดยเฉพาะผิวนังที่มีรอยแตกหรือเป็นแผลหากไปถูกหรือสัมผัสกับสารตะกั่วที่มีปริมาณมากฯ เป็นเวลาานฯ สารตะกั่วบางส่วนจะซึมเข้าสู่ร่างกายทางผิวนังส่วนนี้ได้ (ฐานะ สุวรรณศรี ,2526) ในชีวิตประจำวันปริมาณตะกั่วในอาหาร และน้ำมีค่าประมาณ 110 ไมโครกรัม/วัน (วงศ์พันธ์ ลิมปะเสนีย์ และคณะ, 2525) เมื่อตะกั่วเข้าสู่ร่างกายในปริมาณมากเกินความต้องการมักจะสะสมอยู่ในกระดูก ลิหิต และสมอง มีผลทำให้เกิดความผิดปกติในระบบและอวัยวะต่างๆ ของร่างกาย เช่น ระบบประสาท ระบบสืบพันธุ์ และอวัยวะอื่นๆ ตะกั่วที่สะสมในเลือดเป็นตัวการที่ไปขัดขวางการ

สร้างฮีโมโกลบินของเม็ดเลือดแดง นอกจากจะมีผลต่อเม็ดเลือดแดงแล้วยังทำให้เกิด การเปลี่ยนแปลงของฮีโมโกลบินที่มีอายุมากเกิดเป็นเมทิลไมโอกลบิน(Methylmyoglobin) เร็วขึ้น ซึ่งทำให้การนำออกซิเจนลดลง นอกจากนี้จะทำให้เกิดการสูญเสียกรดอะมิโน กลูโคส และฟอสเฟต โดยทำลายไมโตคอนเดรียในไต และเร่งการทำงานของม้ามและตับในการกำจัดเม็ดเลือดแดงด้วย ก่อให้เกิดโรคโลหิตจาง (วงศ์พันธุ์ ลิมปะเสนีย์ และคณะ,2525)

แคดเมียม (Cadmium) เป็นโลหะที่มีสีขาวปนน้ำเงิน แต่จะเปลี่ยนเป็นสีคล้ำถ้าทิ้งไว้ ในที่มีความชื้นสูง ปกติโลหะตัวนี้มีความเนื้ويามาก แต่ที่อุณหภูมิ 80 องศาเซลเซียส จะ เปราะ 脆 ล่อนหักง่าย พบรูปแบบแคดเมียมในรูปปิสตรัม แต่จะพบอยู่ในรูปของสารประกอบ โดยมัก พบรูปแบบแคดเมียมควบคู่กับสังกะสีเสมอ แคดเมียมเป็นโลหะที่มีพิษร้ายแรงมาก พิษของ แคดเมียมถ้าหากได้รับมากจะมีอาการเริ่มแรกที่ระบบไหลเวียนโลหิต ต่อมาก็เกิดความเจ็บ ปวดที่กระดูกในส่วนต่างๆ ของร่างกาย เช่นกระดูกขา กระดูกสันหลัง กระดูกซี่โครง และทำ ให้คนไข้เดินเหมือนเป็นหื่นหรือเป็นง้อย และในที่สุดกระดูกจะแตกหรือหักได้ง่าย โรคนี้มีชื่อว่า ชิไตอิ การเข้าสูตร่างกายของแคดเมียมโดยการบริโภค การหายใจและเข้าทางผิวนัง (วงศ์พันธุ์ ลิมปะเสนีย์ และคณะ,2525) ความรุนแรงของโรคจะขึ้นอยู่กับปริมาณและเวลาที่ ได้รับแคดเมียม (ชูสง่า สุวรรณศรี,2526)

ทองแดง (Copper) เป็นโลหะที่มนุษย์รู้จักดี พบรูปแบบโลหะอิสระและในรูป ของสารประกอบ ทองแดงเป็นโลหะที่ถูกนำมาใช้มาก เพราะมีคุณสมบัติที่ดีเยี่ยม นอกจากนี้ ทองแดงยังเป็นโลหะที่ร่างกายมนุษย์ต้องการอีกด้วยคือใช้ในกระบวนการเผาผลาญอาหาร เป็นธาตุที่จำเป็นในการช่วยสร้างฮีโมโกลบิน การสังเคราะห์เอนไซม์ และการทำงานของ เอนไซม์บางชนิด เช่น คานาเลส เปอร์ออกซิเดส และ ไซโตโครเมต ออกซิเดส นอกจากนี้ใน ทางการแพทย์ได้นำมาทดลองมาเป็นส่วนผสมของยาสมานแผล ยาห้ามเลือด ในด้าน โภชนาการ ใช้ทำสีสมอาหาร ในทางการเกษตรใช้เป็นยาปาร์ศต์รูพีช ดังนั้นทองแดงจึง เป็นโลหะที่สามารถแพร่กระจายอยู่ในสิ่งแวดล้อม ทั้งในดิน ในน้ำ และในอากาศได้ แม้though แดงจะเป็นโลหะที่มีความจำเป็นต่อร่างกายก็ตาม แต่ถ้าร่างกายได้รับทองแดงในปริมาณที่ มากเกินไปก็อาจเกิดโทษได้เช่นกัน โดยมีผลต่อระบบทางเดินอาหาร ทำให้เกิดอาการผื่นคัน ตามผิวนังอาจทำให้เกิดอาการระคายเคืองตา ตาอักเสบ และตาช้ำน้ำ

จากที่ทราบกันแล้วว่าโลหะหนักเป็นสิ่งที่มีพิษต่อร่างกายเมื่อได้รับมากเกินไป และอาจมีฤทธิ์สะสมก่อให้เกิดอันตรายต่อสุขภาพ จึงมีวิธีการต่างๆ มากมายเพื่อกำจัดออกไป จากแหล่งปนเปื้อน เช่น การใช้สารเคมี การใช้สารตกตะกอน การกรองด้วยตัวดูดซับชนิดต่าง ๆ รวมทั้งการใช้ไคตินและไคโตแซน กลไกและความสามารถในการจับโลหะของไคตินและไคโตแซนมีลักษณะที่ชัดเจนและเข้มข้นอยู่กับหล่ายปูจัย

ปัจจัยที่มีผลต่อความสามารถในการจับโลหะของไคตินและไคโตแซน

1. คุณสมบัติของไคตินและไคโตแซน

1.1 ปริมาณหมู่อะมิโน ที่พบในโครงสร้างทางเคมีมีผลต่อความสามารถในการจับโลหะของไคโตแซน โดยพบว่าไคโตแซนที่มีปริมาณหมู่อะมิโนที่มากกว่ามีความสามารถในการจับไอกอนของโลหะได้มากกว่า เนื่องจากหมู่อะมิโนเป็นจุดที่ว่องไวต่อความสามารถในการจับ (Trezos and Volsky, 1981)

Kurita และคณะ (1986) ศึกษาการจับไอกอนป্রอทและทองแดงด้วยไคโตแซนซึ่งได้มาจากการบวนการผลิต 2 วิธี คือ กระบวนการผลิตโดยการเปลี่ยนแปลงความเข้มข้นด่างที่แตกต่างกันตามเวลา และการกำจัดหมู่อะซิติดที่ใช้ความเข้มข้นของด่างร้อยละ 10 เพียงระดับเดียวตลอด ทำให้ปริมาณหมู่อะมิโนในไมเลกุลของไคโตแซนผลิตได้แตกต่างกัน และส่งผลต่อความสามารถในการจับโลหะของไคโตแซน โดยพบว่า เมื่อปริมาณหมู่อะมิโนของไคโตแซนเพิ่มขึ้นจากร้อยละ 15 เป็นร้อยละ 50 ความสามารถในการจับโลหะของไคโตแซนเพิ่มขึ้นจากร้อยละ 15 เป็นร้อยละ 80 แสดงว่าเกิดการรวมตัวกันของไอกอนในโครงuren จากหมู่อะมิโนของไคโตแซนกับไอกอนโลหะ แต่เมื่อปริมาณหมู่อะมิโนของไคโตแซนเพิ่มมากกว่าร้อยละ 60 ความสามารถในการจับเพิ่มขึ้นเพียงเล็กน้อย (ประมาณร้อยละ 85) ความสมพันคงไม่เป็นเส้นตรง ซึ่งจากผลที่ได้นี้แสดงว่า การจับโลหะของไคโตแซนไม่ได้เกิดจากหมู่อะมิโนของไคโตแซนอย่างเดียว อาจเกิดจากปัจจัยอื่นด้วยหรืออาจเกิดร่วมกัน

Xian และ Junhuai (1996) ศึกษาความสามารถในการจับไอกอนคอปเปอร์ (Cu^{2+}) และไอกอนนิกเกิล (Ni^{2+}) ของไคโตแซน พบร่วมความสามารถในการจับ Cu^{2+} สูงสุดประมาณ

1.9 มิลลิโมล/กรัมของไฮโดรเจน ขณะที่ Ni^{2+} สามารถจับได้ประมาณ 2.56 มิลลิโมล/กรัม ของไฮโดรเจน ที่พีเอช 2.2 และ 4.2 ตามลำดับ ซึ่งมีระดับการกำจัดหมู่อะซิติลเพิ่มขึ้นทำให้ความหนาแน่นของหมู่อะมิโนเพิ่มขึ้น เกิดการหักน้ำในการจับของโลหะทั้งสองเพิ่มขึ้น

1.2 ขนาดอนุภาคของไฮดราและไฮโดรเจน ความสามารถในการจับโลหะแตกต่างกัน เมื่อใช้ไฮดราและไฮโดรเจนที่มีขนาดอนุภาคที่ต่างกัน โดยพบว่าไฮดราหรือไฮโดรเจน ที่มีขนาดเล็กมีพื้นที่ผิวที่มากกว่า (Piron, et al., 1996) ทำให้ความสามารถในการจับมีแนวโน้มสูงกว่า

Muzzarelli และคณะ (1970) ศึกษาการจับไฮดราสังกะสี (Zn^{2+}) ด้วยไฮโดรเจนชนิดแผ่น (ขนาด 2 มม.) และชนิดผง ขนาด 100-200 ไมครอน โดยทำการควบคุมสภาวะอื่นให้คงที่คือ ความเข้มข้นสารละลายสังกะสี 0.44 มิลลิโมล ปริมาณ 50 มิลลิลิตร ต่อไฮโดรเจน 200 มิลลิกรัม พบร่วมกับไฮโดรเจนชนิดผงสามารถจับไฮดราสังกะสีได้ดีกว่าไฮโดรเจนชนิดแผ่น อาจเนื่องจากพื้นที่ผิวที่มากกว่าจะสามารถจับได้มากกว่า

Maruca (1982) ศึกษาการจับไฮดราโครเมียม (Cr^{3+}) ที่ระดับความเข้มข้น 2 - 10 มิลลิกรัม โดยใช้ไฮดราและไฮโดรเจนที่มีขนาดของอนุภาคที่แตกต่างกัน (<0.42 , $0.42-1.00$ และ $2.00-4.00$ มม.) พบร่วมกับไฮดราของพอลิเมอร์ที่เล็กกว่า (<0.42 มม.) มีความสามารถในการจับโครเมียมได้มากกว่า แต่ความสัมพันธ์ไม่เป็นเส้นตรง ในทำนองเดียวกันกับการศึกษาของ Xian และ Junhui (1996) รายงานว่าผลของขนาดอนุภาคที่แตกต่างกันทำให้ความสามารถในการจับที่แตกต่างกัน ทั้งนี้เนื่องจากความแตกต่างของพื้นที่สัมผัสด้วยกันที่แตกต่างกัน

2. พีเอชของสารละลายโลหะจะมีผลอย่างมากต่อการเปลี่ยนรูปแบบการเรียงตัวของอิเลคตรอน (electronic configuration) ของโลหะและทำให้การละลายลดลง (Jansson- Charrier, 1995) การเปลี่ยนแปลงดังกล่าวเป็นปัจจัยหลักในการจับและการควบคุมการพร่องของไฮดราโลหะภายในโมเลกุล (Saucedo, et al., 1992) นอกจากนี้พบว่า ที่พีเอชต่ำๆ เกิดการแยกกันจับระหว่าง H_3O^+ และไฮดราของโลหะต่อไฮโดรเจนซึ่งทำให้ความสามารถในการจับลดลง ไฮโดรเจนจะเกิดการบวมพอง (swelling) และการละลายเพิ่มขึ้นในสารละลายที่เป็นกรดทำให้ความสามารถในการจับลดลงเนื่องจากหมู่ที่มีความໄภต่อการจับลดลง เพราะต้องจับกับโมเลกุลของสารละลาย (Xian and Junhui, 1996)

Sakaguchi และคณะ (1981) ทำการศึกษาผลของพีเอชต่อความสามารถในการจับยูเรเนียมที่ปนเปื้อนอยู่ในน้ำทะเลของไคตินฟอสเฟตและไคโตแซนฟอสเฟต พบร่วมกับความสามารถในการจับเพิ่มขึ้นเมื่อพีเอชเพิ่มขึ้น จนถึงที่พีเอชประมาณ 5.0 และเมื่อพีเอชเพิ่มสูงขึ้นอีกความสามารถในการจับจะลดลง

Maruca (1982) พบร่วมกับพีเอชมีผลต่อความสามารถในการจับโครเมียม (Cr^{3+}) ของไคตินและไคโตแซน โดยพบร่วมกับพีเอชเพิ่มขึ้นความสามารถในการจับโครเมียมของไคตินและไคโตแซนจะเพิ่มขึ้น เนื่องจากเกิดการรวมกันของโลหะและหมู่ไฮดรอกไซด์โดยจะอยู่ในรูปของ Cr(OH)^{2+} และ Cr(OH)_2^+ ทำให้ความสามารถในการจับเพิ่มขึ้น

Jha และคณะ (1988) ศึกษาการจับแคนเดเมียมด้วยไคโตแซน พบร่วมกับพีเอชเท่ากับ 3 การจับแคนเดเมียมของไคโตแซนมีค่าประมาณร้อยละ 18 แต่เมื่อพีเอชเพิ่มขึ้นการจับเพิ่มขึ้นประมาณร้อยละ 80 ซึ่งพีเอช 4 ถึง 8.3 ความสามารถในการจับเพิ่มขึ้นอย่างมาก แต่เมื่อพีเอชมากกว่า 9.0 การจับเพิ่มขึ้นเพียงเล็กน้อยและมีแนวโน้มลดลง ทั้งนี้เนื่องจากเมื่อพีเอชเพิ่มขึ้นเกิดการจับกันระหว่างโลหะและ OH^- เป็น Cd(OH)^+ ทำให้ความเข้มข้นของแคนเดเมียมลดลงและเกิดเป็น Cd(OH)_2 เพิ่มขึ้นซึ่งจะจับกับไคโตแซน แต่เมื่อพีเอชเพิ่มมากขึ้นอีกประมาณ 10% มาตรฐานก็จะจับกันของโลหะและ OH^- ที่มีปริมาณมากเกิดเป็น Cd(OH)_2 ซึ่งจะตกรตะกอนลงมา ทำให้การจับของไคโตแซนต่อแคนเดเมียมเพิ่มขึ้นเล็กน้อยและมีแนวโน้มลดลง

Annachhtre และคณะ (1996) ศึกษาความสามารถในการจับไอออนคอปเปอร์ด้วยไคโตแซน โดยทำการศึกษาผลของพีเอชต่อความสามารถในการจับ พบร่วมกับความสามารถในการจับสูงสุดเท่ากับ 8.32 มิลลิกรัม/กรัมไคโตแซนที่พีเอช 6.0 แต่ที่พีเอช 4.7 ความสามารถในการจับมีเพียงร้อยละ 34 และความสามารถในการจับเกือบร้อยละ 85 เมื่อพีเอชเพิ่มขึ้น 1 หน่วย และมีค่าคงที่ระหว่างพีเอช 6.0-10.0 ทั้งนี้เนื่องจากคอปเปอร์เกิดเมทอลไฮดรอกไซด์ ซึ่งสอดคล้องกับการทดลองของ Muzzarelli และ Turbettini (1986) ที่พบร่วมกับความสามารถในการจับไอออนของโลหะของไคตินและไคโตแซนลดลงเมื่อพีเอชของสารละลายลดลงจาก 7.0 ถึง 2.5 ในท่านองเดียวทัน Trezos (1983) พบร่วมกับความสามารถในการจับยูเรเนียมของไคตินลดลงเมื่อพีเอชลดลง นอกจากนี้ Annachhtre และคณะ (1996)

ยังกล่าวว่าหากพีโอลเพิ่มขึ้นมากอาจไม่พบว่ามีการจับกันเนื่องจากช่วงพีโอล 6.0-10.0 เกิดการตกตะกอนของ Cu(OH)_2

3. ความเข้มข้นของสารละลายน้ำหรือ มีผลต่อความสามารถในการจับของไอตินและไคโตแซน เมื่อความเข้มข้นของโลหะมากขึ้นช่วยทำให้การเคลื่อนที่ของโมเลกุลเพิ่มขึ้น โอกาสสัมผัสกับพอลิเมอร์มากขึ้น (Weber, 1972)

Sakaguchi และคณะ (1981) รายงานความสามารถในการจับยูเรเนียมของไคตินฟอสเฟตและไคโตแซนฟอสเฟตในน้ำทะเลเพิ่มขึ้นเมื่อกonzentration เพิ่มขึ้นเป็นเด่น taraf เมื่อความเข้มข้นของยูเรเนียมเพิ่มขึ้นจาก 0 ถึง 100 ไมโครโมล ภายใต้สภาวะอัตราส่วนของพอลิเมอร์กับสารละลายน้ำ 1:10 เป็นเวลา 6 ชั่วโมง

4. ระยะเวลา เมื่อใช้เวลาในการจับที่เพิ่มขึ้นโอกาสที่ไคตินหรือไคโตแซนสามารถสัมผัสกับไอออนของโลหะเพิ่มขึ้น ความสามารถในการแพร่ของโลหะเข้าหรือสัมผัสมากขึ้น ความสามารถในการจับเพิ่มขึ้นเช่นกัน

Peniche-Covas และคณะ (1992) ศึกษาเวลาในการกวนต่อความสามารถในการจับ proxthonium ไคโตแซน พบร่วมกับตัวตั้งแต่ 10 นาที ถึง 100 นาทีความสามารถในการจับจะเพิ่มขึ้นอย่างรวดเร็ว แต่เมื่อเวลาเพิ่มขึ้นความสามารถในการจับจะเพิ่มขึ้นแล็กน้อย และมีแนวโน้มคงที่

5. ไอออนอื่นๆ ที่เป็นปัจจัยเกิดการแยกกันจับกันต่อไคตินและไคโตแซนและนอกจากนี้พบว่าอาจเกิดการจับกันระหว่างไอออนที่เป็นปัจจัยกับไอออนของโลหะเกิดเป็นสารประกอบเชิงซ้อนซึ่งจะมีผลต่อความสามารถในการจับโลหะของไคตินและไคโตแซน

Sakaguchi และคณะ (1981) ศึกษาผลของไอออนคาร์บอเนตต่อความสามารถในการจับยูเรเนียม ซึ่งปัจจัยอยู่ในน้ำทะเลของไคตินฟอสเฟตและไคโตแซนฟอสเฟต ซึ่งไอออนตัวนี้สามารถที่จะจับกับยูเรเนียมในรูปของ $\text{UO}_2(\text{CO}_3)_2^{2-}$ หรือ $(\text{UO}_2(\text{CO}_3)_3)^4-$ พบร่วมด้วยดับความเข้มข้นของคาร์บอเนตไอออน 0 - 0.3 มิล ไม่มีผลต่อการจับยูเรเนียมทั้ง 2 พอลิเมอร์ แต่เมื่อความเข้มข้นของคาร์บอเนตไอออนเพิ่มขึ้นความสามารถในการจับจะลดลง

Maruca (1982) ศึกษาผลของไอโอดอนฟอสเฟตต่อความสามารถในการจับไอโอดอนครอนเนียม (Cr^{3+}) ของไคโตแซน พบร่วมกับความเข้มข้นของฟอสเฟตเพิ่มขึ้นความสามารถในการจับครอนเนียมของไคโตแซนลดลง

Jha และคณะ (1988) ศึกษาผลของไอโอดอนคลอไรด์ที่ปนอยู่ต่อความสามารถในการจับแคนเดเมียมของไคโตแซน พบร่วมกับความเข้มข้นของไอโอดอนคลอไรด์เพิ่มขึ้นจนถึงประมาณ 1000 มิลลิกรัม/ลิตร ไม่มีผลต่อการจับแคนเดเมียมของไคโตแซน แต่เมื่อความเข้มข้นของไอโอดอนคลอไรด์เพิ่มมากกว่า 1000 มิลลิกรัม/ลิตร ความสามารถในการจับแคนเดเมียมของไคโตแซน ลดลงเล็กน้อย ทั้งนี้เนื่องจากอาจเกิดการจับกันของคลอไรด์เกิดเป็น CdCl_4^+ หรือ CdCl_2 ทำให้ความสามารถในการจับกับไคโตแซนลดลง นอกจากนี้ยังพบว่าหากมีไอโอดอนอีกนึ่งในไอโอดอนแคลเซียม ซึ่งไอโอดอนเหล่านี้มักพบในน้ำอาจเกิดการจับกับแคนเดเมียมโดยพบว่ามีไอโอดอนแคลเซียมในปริมาณที่สูงกว่า 1000 มิลลิกรัม/ลิตร อัตราการจับของไคโตแซนต่อแคนเดเมียมลดลงต่ำกว่าในกรณีที่ไม่มีแคลเซียมในไอโอดอน

ในกรณีที่มีไคโอดอนอีกนึ่งปนอยู่ เช่น ไอโอดอนสังกะสี พบร่วมกับความเข้มข้นของแคนเดเมียมเริ่มต้น 10 มิลลิกรัม/ลิตร การจับของไคโตแซนต่อแคนเดเมียมเริ่มต้นประมาณ 8.75 มิลลิกรัม/ลิตร แต่เมื่อมีสังกะสีไอโอดอน ที่มีความเข้มข้น 5 และ 20 มิลลิกรัม/ลิตร ความสามารถในการจับแคนเดเมียมของไคโตแซนจะลดลงเหลือแค่ 3.75 และ 1.75 มิลลิกรัม/ลิตร ตามลำดับ และเมื่อความเข้มข้นของไอโอดอนสังกะสีเพิ่มเป็น 50 มิลลิกรัม/ลิตร จะไม่พบการจับแคนเดเมียมของไคโตแซน จากการศึกษาของ Jha และคณะ (1988) ถึงผลของ EDTA ต่อความสามารถในการจับแคนเดเมียมของไคโตแซน พบร่วมกับความเข้มข้นของ EDTA เพิ่มขึ้นความสามารถในการจับแคนเดเมียมของไคโตแซนลดลงและไม่มีการจับแคนเดเมียมเมื่อความเข้มข้นของ EDTA มากกว่า 10 มิล เนื่องจาก EDTA สามารถจับกับโลหะเกิดเป็นสารเชิงช้อนในช่วงพีเอชที่กว้าง 2.0-14.0 ดังนั้นหากมี EDTA อยู่ทำให้แคนเดเมียมมีการแข่งขันในการจับต่อมุ่งมะโนลดลง

วัตถุประสงค์

1. ศึกษาปัจจัยทางกายภาพที่มีผลต่อความสามารถในการจับโลหะนักของไกด์ตินและไกด์แซน
2. ศึกษาความเป็นไปได้ในการใช้ไกด์ตินและไกด์แซนในการกำจัดโลหะหนักในน้ำทึบจากการบวนการผลิตของโรงงานอุตสาหกรรม
3. พัฒนาศักยภาพการประยุกต์ใช้ไกด์ตินและไกด์แซนในการรักษาสภาพแวดล้อม

บทที่ 2

วัสดุ อุปกรณ์ และวิธีการ

วัสดุ

1. เปลือกกระดูกจากโรงงานแปรรูปกระดูกที่ได้จากการเพาะเลี้ยง
2. ตัวอย่างน้ำทึบปอกพักสุดท้ายก่อนปล่อยออกสู่แหล่งรวมชาติของโรงงาน
อุตสาหกรรมปลาทูน่ากระป่อง
3. สารเคมีที่ใช้ในการผลิตไคตินและไคโตแซน และสารประกอบโลหะหนัก 2 ชนิดเพื่อใช้เตรียมสารละลาย คือ $\text{Cr}(\text{NO}_3)_3 \cdot 9 \text{H}_2\text{O}$ และ $\text{Pb}(\text{NO}_3)_2$ (AR grade)

อุปกรณ์

- ตู้อบลมร้อน
- เครื่องบด Hammer mill
- พีโอดิจิทัล เย็บ Fishe Scientific รุ่น ACCUMENT MODEL 5
- เครื่อง攪拌 (Magnetic stirrer) ยี่ห้อ Fisher Scientific รุ่น LR 49683C
- เครื่อง Inductively Coupled Plasma Atomic Emission Spectroscopy (ICP-AES) ยี่ห้อ Perkin Elmer รุ่น Plasma 1000
- ปั๊มชนิดควบคุมอัตราเร็วได้ (Peristaltic pump)
- คอลัมน์แก้วขนาด 2.6×30 เซ็นติเมตร ด้านล่างมีช่องน้ำเข้าขนาดเส้นผ่านศูนย์กลาง 6.0 mm . และด้านบนมีช่องน้ำออกจากฐาน 28 เซ็นติเมตร ตรงช่องน้ำเข้ามีไนแก้วปิดไว้เพื่อป้องกันการหลุดออกของพอลิเมอร์ (รูปที่ 4)



ຮູບທີ 4 ລັກຂະນະຄອລັມນີ້ແກ້ວ

ວິຊີກາຣ

1. ກາຣເຕີຢີມເປັນເປົກກຸງບົດ

ສ້າງເປົກກຸງແລ້ວທີ່ໃຫ້ສະເດັດນໍ້າ ນໍາມາອັບໃນຫຼັອບທີ່ອຸນຫະນີ 65 ອົງສາເໜລເໜີຍສ ເປັນເວລາ 6 ຊົ່ວໂມງແລ້ວບົດດ້ວຍເຄົ່ອງບົດ Hammer mill ໃຫ້ຕະແກງຮ່ອນເພື່ອແຍກເປົກກຸງ ບົດໃຫ້ມື່ນາດ 1.4-4.0 ມິລິເມຕຣ ເກີບຕົວຢ່າງເປົກກຸງບົດໃນຖຸພລາສົດຒກທີ່ອຸນຫະນີ 4 ອົງສາເໜລເໜີຍສ

2. ກາຣຜົດໄຄຕິນແລະໄຄໂຕແໜນ (ດັດແປລງຈາກ ສຸທອວັດນີ້ ເບຸນຈຸກລ ແລະໄພຣັຕນີ ໄສກໂນໂດຣ ,2533)

2.1 ກາຣກຳຈັດໄປຣຶຕິນ ໂດຍແຊເປົກກຸງກຸລາດຳທີ່ເຕີຢີມໄວ້ໃນສາຮະລາຍໂຫເດີຍມ ໄຢົດຮອກໄຫດ້ເຂັ້ມຂັ້ນ 1 ນອຽມຄອລ ຂັດຈາກສົມຜົມ 1:6 (ນໍ້າຫັນກ/ປົມາທຣ) ທີ່ອຸນຫະນີ 100

องศาเซลเซียส เป็นเวลา 1 ชั่วโมง แล้วนำมาล้างให้มีสภาพเป็นกลางด้วยน้ำกรองที่ผ่านการกรองด้วยเรซินชนิดแคทไอโอดอนิกและแอนไฮดรอนิก

2.2 การจำจัดแร่ธาตุ นำเปลือกหุ้งกุลาคำที่ผ่านการจำจัดไปรีติน และล้างจนมีสภาพเป็นกลางแข็งในสารละลายกรดไฮโดรคลอริกเข้มข้น 1.25 นอร์มอล อัตราส่วน 1:12 (น้ำหนัก/ปริมาตร) เป็นเวลา 1 ชั่วโมง ล้างให้มีสภาพเป็นกลางด้วยน้ำกรอง อบแห้งที่อุณหภูมิ 60 องศาเซลเซียสจนน้ำหนักคงที่ ผลผลิตที่ได้เรียกว่าไคติน

2.3 การจำจัดหมู่อะซิติล นำไคตินที่ได้ทำปฏิกิริยากับสารละลายโซเดียมไฮดรอกไซด์ เข้มข้นร้อยละ 50 (น้ำหนัก/น้ำหนัก) อัตราส่วนระหว่างไคตินและสารละลายด่างเท่ากับ 1:15 (น้ำหนัก/ปริมาตร) ที่อุณหภูมิ 100 องศาเซลเซียส เป็นเวลา 45 นาที ภายใต้สภาวะสูญญากาศ ล้างให้เป็นกลางแล้วนำไปทำแห้ง ผลผลิตที่ได้คือไคโตแซน ทำการจำจัดหมู่อะซิติลช้าๆ อีก 1 และ 2 ครั้งเพื่อให้ได้ไคโตแซนที่มีระดับการจำจัดหมู่อะซิติลแตกต่างกัน และวิเคราะห์หาระดับการจำจัดหมู่อะซิติลโดยวิธี Infrared Spectroscopy (Domszy and Robert, 1985) (ภาคผนวก ก) โดยการวัดการผ่านของแสงจาก การยืดของพันธะ (bond stretching) C = O และ N - H ที่ความถี่ 1655 cm^{-1} และ 3450 cm^{-1} ตามลำดับ จากนั้นจึงคำนวณหาระดับการจำจัดหมู่อะซิติลจากความสัมพันธ์ดังนี้

$$\text{ระดับการจำจัดหมู่อะซิติล} = 100 - [A_{1655} / A_{3450} \times 115]$$

A_{1655} = ค่าการผ่านของแสงที่ความถี่ 1655 cm^{-1}

A_{3450} = ค่าการผ่านของแสงที่ความถี่ 3450 cm^{-1}

115 = ค่าคงที่จากกราฟมาตรฐาน (calibration curve)

3. การศึกษาความสามารถในการจับ累合หนักของไคติน

ทำการศึกษาปัจจัยที่มีผลต่อความสามารถในการจับ累合หนักของไคติน ประกอบด้วย ขนาดอนุภาคไคติน ความเข้มข้นโลหะ พีโอดี อัตราส่วนระหว่างไคตินและสารละลายโลหะ และระยะเวลา โดยทำการทดลองกับโลหะหนัก 2 ชนิดคือ โครเมี่ยม และตะกั่ว ครั้งละ 1 ชนิดและแบ่งการทดลองออกเป็นดังนี้

3.1 ปัจจัยกลุ่มแรก ประกอบด้วย

- ขนาดอนุภาคไคติน 3 ขนาดคือ 0.4 - 1.0 1.0 - 1.4 และ 1.4 - 2.0 มม.
- ความเข้มข้นของสารละลายโลหะหนัก 3 ระดับคือ 2 3 และ 4 พีพีเอ็ม
- พีเอช 3 ระดับคือ 5 7 และ 9

3.2 ปัจจัยกลุ่มสอง ประกอบด้วย

- อัตราส่วนระหว่างไคตินและสารละลายโลหะหนัก 3 ระดับ คือ 1:1 1:5 และ 1:10 (มก./มล.)
- เวลาที่ใช้ในการจับ 3 ระดับคือ 24 48 และ 72 ชั่วโมง

ปัจจัยกลุ่มแรกดังกล่าวเมื่อออกแบบการทดลองแบบ Factorial in CRD สามารถจัดชุดการทดลองได้จำนวน $3 \times 3 \times 3 = 27$ ชุดการทดลอง สำหรับโลหะแต่ละชนิดแต่ละชุดทดลองทำ 3 ช้ำ วิธีการโดยนำตัวอย่างไคตินมาผสมกับสารละลายโลหะในอัตราส่วน 1:1 (น้ำหนัก:ปริมาตร) ภายใต้สภาวะของชุดทดลอง ทำการวนตัวด้วย Magnetic stirrerเป็นเวลา 5 นาทีทุกๆ 12 ชั่วโมงเมื่อครบเวลา 24 ชั่วโมงแล้วทำการแยกไคตินที่จับกับโลหะหนักออกด้วยการกรองผ่านกระดาษกรองปราศจากเต้าเบอร์ 1 (Whatman No.1) นำสารละลายส่วนใส่ในเครื่องปริมาณโลหะด้วยเครื่อง ICP-AES ข้อมูลที่ได้มานวิเคราะห์ทางสถิติ (ANOVA และ DMRT) (เพศาล เหล่าสุวรรณ, 2531) เพื่อประเมินผลของความเข้มข้นโลหะ พีเอช และขนาดอนุภาคต่อความสามารถในการจับโลหะของไคติน ขณะเดียวกันชุดควบคุมใช้สารละลายโลหะที่ไม่มีการผสมไคติน

หลังจากนั้นทำการศึกษาปัจจัยกลุ่มสอง เมื่อออกแบบการทดลองแบบ Factorial in CRD สามารถจัดชุดการทดลองได้จำนวน $3 \times 3 = 9$ ชุดการทดลอง สำหรับโลหะแต่ละชนิดแต่ละชุดทดลองทำ 3 ช้ำ โดยนำไคตินมาผสมกับสารละลายโลหะหนัก แต่ละชนิด ตามสภาวะปัจจัยที่คัดเลือกที่ได้จากการทดลองในกลุ่มแรก แต่มีความแตกต่างในปัจจัยที่ทำการศึกษาในกลุ่มที่สอง ได้แก่ อัตราส่วนระหว่างไคตินต่อสารละลายโลหะ และเวลาที่ใช้ในการจับ ทำการวนเป็นเวลา 5 นาทีทุกๆ 12 ชั่วโมงเก็บตัวอย่างที่ 24 , 48 และ 72 ชั่วโมง ทำการแยกไคตินที่จับกับโลหะหนักออกด้วยการกรองผ่านกระดาษกรองปราศจากเต้าเบอร์ 1 (Whatman No.1) นำสารละลายส่วนใส่ในเครื่องปริมาณโลหะ

ด้วยเครื่อง ICP-AES ข้อมูลที่ได้มาวิเคราะห์ทางสถิติ (ANOVA และ DMRT) (ไฟศาล เนล่าสุวรรณ , 2531) เพื่อประเมินผลของอัตราส่วนระหว่างไคโตนและสารละลายโลหะ และเวลาที่ใช้ต่อความสามารถในการจับโลหะของไคโตน ขณะเดียวกันชุดควบคุมไม่มีการเติมไคโตน

4. การศึกษาความสามารถในการจับโลหะหนักของไคโตแซน

ทำการศึกษาปัจจัยที่มีผลต่อความสามารถในการจับโลหะหนักของไคโตแซนประกอบด้วย ขนาดอนุภาคไคโตแซน ความเข้มข้นโลหะ พีเอช อัตราส่วนระหว่างไคโตแซนและสารละลายโลหะ ระยะเวลา และ ระดับในการกำจัดหมู่อะซิติลของไคโตแซน โดยทำการทดลองกับโลหะครั้งละ 1 ชนิดและแบ่งการทดลองออกเป็นดังนี้

4.1 ปัจจัยกลุ่มแรก ประกอบด้วย

- ขนาดอนุภาคไคโตแซน 3 ขนาดคือ 0.4 - 1.0 1.0 - 1.4 และ 1.4 - 2.0 มม.
- ความเข้มข้นของสารละลายโลหะหนัก 3 ระดับคือ 2 3 และ 4 พีพีเอ็ม
- พีเอช 3 ระดับคือ 5 7 และ 9

4.2 ปัจจัยกลุ่มสอง ประกอบด้วย

- อัตราส่วนระหว่างไคโตแซนและสารละลายโลหะหนัก 3 ระดับ คือ 1:1 1:5 , และ 1:10 (มก./มล.)
- เวลาที่ใช้ในการจับ 3 ระดับคือ 24 48 และ 72 ชั่วโมง
- ระดับของการกำจัดหมู่อะซิติล 3 ระดับ โดยใช้ไคโตแซนที่ผ่านการกำจัดหมู่อะซิติล 1 2 และ 3 ครั้ง เมื่อทำการวิเคราะห์พบว่ามีค่าระดับการกำจัดหมู่อะซิติล คือ ร้อยละ 60.97 81.81 และ 86.69 ตามลำดับ

จากปัจจัยกลุ่มแรกดังกล่าวเมื่อออกแบบการทดลองแบบ Factorial in CRD สามารถจัดชุดการทดลองได้จำนวน $3 \times 3 \times 3 = 27$ ชุดการทดลอง สำหรับโลหะแต่ละชนิด แต่ละชุดทดลองทำ 3 ชั้้า วิธีการโดยนำตัวอย่างไคโตแซนมาผสมกับสารละลายโลหะ ในอัตราส่วน 1:1 (น้ำหนัก:ปริมาตร) ภายใต้สภาวะของชุดทดลอง แล้วทำการกวนเป็น

เวลา 5 นาทีทุกๆ 12 ชั่วโมง เก็บตัวอย่างที่เวลา 24 ชั่วโมง แล้วทำการแยกไคโตไซน์ที่จับกับโลหะหนักออกด้วยการกรองผ่านกระดาษกรองปราศจากเด็กเบอร์ 1 (Whatman No.1) นำสารละลายน้ำใส่มาวิเคราะห์ปริมาณโลหะด้วยเครื่อง ICP-AES ข้อมูลที่ได้มาวิเคราะห์ทางสถิติ (ANOVA และ DMRT) (เพศาล เหล่าสุวรรณ, 2531) เพื่อประเมินผลของความเข้มข้นโลหะ พีโซช และขนาดอนุภาคต่อความสามารถในการจับโลหะของไคโตไซน์ ซุ่ดควบคุมมีลักษณะเดียวกันแต่ไม่มีการเติมไคโตไซน์

หลังจากนี้ทำการศึกษาปัจจัยกลุ่มสอง เมื่อออกแบบการทดลองแบบ Factorial in CRD สามารถจัดชุดการทดลองได้จำนวน $3 \times 3 \times 3 = 27$ ชุดการทดลอง สำหรับโลหะแต่ละชนิดแต่ละชุดทดลองทำ 3 ชั้้า โดยนำไคโตไซน์มาผสมกับสารละลายน้ำหนักแต่ละชนิด ตามส่วนของปัจจัยที่คัดเลือกได้จากการทดลองในปัจจัยกลุ่มแรก เพื่อศึกษาหาปัจจัยกลุ่มสองคือ อัตราส่วนระหว่างไคโตไซน์ต่อสารละลายน้ำโลหะ เวลาที่ใช้ในการจับและระดับการทำจัดหมู่อะซิติลของไคโตไซน์ต่างกัน ทำการรวมเป็นเวลา 5 นาที ทุกๆ 12 ชั่วโมงเก็บตัวอย่างที่ 24, 48 และ 72 ชั่วโมง ทำการแยกไคโตไซน์ที่จับกับโลหะหนักออกด้วยการกรองผ่านกระดาษกรองปราศจากเด็กเบอร์ 1 (Whatman No.1) นำสารละลายน้ำใส่มาวิเคราะห์ปริมาณโลหะด้วยเครื่อง ICP-AES ข้อมูลที่ได้มาวิเคราะห์ทางสถิติ (ANOVA และ DMRT) (เพศาล เหล่าสุวรรณ, 2531) เพื่อประเมินผลของอัตราส่วนระหว่างไคโตไซน์และสารละลายน้ำโลหะ ระดับในการทำจัดหมู่อะซิติล และเวลาต่อความสามารถในการจับโลหะของไคโตไซน์ โดยซุ่ดควบคุมไม่มีการเติมไคโตไซน์

5. การศึกษาการประยุกต์ใช้ไคตินและไคโตแซนเพื่อจับโลหะหนักในตัวอย่างน้ำทึบจากโรงงานแปรรูปสัตว์น้ำ

ตัวอย่าง

- สารละลายนิคราเมี่ยม ความเข้มข้น 4 พีพีเอ็ม โดยเตรียมจาก $\text{Cr}(\text{NO}_3)_3 \cdot 9 \text{H}_2\text{O}$ ในน้ำประศจากโรงงาน
- สารละลายนตะกั่วความเข้มข้น 4 พีพีเอ็มโดยเตรียมจาก $\text{Pb}(\text{NO}_3)_2$ ในน้ำประศจากโรงงาน
- น้ำทึบปอสุดท้ายก่อนปล่อยออกสู่แหล่งน้ำธรรมชาติ จากโรงงานอุตสาหกรรมปลาทูฟ้ากระป่อง วิเคราะห์หา พีเอช ค่าความกรุน ค่าซีไอดี ปริมาณ ของแข็งทึบหมุด (APHA, AWWA and WPCF, 1985) และปริมาณโลหะนิคราเมี่ยม และตะกั่วในตัวอย่างน้ำทึบปอสุดท้าย เริ่มต้น

5.1 การศึกษาการจับโลหะนิคราเมี่ยมและตะกั่วด้วยไคตินและไคโตแซนโดยใช้คอลัมน์เดียว (Single column)

นำตัวอย่างสารละลายนิคราเมี่ยมที่เตรียมจากห้องปฏิบัติการแต่ละชนิดภายใต้สภาวะที่เหมาะสมจากข้อ 3 และ 4 มาผ่านคอลัมน์ที่บรรจุไคตินหรือไคโตแซนที่มีระดับความสูง 20 เซ็นติเมตร (น้ำหนัก 20 กรัม) ปริมาตรที่เคลื่อนที่ผ่านทึบหมุด 20 ลิตร เพื่อให้มีอัตราส่วนระหว่างพอลิเมอร์กับตัวอย่างสารละลายน้ำและเวลาที่ใช้ในการจับที่เหมาะสมจากผลการทดลองในข้อ 3 และ 4 โดยตัวอย่างสารละลายนิคราเมี่ยมเคลื่อนที่เข้าทางด้านล่างของคอลัมน์และออกทางด้านบนของคอลัมน์ (รูปที่ 5) ความเร็วของสารละลายน้ำและออกควบคุมด้วยปั๊มในอัตราเร็วที่ศึกษา 3 ระดับคือ 800 1000 และ 1200 มิลลิลิตร/ชั่วโมง

สำหรับโลหะแต่ละชนิดแต่ละชุดทดลองทำ 3 ชุด นำสารละลายนิคราเมี่ยมที่ผ่านคอลัมน์มาวิเคราะห์ปริมาณโลหะด้วยเครื่อง ICP-AES และข้อมูลที่ได้วิเคราะห์ทางสถิติ (ANOVA และ DMRT) (เพศadal เหลาสรวน, 2531) เพื่อประเมินผลของอัตราเร็วของการเคลื่อนที่ของสารละลายนิคราเมี่ยมในการจับโลหะแต่ละชนิดของไคตินและไคโตแซน นำสภาวะที่เหมาะสมที่คัดเลือกได้ มาใช้กับน้ำทึบจากโรงงานอุตสาหกรรมปลาทูฟ้า

กรอบป้อง และวิเคราะห์หากา ซีโอดี ค่าความชุน ค่าของแข็งหั้งหมด (APHA, AWWA and WPCF, 1985) และปริมาณโลหะที่เหลือเมื่อตัวอย่างน้ำทิ้งผ่านคอลัมน์

5.2 การศึกษาการจับโดยเมื่ยมและตะกั่วของไคตินและไอโตแซนโดยใช้คอลัมน์คู่ (Double column)

นำตัวอย่างสารละลายโลหะแต่ละชนิดภายใต้สภาวะที่เหมาะสมจากข้อ 3 และ 4 มาผ่านคอลัมน์คู่ ที่บรรจุไคตินหรือไอโตแซนที่มีระดับความสูง 20 เซ็นติเมตร (น้ำหนัก 20 กรัม แต่ละคอลัมน์) ปริมาตรที่เคลื่อนที่ผ่านหั้งหมด 20 ลิตร เพื่อให้มีอัตราส่วนระหว่าง พอลิเมอร์กับตัวอย่างสารละลายและเวลาที่ใช้ในการจับที่เหมาะสมจากผลการทดลองใน ข้อ 3 และ 4 โดยตัวอย่างสารละลายโลหะเคลื่อนที่เข้าทางด้านล่างของคอลัมน์ที่หนึ่งด้วย ความเร็ว ที่ควบคุมด้วยปั๊มตัวที่หนึ่ง และเคลื่อนที่ออกทางด้านบนของคอลัมน์ที่หนึ่งเข้าสู่ คอลัมน์ ที่สองทางด้านล่างด้วยความเร็วที่ควบคุมด้วยปั๊มตัวที่สอง และออกทางด้านบน ของคอลัมน์ (รูปที่ 6) ความเร็วของสารละลายเข้าและออกควบคุมด้วยปั๊มในอัตราเร็วที่ ศึกษา 3 ระดับคือ 800 1000 และ 1200 มิลลิลิตร/ ชั่วโมง

สำหรับโลหะแต่ละชนิดแต่ละชุดทดลองทำ 3 ช้ำ นำสารละลายที่ผ่านคอลัมน์มา วิเคราะห์ปริมาณโลหะด้วยเครื่อง ICP-AES และข้อมูลที่ได้วิเคราะห์ทางสถิติ (ANOVA และ DMRT) (เพศadal เหล่าสุวรรณ, 2531) เพื่อประเมินผลของอัตราเร็วของการเคลื่อนที่ ของสารละลายต่อความสามารถในการจับโลหะแต่ละชนิดของไคตินและไอโตแซน นำสภาวะที่เหมาะสมที่คัดเลือกได้ มาใช้กับน้ำทิ้งจากการโรงงานอุตสาหกรรมปลาทูน่า กรอบป้อง และวิเคราะห์หากา ซีโอดี ค่าความชุน ค่าของแข็งหั้งหมด (APHA, AWWA and WPCF, 1985) และปริมาณโลหะที่เหลือเมื่อตัวอย่างน้ำทิ้งผ่านคอลัมน์



รูปที่ 5 ลักษณะของคอลัมน์เดียว (Single column)



รูปที่ 6 ลักษณะของคอลัมน์คู่ (Double column)

บทที่ 3

ผลและวิจารณ์

1. ระดับการกำจัดหมู่อะซิติล

ระดับการกำจัดหมู่อะซิติลของไคโตแซนที่ทำการกำจัดหมู่อะซิติลครั้งที่ 1 2 และ 3 โดยการหาระดับการกำจัดหมู่อะซิติลด้วยเครื่อง Infared spectroscopy แสดงผลดังตารางที่ 1 พบว่าเมื่อจำนวนครั้งในการกำจัดหมู่อะซิติลเพิ่มขึ้นมีระดับการกำจัดหมู่อะซิติลเพิ่มขึ้น

ตารางที่ 3 ระดับการกำจัดหมู่อะซิติลของไคโตแซนที่กำจัดหมู่อะซิติลครั้งที่ 1 2 และ 3

| จำนวนครั้งในการกำจัดหมู่อะซิติล | ระดับการกำจัดหมู่อะซิติล (ร้อยละ) |
|---------------------------------|-----------------------------------|
| 1 | 60.97 |
| 2 | 81.81 |
| 3 | 86.89 |

2. ความสามารถในการจับโครงเมียมของไคติน

ผลการศึกษาปัจจัยที่มีผลต่อความสามารถในการจับโครงเมียมของไคตินที่ประกอบด้วย ขนาดอนุภาคไคติน ความเข้มข้นของสารละลายโครงเมียม และพีเอช (ตารางที่ 4) พบว่า ความสามารถในการจับโครงเมียมของไคตินสูงขึ้น ($P<0.05$) เมื่อความเข้มข้นของสารละลายโครงเมียมเพิ่มขึ้นทุกระดับพีเอช และทุกขนาดอนุภาคที่ทำการศึกษา โดยที่ระดับความสามารถในการจับโครงเมียมของไคตินที่ระดับความเข้มข้น 4 พีพีเอ็ม สูงกว่าที่

ระดับความเข้มข้น 3 และ 2 ตามลำดับ ที่พีเอช 7.0 และขนาดอนุภาคไคติน 0.4 - 1.0 มิลลิเมตร (ประมาณร้อยละ 90.19) ซึ่งสอดคล้องกับการทดลองของ Sagaguchi และคณะ (1981) ที่พบว่าปริมาณการดูดซับญี่เรนี่ยมด้วยไคตินฟอสเฟตเพิ่มขึ้นเป็นสัดสอง เมื่อความเข้มข้นของสารละลายญี่เรนี่ยมเพิ่มขึ้น ทั้งนี้เนื่องจากเมื่อความเข้มข้นของโลหะมากขึ้นปริมาณไอออนของโลหะมากขึ้นโอกาสในการสัมผัสกันระหว่างพอลิเมอร์กับไอออนมีมาก ผลที่ตามมาคือเกิดความสามารถในการจับไอออนโลหะเพิ่มขึ้น (Weber, 1972)

ความสามารถในการจับโครงเมี่ยมของไคตินขึ้นอยู่กับพีเอช ที่ระดับพีเอชต่ำคือ 5.0 ความสามารถในการจับของไคตินมีค่าต่ำกว่าที่ระดับพีเอช 7.0 และ 9.0 ทุกระดับความเข้มข้นของสารละลายโครงเมี่ยมและทุกขนาดอนุภาคของไคติน ทั้งนี้เนื่องจากเมื่อพีเอชเพิ่มขึ้นมีผลต่อรูปแบบการเรียงตัวของอิเลคตรอน (electronic configuration) ซึ่งมีผลต่อการจับและแพร่ภายนอกของไคติน (intraparticle diffusion) และพีเอชยังเป็นปัจจัยสำคัญต่อการเกิดสมดุลและ sorption isotherm ของการดูดซับที่เรียกว่า monolayer adsorption (Saucedo, et al., 1992) นอกจากนี้ยังพบว่าพีเอชและความเข้มข้นของสาร ละลายโครงเมี่ยมแสดงผลร่วมกันต่อความสามารถในการจับโครงเมี่ยมของไคตินอย่างมีนัยสำคัญทางสถิติ (ตารางผนวกที่ 1)

ไคตินที่มีขนาดอนุภาคเล็ก (0.4 -1.0 มิลลิเมตร) มีแนวโน้มความสามารถในการจับโลหะโครงเมี่ยมที่สูงกว่าไคตินที่มีขนาดอนุภาคใหญ่ ซึ่งแสดงให้เห็นว่าอนุภาคที่มีขนาดเล็กมีพื้นที่ผิวมากกว่าทำให้ความสามารถในการดูดจับที่สูงกว่า (Piron, et al., 1996)

ดังนั้นจึงสามารถสรุปสภาวะที่เหมาะสมต่อความสามารถในการจับโครงเมี่ยมของไคตินในการทดลองนี้คือ ขนาดอนุภาคไคติน 0.4 - 1.0 มิลลิเมตร ซึ่งสอดคล้องกับการทดลองของ Maruca (1982) ที่ศึกษาการจับโครงเมี่ยมของไคตินและไคโตแซนพบว่า อนุภาคพอลิเมอร์ที่เล็กกว่า (<0.42 มม.) มีความสามารถในการจับโครงเมี่ยมได้สูงกว่า อนุภาคที่ใหญ่กว่า (0.42-1.00 และ 2.00-4.00 มม.) สารละลายโครงเมี่ยมเข้มข้น 4 พีเอช ซึ่งเป็นความเข้มข้นสูงสุดที่ใช้ในการทดลอง และ พีเอช 9.0

ตารางที่ 4 ผลของความเข้มข้นของสารละลายนครเมียม ขนาดอนุภาค และพีโอดินต่อความสามารถในการจับของไคติน¹

| ความเข้มข้นของ สารละลายนครเมียม (พีพีเอ็ม) | ขนาดอนุภาค (มิลลิเมตร) | ความสามารถในการจับ (ร้อยละ) * | | |
|--------------------------------------------------|---------------------------|-------------------------------|-------------------------------|---------------------------------|
| | | พีโอดิน | 7.0 | 9.0 |
| 1.988 | 0.4-1.0 | 40.09 \pm 1.19 ^b | 72.43 \pm 2.02 ^b | 76.69 \pm 2.61 ^{bc} |
| | 1.0-1.4 | 32.62 \pm 1.17 ^a | 71.86 \pm 2.86 ^b | 71.34 \pm 2.03 ^{abc} |
| | 1.4-2.0 | 31.91 \pm 1.23 ^a | 64.23 \pm 2.06 ^a | 67.10 \pm 2.14 ^a |
| 3.009 | 0.4-1.0 | 47.10 \pm 1.93 ^c | 82.01 \pm 2.45 ^c | 84.80 \pm 1.73 ^{de} |
| | 1.0-1.4 | 54.20 \pm 2.96 ^d | 84.61 \pm 2.87 ^b | 77.35 \pm 2.18 ^c |
| | 1.4-2.0 | 39.03 \pm 2.16 ^b | 74.61 \pm 2.06 ^b | 71.18 \pm 2.78 ^c |
| 4.017 | 0.4-1.0 | 57.87 \pm 2.74 ^d | 90.19 \pm 1.78 ^d | 89.86 \pm 2.50 ^e |
| | 1.0-1.4 | 65.85 \pm 2.44 ^e | 83.33 \pm 1.15 ^c | 83.32 \pm 2.07 ^d |
| | 1.4-2.0 | 46.98 \pm 1.39 ^c | 86.38 \pm 1.03 ^c | 71.53 \pm 1.37 ^{abc} |

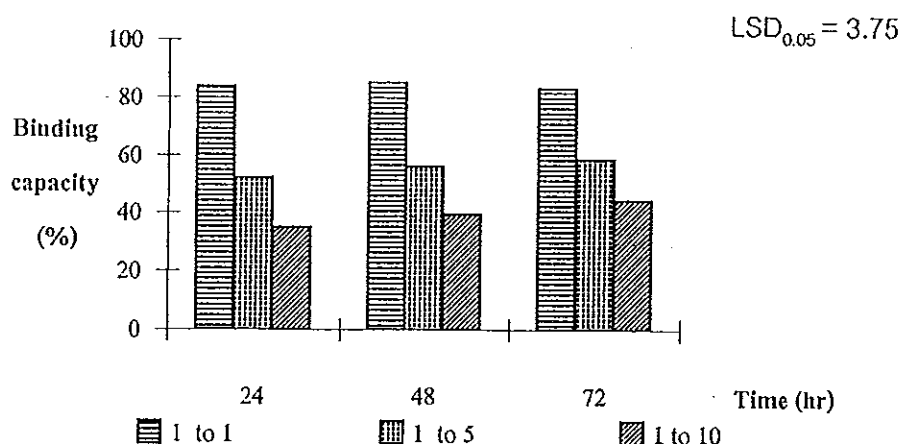
¹ อัตราส่วนระหว่างไคตินต่อสารละลายนครเมียมเท่ากับ 1:1 (นน./ปริมาตร) ที่เวลา 24 ชั่วโมง

* ค่าเฉลี่ย \pm ค่าเบี่ยงเบนมาตรฐานจากการทดลอง 3 ขั้นที่มีอักษรเหมือนกันในแต่ละ
สมบgn ไม่มีความแตกต่างอย่างมีนัยสำคัญทางสถิติ ($P>0.05$)

ผลการศึกษาปัจจัยอื่นที่มีผลต่อความสามารถในการจับไครเมียมของไคติน คือ อัตราส่วนระหว่างไคตินต่อสารละลายนครเมียม และเวลาในการจับคือ 24 48 และ 72 ชั่วโมง โดยใช้สารละลายนครเมียมที่ความเข้มข้น 4 พีพีเอ็มจำนวน 50 มิลลิลิตรเท่ากัน ทุกชุดการทดลอง และใช้ไคติน 50 มิลลิกรัมสำหรับอัตราส่วน 1 ต่อ 1 และใช้ไคตินจำนวน 10 และ 5 มิลลิกรัมสำหรับอัตราส่วน 1 ต่อ 5 และ 1 ต่อ 10 ตามลำดับ ผลการทดลองพบ ว่าความสามารถในการจับไครเมียมลดลง ($P<0.05$) เมื่ออัตราส่วนระหว่างไคตินต่อสารละลายนครเมียมเพิ่มขึ้นทุกๆ เวลาของการจับที่ทำการศึกษา (รูปที่ 7) และความสามารถในการจับไครเมียมของไคติน ที่อัตราส่วนระหว่างไคตินต่อสารละลายนครเมียมเท่ากับ 1 ต่อ 1

สูงกว่าที่อัตราส่วนระหว่างไคตินต่อสารละลายน้ำ 1 ต่อ 5 และ 1 ต่อ 10 ตามลำดับ ทั้งนี้เนื่องจากเมื่ออัตราส่วนระหว่างไคตินต่อสารละลายน้ำเพิ่มขึ้น จำนวนไคตินลดลง ทำให้ความสามารถในการจับลดลง

เมื่อพิจารณาผลของเวลาต่อความสามารถในการจับไครเมีย์มของไคติน พบร้า เมื่อเวลาเพิ่มขึ้นความสามารถในการจับมีแนวโน้มเพิ่มขึ้นเล็กน้อยแต่ไม่มีความแตกต่าง อย่างมีนัยสำคัญทางสถิติ ($P>0.05$) ทั้งนี้เนื่องจากในการทดลองที่เวลา 24 ชั่วโมง คาดว่า ความสามารถในการจับที่อัตราส่วนของไครเมีย์มต่อไคติน ซึ่งผลการทดลองมีแนวโน้มเป็นไป ในลักษณะเดียวกับการทดลองของ Annachhatre และคณะ (1996) ที่พบว่าอัตราเร็วของ ความสามารถในการจับคือปะรุงของไคตินได้แซนเกิดขึ้นเร็วมากในช่วงแรกประมาณ 2 ชั่วโมง มีค่าประมาณร้อยละ 50 และปริมาณการจับเพิ่มขึ้นเป็นร้อยละ 70 เมื่อเวลาผ่านไป ประมาณ 5 ชั่วโมง จนเพิ่มเป็นร้อยละ 86 ในเวลาประมาณ 24 ชั่วโมง



รูปที่ 7 ผลของเวลาและอัตราส่วนระหว่างไคติน กับสารละลายน้ำเพิ่มต่อความสามารถ สามารถในการจับของไคติน

ดังนั้นจึงสามารถสรุปสภาวะที่เหมาะสมต่อความสามารถในการจับไครเมีย์มของ ไคติน คือ การใช้ไคตินที่มีขนาดอนุภาค 0.4 -1.0 มิลลิเมตร กับสารละลายน้ำเพิ่ม เที่ยมขึ้น 4 พีพีเอ็ม ที่ระดับพีเอช 9.0 อัตราส่วนระหว่างไคตินต่อสารละลายน้ำเพิ่มเท่ากับ 1 ต่อ 1 และเวลา 24 ชั่วโมง

3. ความสามารถในการจับตะกั่วของไคติน

การศึกษาปัจจัยที่มีผลต่อความสามารถในการจับตะกั่วของไคตินประกอบด้วยขนาดอนุภาคของไคติน ความเข้มข้นของสารละลายตะกั่วและพีเอช ได้ผลลัพธ์แสดงในตารางที่ 4 พบว่าความสามารถในการจับตะกั่วของไคตินในแต่ละขนาดอนุภาคมีแนวโน้มเพิ่มขึ้นเมื่อความเข้มข้นของสารละลายตะกั่วเพิ่มขึ้น ทั้งนี้เนื่องจากเมื่อความเข้มข้นของโลหะมากขึ้น ปริมาณไอโอดินของโลหะเพิ่มขึ้นไปสัมผัสกับพอลิเมอร์เพิ่มขึ้น ความสามารถในการจับจึงเพิ่มขึ้นเช่นกัน (Weber, 1972) อย่างไรก็ตามเมื่อพิจารณาผลของพีเอชต่อความสามารถในการจับตะกั่วของไคติน พบร่วมกับพีเอชเพิ่มขึ้นจาก 5.0 เป็น 9.0 ความสามารถในการจับตะกั่วของไคตินมีแนวโน้มเพิ่มขึ้น แต่ไม่พบความแตกต่างอย่างมีนัยสำคัญระหว่างพีเอช 7.0 กับ 9.0 ในทุกขนาดอนุภาคและทุกระดับความเข้มข้น และเมื่อพิจารณาถึงผลร่วมของพีเอชและความเข้มข้นของสารละลายตะกั่วพบว่าทั้งสองปัจจัยมีผลร่วมกัน ต่อความสามารถในการจับตะกั่วของไคติน (ตารางผนวกที่ 3) ด้วยเหตุผลเช่นเดียวกับที่กล่าวแล้วข้างต้น ขนาดอนุภาคของไคตินมีผลต่อความสามารถในการจับตะกั่ว โดยพบว่าไคตินที่มีขนาดอนุภาคเล็กกว่ามีแนวโน้มที่สามารถจับตะกั่วได้ดีกว่าไคตินที่มีขนาดอนุภาคใหญ่กว่าที่พีเอช 5.0 แต่ไม่พบความแตกต่างอย่างมีนัยสำคัญ ($P>0.05$) เมื่อพีเอชเท่ากับ 7.0 และ 9.0

ดังนั้นจึงสามารถสรุปสรุปภาวะที่เหมาะสมต่อความสามารถในการจับตะกั่วของไคตินคือ การใช้ไคตินที่มีขนาดอนุภาค 1.4 - 2.0 มิลลิเมตร ซึ่งเป็นขนาดอนุภาคที่ใหญ่กว่าการจับโครงเมียมของไคติน ทั้งนี้เนื่องจากตะกั่วมีความสามารถในการจับสูงกว่าโครงเมียม แสดงว่าตะกั่วมี binding affinity สูงกว่าโครงเมียม ส่วนความเข้มข้นสารละลายตะกั่วที่ใช้คือ 4 พีพีเอ็ม ซึ่งเป็นความเข้มข้นสูงสุดที่ใช้ในการทดลอง และที่ระดับพีเอช 7.0 เพื่อการศึกษาต่อไป

ตารางที่ 5 ผลของความเข้มข้นของสารละลายต่อกัน ขนาดอนุภาค และพีอีชต่อความสามารถ
สามารถในการจับของไคติน¹

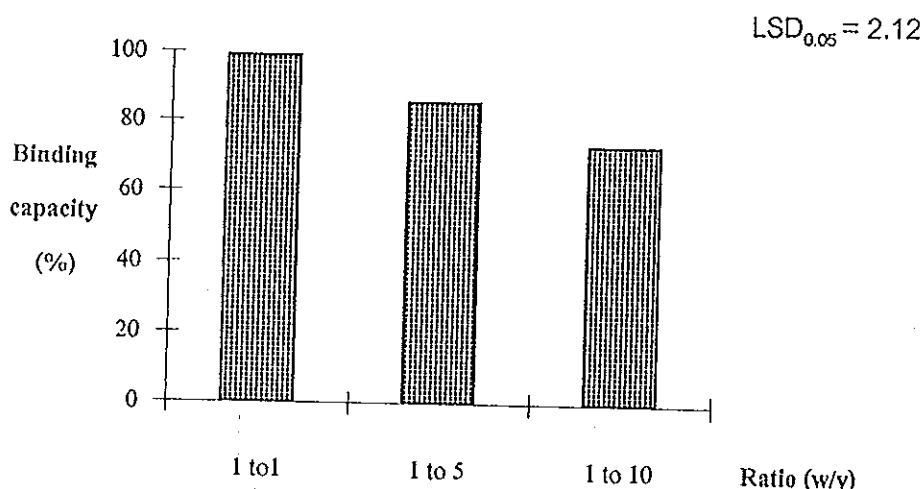
| ความเข้มข้นของ สารละลายต่อกัน (พีพีเอ็ม) | ขนาดอนุภาค (มิลลิเมตร) | ความสามารถในการจับ (ร้อยละ) * | | |
|------------------------------------------------|---------------------------|--------------------------------------------|---------------------------------|---------------------------------|
| | | พีอีช | 5.0 | 7.0 |
| 1.988 | 0.4 -1.0 | 69.00 \pm 1.5 ^{b,c} | 99.00 \pm 0.50 ^c | 99.00 \pm 1.00 ^c |
| | 1.0 -1.4 | 55.88 \pm 0.49 ^a | 98.36 \pm 0.05 ^{b,c} | 99.00 \pm 1.00 ^c |
| | 1.4 -2.0 | 53.81 \pm 1.98 ^a | 97.40 \pm 0.05 ^a | 96.95 \pm 0.16 ^a |
| 3.009 | 0.4 -1.0 | 73.64 \pm 1.00 ^{cd} | 98.00 \pm 1.00 ^{ab} | 98.87 \pm 0.20 ^{abc} |
| | 1.0 -1.4 | 64.24 ^b \pm 2.00 ^b | 98.44 \pm 0.08 ^{b,c} | 97.51 \pm 0.28 ^{ab} |
| | 1.4 -2.0 | 69.46 \pm 2.00 ^{b,c} | 98.03 \pm 0.08 ^{abc} | 97.34 \pm 0.18 ^{ab} |
| 4.017 | 0.4 -1.0 | 78.27 \pm 1.75 ^d | 98.73 \pm 0.35 ^{bc} | 98.58 \pm 0.23 ^{ab} |
| | 1.0 -1.4 | 69.82 \pm 1.41 ^{b,c} | 98.7 \pm 0.20 ^{b,c} | 97.78 \pm 0.60 ^{b,c} |
| | 1.4 -2.0 | 71.47 \pm 0.89 ^c | 97.54 \pm 0.23 ^{ab} | 97.32 \pm 0.76 ^a |

¹ อัตราส่วนระหว่างไคตินต่อสารละลายโลหะเท่ากับ 1:1 (พน./ปริมาตร) ที่เวลา 24 ชั่วโมง

* ค่าเฉลี่ย \pm ค่าเบี่ยงเบนมาตรฐานจากการทดลอง 3 ชุด ที่มีอักษรเหมือนกันในแต่ละ
สมการไม่มีความแตกต่างอย่างมีนัยสำคัญทางสถิติ ($P>0.05$)

เนื่องจากผลการทดลองในตารางที่ 5 แสดงความสามารถในการจับต่อกันของ
ไคตินมีค่าใกล้ 100 (การจับสมบูรณ์) ที่พีอีช 7.0 ขนาดอนุภาคทั้ง 3 ขนาด (0.4-1.0
1.0-1.4 และ 1.4-2.0 มม.) ความสามารถในการจับไม่มีความแตกต่างกัน จึงเลือกขนาด
อนุภาค 1.4-2.0 มม. เพื่อไม่ต้องเสียเวลาในการทดลองต่อมาก จึงเลือกขนาด
4.017 พีพีเอ็ม นี้มาใช้เวลา 24 ชั่วโมง ดังนั้นในการทดลองต่อมาจึงได้ศึกษาเฉพาะผลของ
อัตราส่วนระหว่างไคตินต่อสารละลายโลหะต่อกันต่อความสามารถในการจับต่อกันของ
ไคติน ซึ่งทำการทดลองโดยใช้สารละลายต่อกัน ที่ความเข้มข้น 4 พีพีเอ็มในปริมาตร 50
มิลลิลิตร เท่ากันทุกชุดการทดลอง และใช้ไคติน 50 10 และ 5 มิลลิกรัมสำหรับอัตราส่วน

1 ต่อ 1 , 1 ต่อ 5 และ 1 ต่อ 10 ตามลำดับ ผลการทดลองพบว่าความสามารถในการจับตะกั่วลดลง ($P < 0.05$) เมื่อสัดส่วนระหว่างไคตินต่อสารละลายน้ำออกหง่านทุกเวลาของการจับที่ทำการศึกษา (รูปที่ 8) และพบว่าความสามารถในการจับตะกั่วของไคตินที่อัตราส่วนระหว่างไคตินต่อสารละลายน้ำออกหง่านเท่ากับ 1 ต่อ 1 สูงกว่าอัตราส่วนของไคตินต่อสารละลายน้ำออกหง่าน 1 ต่อ 5 และ 1 ต่อ 10 ตามลำดับ



รูปที่ 8 ผลของอัตราส่วนระหว่างไคตินต่อสารละลายตะกั่วต่อความสามารถในการจับของไคติน

เนื่องจากความสามารถในการจับตะกั่วของไคตินที่พีเอช 7.0 และ 9.0 ไม่มีความแตกต่างทางสถิติอย่างมีนัยสำคัญ ($P<0.05$) แต่ได้เลือกพีเอช 7.0 ไปศึกษาในขั้นตอนต่อไปเนื่องจากน้ำทึบจากโรงงานปลาทูน้ำกระเบื้องที่ปล่อยออกสู่ธรรมชาติโดยทั่วไปมีพีเอชประมาณ 6.0 - 7.0 ซึ่งไม่มีความจำเป็นที่ต้องปรับพีเอชเมื่อนำไปใช้กับน้ำทึบ ส่วนสภาพที่เหมาะสมอื่นประกอบด้วย ความเข้มข้นของสารละลายตะกั่ว 4 พีพีเอ็ม ขนาดอนุภาคไคติน 1.4 - 2.0 มิลลิเมตร อัตราส่วนระหว่างไคตินต่อสารละลายตะกั่วเท่ากับ 1 ต่อ 1 และใช้เวลา 24 ชั่วโมง

4. ความสามารถในการจับครอเมียมของไคโตแซน

การศึกษาปัจจัยที่มีผลต่อความสามารถในการจับครอเมียมของไคโตแซน ประกอบด้วย ความเข้มข้นของสารละลายครอเมียม พีเอช และ ขนาดอนุภาคของไคโตแซน พนวจความสามารถในการจับครอเมียมของไคโตแซนมีค่าสูงขึ้นอย่างมีนัยสำคัญ ($P<0.05$) เมื่อความเข้มข้นของสารละลายโลหะเพิ่มขึ้น (ตารางที่ 6) เป็นไปในแนวเดียวกับกับการทดลองของ Sagaguchi และคณะ(1981) ซึ่งพบว่าปริมาณการดูดซับยูเรเนียมด้วยไคโตแซนฟอสเฟตเพิ่มขึ้นเป็นเด่นตรง เมื่อความเข้มข้นของสารละลายยูเรเนียมเพิ่มขึ้น นอกจากนี้ยังพบว่าความสามารถในการจับครอเมียมของไคโตแซนมีค่าสูงสุดที่ระดับความเข้มข้นของโลหะ 4 พีพีเอ็ม (ประมาณร้อยละ 88.07) การเพิ่มขึ้นของความเข้มข้นของสารละลายโลหะเป็นปัจจัยหลักของการควบคุมการแพรวิภาคในไม่เลกุล (Saucedo,*et al.*, 1992) อีกทั้งเนื่องจากเมื่อความเข้มข้นของโลหะมากขึ้นปริมาณไอโอดินของโลหะมากขึ้นซวยเพิ่มโอกาสการสัมผัสไอโอดินโลหะกับพอลิเมอร์มากขึ้นอีกทั้งเป็นการเพิ่มการแพร์ของไอโอดินโลหะเข้าสัมผัสหรือเข้าสู่อนุภาคมากขึ้น ผลที่ตามมาคือความสามารถในการจับเพิ่มขึ้น (Weber,1972)

ความสามารถในการจับครอเมียมของไคโตแซนยังขึ้นอยู่กับพีเอช โดยพบว่าที่ระดับพีเอชต่ำคือ 5.0 ความสามารถในการจับของไคโตแซนมีค่าต่ำกว่าที่ระดับพีเอช 7.0 และ 9.0 ทุกระดับความเข้มข้นของสารละลายครอเมียม และทุกขนาดอนุภาคของไคติน Saucedo และคณะ (1992) กล่าวว่าการเปลี่ยนแปลงของพีเอชทำให้เกิดการเปลี่ยนแปลงหมู่อะมิโนสูตรของไคโตแซน และรูปแบบการเรียงตัวของอิเลคตรอน (electronic configuration) ของโลหะ ซึ่งเป็นปัจจัยหลักสำคัญในการควบคุมการจับและการแพรวิภาค ในไม่เลกุล ซึ่งรูปแบบการแพร์ของโลหะเพื่อเข้าไปจับกับไคโตแซนประกอบด้วยหลายขั้นตอนคือ ลำดับแรกเกิดการเคลื่อนที่ของโลหะจากสารละลาย (bulk solution) "ไปเกาะยังขั้นฟิล์มของแหล่งที่หุ้มผิวนอกของไคโตแซน ต่อมาเป็นการเคลื่อนที่ของโลหะผ่านฟิล์ม (boundary film) ของแหล่งที่หุ้มไคโตแซนไปยังผิวนอกไคโตแซน ต่อมาเป็นการเคลื่อนที่ของโลหะจากผิวนอกเข้าไปภายใน (intraparticlar transfer) ตรงบริเวณที่มีความ

จำเพาะสุดท้ายเกิดการจับกันของไอออนโลหะต่างๆที่มีความว่องไว ซึ่งอาจเกิดลักษณะการจับกันแบบเชิงช้อน การดูดซับ หรือการ吸附ก่อนภายในอนุภาค โดยพบว่าลำดับแรก มีความสัมพันธ์กับการตีกรนและความสม่ำเสมอของสารละลายโลหะ ลำดับต่อมาจะบอกถึงความต้านทานต่อการถ่ายเทมวลฟิล์ม (Film mass transfer resistance) และจะบอกถึง Intraparticle diffusion model และลำดับสุดท้ายเกิดขึ้นเร็วมากและไม่มีข้อจำกัดในจุดนี้ ที่สำคัญพบว่ากลไกในลำดับสุดท้ายและรองสุดท้ายเป็นขั้นควบคุมความเร็วในการจับโลหะของพอลิเมอร์ (Weber and Morris, 1962 ; Base and Mesmer, 1976 ; Jansson-charrier, 1995)

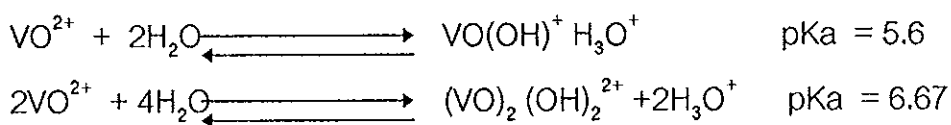
ตารางที่ 6 ผลของความเข้มข้นของสารละลายโครงเมียม ขนาดอนุภาค และพีโอดีต่อความสามารถในการจับของไฮโดรเจน¹

| ความเข้มข้นของสารละลายโครงเมียม (พีพีเอ็ม) | ขนาดอนุภาค (มิลลิเมตร) | ความสามารถในการจับ (ร้อยละ)* | | |
|--------------------------------------------|------------------------|------------------------------|-----------------------------|---------------------------|
| | | พีโอดี | 7.0 | 9.0 |
| 1.988 | 0.4-1.0 | 50.57±1.06 ^{b,c} | 65.87±1.15 ^a | 70.09±2.11 ^c |
| | 1.0-1.4 | 46.01±2.20 ^b | 62.35±2.08 ^a | 63.99±2.59 ^{a,b} |
| | 1.4-2.0 | 42.29±1.64 ^a | 64.88±0.76 ^a | 62.17±1.05 ^a |
| 3.009 | 0.4-1.0 | 53.25±2.41 ^c | 71.98±2.27 ^{b,c} | 85.58±1.14 ^a |
| | 1.0-1.4 | 52.27±2.80 ^c | 65.22±1.35 ^a | 69.62±1.76 ^c |
| | 1.4-2.0 | 49.21±1.72 ^{b,c} | 67.98±3.02 ^{a,b,c} | 75.40±1.90 ^d |
| 4.017 | 0.4-1.0 | 66.11±2.06 ^e | 73.96±1.66 ^c | 88.07±1.34 ^e |
| | 1.0-1.4 | 58.60±1.57 ^d | 71.93±2.54 ^{b,c} | 74.58±2.14 ^d |
| | 1.4-2.0 | 64.09±1.66 ^e | 67.38±2.36 ^{a,b} | 67.72±1.47 ^{b,c} |

*อัตราส่วนระหว่างไฮโดรเจนต่อสารละลายโลหะเท่ากับ 1:1(นน./ปริมาตร) ที่เวลา 24 ชั่วโมง

* ค่าเฉลี่ย± ค่าเบี่ยงเบนมาตรฐานจากการทดลอง 3 ชั้้า ที่มีอักษรเหมือนกันในแต่ละส่วนก็ไม่มีความแตกต่างอย่างมีนัยสำคัญทางสถิติ ($P>0.05$)

จากการศึกษาความสามารถในการจับยูเรเนียมของไคโตแซนโดย Saucedo และคณะ (1992) พบว่าความสามารถในการจับมีค่าเพิ่มขึ้นอย่างรวดเร็วเมื่อพิเศษเพิ่มจาก 3.0 เป็น 5.0 ขณะที่พิเศษประมาณ 6.0 ความสามารถในการจับเพิ่มขึ้นเพียงเล็กน้อยซึ่งมีลักษณะคล้ายคลึงกับการทดลองของ Jha และคณะ (1988) ที่พบว่าความสามารถในการจับแคนเดเมียมที่พิเศษประมาณ 3.0 มีค่าเพียงร้อยละ 15 และมีค่าเพิ่มมากขึ้นเป็นร้อยละ 80 เมื่อพิเศษของสารละลายโลหะเพิ่มขึ้น 1 หน่วย Annachhatre และคณะ (1996) พบร่วมกันความสามารถในการจับ แคนเดเมียมเพิ่มขึ้นอย่างรวดเร็วเมื่อพิเศษเพิ่มขึ้นจาก 4.0 เป็น 8.3 และเพิ่มขึ้นเล็กน้อยเมื่อพิเศษ 9.0 ซึ่งจากผลการทดลองดังกล่าวสามารถอธิบายได้ว่า ที่พิเศษทำให้ออนของโลหะเกิดการแยกกันกับไฮโดรเจนไนเตรียมไฮอน (H_3O^+) ตรงหมู่อะมิโนอิสระของไคโตแซนซึ่งเป็นหมู่ที่ว่องไว ทำให้มุ่งมิไปในอิสระของไคโตแซนอยู่ในรูปของแอกโนเนียม (NH_3^+) ซึ่งมีประจุบวกที่ไม่สามารถจับกับไฮอนโลหะ นอกจากนี้พบว่า การเพิ่มขึ้นของพิเศษทำให้หมู่อะมิโนอิสระของไคโตแซนอยู่ในรูปของ $-\text{NH}_2$ หรือ NH^+ ซึ่งมีอิเลคตรอนอิสระที่สามารถเกิด coordination complex กับไฮอนโลหะ อีกทั้งการเพิ่มพิเศษทำให้การละลายของไฮอนลดลงและ ไฮอนโลหะอยู่ในรูปของโลหะไฮดรอกไซด์เพิ่มขึ้นทำให้การจับเพิ่มขึ้น เช่นเดียวกับการทดลองของ Jansson-Charrier (1995) ที่ศึกษาความสามารถในการจับวานเดียมของไคโตแซน พบร่วมกันความสามารถในการจับเพิ่มขึ้นของพิเศษทำให้เกิดปฏิกิริยา hydroxylation ของประจุบวกดังสมการ (Base and Mesmer, 1976)



จากการศึกษาของ Saucedo และคณะ (1992) พบว่าไคโตแซนมีผลต่อการกระจายชนิด (species) ของวานเดียม นอกเหนือนี้ที่พิเศษน้อยกว่า 4.0 จะไม่พบร่วมเดียมในรูปของ OH^- แต่มีพิเศษเพิ่มมากกว่า 6.0 สิ่งที่พบคือ $(\text{VO})_2(\text{OH})_2^{2+}$ เพิ่มมากขึ้นทำให้ความสามารถในการจับเพิ่มขึ้นด้วยซึ่งมีความสัมพันธ์กับความสามารถเพิ่มขึ้นของโลหะด้วย สอดคล้องกับการทดลองของ Guiibal และคณะ (1992) และ Saucedo (1993) ที่พบว่าความสามารถในการจับของยูเรเนียมของไคโตแซนมีมากที่สุดเมื่อเกิดไฮดรอกไซด์ของไฮอนโลหะ และในห้องเดียวกันกับการศึกษาการจับคอปเปอร์และโคบัลท์ด้วยมวลชีวภาพของเชื้อราก (fungal biomass) ซึ่งมี

องค์ประกอบของไคโตไซน์เป็นองค์ประกอบหลัก (Guibal, 1990 อ้างโดย Guibal, et al., 1994) ในทางตรงกันข้ามหากพีเอชต่ำๆ จะเกิดปฏิกิริยา protonation ของไคโตไซน์ ทำให้ประจุบวกในของไคโตไซน์เป็นบวก (NH_3^+) ไม่สามารถจับกับประจุบวกของไอออนโลหะได้ ทำให้การจับของไคโตไซน์ลดลง นอกจากนี้พบว่าความสามารถในการจับของโลหะทั่วไปของไคโตไซน์มีค่าลดลงเมื่อพีเอชของสารละลายโลหะลดลงจาก 7.0 เป็น 2.5 (Muzzarelli and Turbetini ,1969)

เมื่อพิจารณาผลร่วมกันระหว่างความเข้มข้นของสารละลายโลหะและพีเอชพบว่า เกิดผลร่วมกันต่อความสามารถในการจับครอเมี่ยมของไคโตไซน์อย่างมีนัยสำคัญ ($P<0.05$) (ตารางผนวกที่ 9) ทั้งนี้เนื่องจากพีเอชมีผลซึกระหว่างไคโตไซน์ทำให้เกิดการเปลี่ยนแปลงทางเคมีของสารละลายโลหะโดยลักษณะทางเคมีที่สำคัญคือเกิดการเปลี่ยนแปลงรูปแบบการเรียงตัวของอิเลคตรอน (electronic configuration) ทำให้การละลายลดลง (Jansson - Charrier, 1995) อีกทั้งการเรียงตัวของอิเลคตรอนของไอออนโลหะยังเป็นปัจจัยหลักในการควบคุมการแพร่กระจายในโมเลกุล (Saucedo, et al.,1992)

ไคโตไซน์ที่มีขนาดอนุภาคเล็ก (0.4-1.0 มิลลิเมตร) มีแนวโน้มความสามารถในการจับโลหะครอเมี่ยมได้ดีกว่าไคโตไซน์ที่มีขนาดใหญ่ในทุกระดับพีเอชและความเข้มข้นของสารละลายโลหะที่ทำการศึกษา ซึ่งเป็นไปในแนวเดียวกับการทดลองของ Muzzarelli และคณะ(1980) ที่พบว่าขนาดอนุภาคไคโตไซน์มีผลต่อความสามารถในการจับโลหะโดยพบร่วมขนาดอนุภาคไคโตไซน์ที่เล็กกว่า (<0.25 ม.m.) มีแนวโน้มความสามารถในการจับที่สูงกว่าขนาดอนุภาคไคโตไซน์ที่สูงกว่า (>0.25 ม.m.) โดยโลหะที่ทำการศึกษาคือ ไอโอนคิวบริก และ ไอโอนแมอร์คิวบริก ในลักษณะเดียวกันนี้ Jansson - Charrier และ คณะ(1995) รายงานว่าขนาดอนุภาคไคโตไซน์มีผลต่อความสามารถในการจับโลหะ และ อธิบายว่าความสามารถในการจับโลหะของไคโตไซน์เป็นฟังก์ชันกับพื้นที่ผิวจำเพาะ (specific area) การลดขนาดเป็นการเพิ่มพื้นที่ผิวของแต่ละอนุภาค (Guibal, et al.,1994) โดยพบว่าอนุภาคที่มีขนาดเล็กมีความสามารถในการจับสูงกว่า (Piron, et al., 1996) นอกจากนี้การเพิ่มขึ้นของขนาดอนุภาคทำให้การแพร่เข้าไปภายในอนุภาคของไอออนของโลหะจึงใช้เวลานานขึ้น (Jansson - Charrier, et al.,1995) ดังนั้นจึงสามารถสรุปสภาวะที่เหมาะสมต่อความสามารถในการจับครอเมี่ยมของไคโตไซน์ในการทดลองนี้ คือ การใช้

'โคโตแซนที่มีขนาดอนุภาค 0.4 - 1.0 มิลลิเมตร กับสารละลายครอเมี่ยมเข้มข้น 4 พีพีเอ็ม ที่ระดับพีเอช 9.0 เพื่อการศึกษาต่อไป'

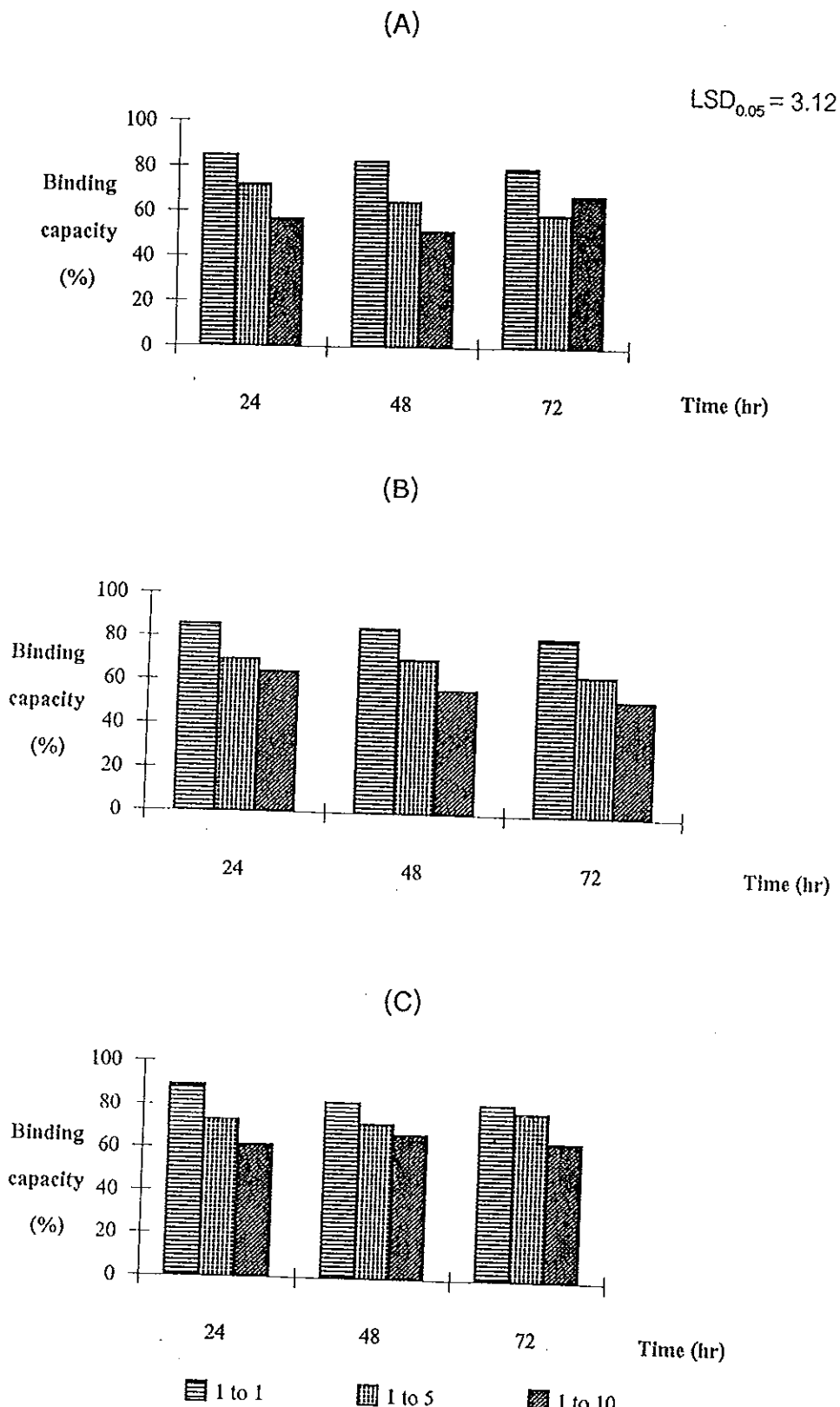
ต่อมาได้ทำการศึกษาปัจจัยอื่นได้แก้อัตราส่วนระหว่างโคโตแซนกับสารละลาย โลหะ ระยะเวลาและระดับการทำจัดหมู่อะซิติดิลของโคโตแซน พบว่า เมื่ออัตราส่วนระหว่าง โคโตแซนต่อสารละลายโลหะเพิ่มขึ้นความสามารถในการจับครอเมี่ยมของโคโตแซนมี แนวโน้มลดลง ($P<0.05$) ทุกระดับเวลาที่ทำการทดลอง (รูปที่ 9) ความสามารถในการจับ ประมาณร้อยละ 84.87 เมื่ออัตราส่วนระหว่างโคโตแซนต่อสารละลายโลหะเท่ากับ 1 ต่อ 1 และค่าความสามารถในการจับของโคโตแซนประมาณร้อยละ 56.86 เมื่ออัตราส่วน ระหว่างโคโตแซนต่อสารละลายโลหะเท่ากับ 1 ต่อ 10 แสดงว่า เมื่อปริมาณของ โคโตแซนลดน้อยลงประสิทธิภาพความสามารถในการจับครอเมี่ยมมีค่าลดลง ดังนั้น สภาวะที่เหมาะสมคืออัตราส่วนระหว่างโคโตแซนต่อสารละลายครอเมี่ยมเท่ากับ 1 : 1

เมื่อพิจารณาผลของเวลาต่อความสามารถในการจับครอเมี่ยมของโคโตแซน (รูปที่ 9) พบว่า เมื่อเวลาเพิ่มขึ้น ความสามารถในการจับไม่มีความแตกต่างอย่างมีนัย สำคัญทางสถิติ ($P>0.05$) ดังนั้นการใช้เวลา 24 ชั่วโมงก็เพียงพอต่อการจับ ซึ่งคาดว่าเป็น เวลาที่เกิดการจับครอเมี่ยมอย่างอิ่มตัวของโคโตแซน ซึ่งเป็นไปในทำนองเดียวกับการ ทดลองของ Jha และคณะ (1988) ที่พบว่าความสามารถในการจับแอดเมี่ยมของ โคโตแซนในช่วงแรกเกิดขึ้นอย่างรวดเร็วและหลังจาก 4 ชั่วโมง ความสามารถเพิ่มขึ้นเล็ก น้อย นอกจาคนี้ Ramachandran Nair และ Madhavan (1982) ยังรายงานว่าความสามารถ ในการจับโลหะชนิดต่างๆของโคโตแซนเกิดขึ้นเร็วมากในเวลา 1 ชั่วโมงแรกของ การจับ และเพิ่มขึ้นเล็กน้อยหรืออาจคงที่หลังจาก 3 ชั่วโมงซึ่งทั้งนี้ขึ้นอยู่กับชนิดของ ไอโอนโลหะที่จับ โดยพบว่าความสามารถในการจับสูงสุดและต่อสุดเมื่อจับไอโอน แมอร์คิวรี่ และ ไอโอนโคบล็อก ตามลำดับ

ความสามารถในการจับครอเมี่ยมของโคโตแซนมีแนวโน้มเพิ่มขึ้นเมื่อใช้โคโตแซนที่ มีระดับการทำจัดหมู่อะซิติดิลเพิ่มขึ้น ซึ่งสอดคล้องกับการรายงานของ Kurita และคณะ (1986) ที่ศึกษาผลของปริมาณหมู่อะมิโนต่อความสามารถในการจับของโคโตแซน โดย พบว่า โคโตแซนที่มีปริมาณหมู่อะมิโนที่สูงกว่ามีความสามารถในการดูดจับไอโอนโลหะได้ มากกว่า จากผลดังกล่าวสามารถอธิบายได้ว่าเกิดจากการรวมตัวกัน (coordination) ของ

ในตรีเจนของหมู่อะมิโนของไคโตแซน ซึ่งเป็นจุดที่ว่องไวต่อการจับไอออนโลหะ (Trezos and Volsky, 1981) แต่จากการทดลองครั้งนี้ใช้ไคโตแซนที่มีระดับการกำจัดหมู่อะซิติลต่างกันคือ ร้อยละ 60.97 81.81 และ 86.69 เมื่อระดับการกำจัดหมู่อะซิติลเพิ่มขึ้นความสามารถในการจับโครงเมียมมีแนวโน้มเพิ่มขึ้นแต่ไม่มีความแตกต่างอย่างมีนัยสำคัญทางสถิติ ($P>0.05$) จากปรากฏการณ์นี้ แสดงว่าความสามารถในการจับโครงเมียมของไคโตแซนไม่ได้เกิดจากปริมาณหมู่อะมิโนอย่างเดียว อาจเกิดจากกลไกอื่นที่มีผลต่อความสามารถในการจับโครงเมียมของไคโตแซน (Kurita, et al., 1986) กลไกการจับโลหะของไคโตแซนที่อาจเป็นไปได้คือเกิดการดูดซับ (Adsorption) หรือ การแพร่ของโลหะเข้าภายในอนุภาคของไคโตแซน (Diffusion) (Onosoyen and Skaugrud, 1990)

ดังนั้นจึงสามารถสรุปภาวะที่เหมาะสมต่อความสามารถในการจับโครงเมียมของไคโตแซนในการทดลองนี้คือ การใช้ไคโตแซนที่มีระดับการกำจัดหมู่อะซิติลร้อยละ 60.97 ขนาดอนุภาค 0.4 - 1.0 มิลลิเมตร กับสารละลายน้ำมีความเข้มข้น 4 พีพีเอ็ม ที่พีเอช 9.0 และอัตราส่วนระหว่างไคโตแซนต่อสารละลายน้ำมีความเข้มเท่ากัน 1 ต่อ 1 โดยใช้เวลาในการจับ 24 ชั่วโมง



รูปที่ 9 ผลของอัตราส่วนระหว่างไคโตแซนต่อสารละลายน้ำมีเยม ระยะเวลาและระดับของการกำจัดหมู่อะซิติลรักอยละ (A), 60.97%; (B), 81.81% และ (C), 86.69% ต่อความสามารถในการจับของไคโตแซน

5. ความสามารถในการจับตะกั่วของไคโตแซน

ผลการทดลองพบว่าความสามารถในการจับตะกั่วของไคโตแซนมีค่าเพิ่มขึ้นเมื่อความเข้มข้นของสารละลายตะกั่วเพิ่มขึ้นที่ พีเอช 5.0 ของแต่ละขนาดอนุภาค ส่วนที่พีเอช 7.0 และ 9.0 ความเข้มข้นของสารละลายตะกั่วไม่มีผลต่อความสามารถในการจับอย่างมีนัยสำคัญ ($P>0.05$) ในทุกขนาดอนุภาคไคโตแซนที่ศึกษา (ตารางที่ 6) ทั้งนี้เนื่องจากที่พีเอชต่ำอาจเกิดการย่างกันจับของ H_3O^+ และไอโอดอนของโลหะลงตัวแน่นที่ว่องไวของไคโตแซน ทำให้ความสามารถในการจับลดลง (Jha, et al., 1988) ซึ่งตรงกับรายงานของ Muzzarelli และ Tubertini (1969) ที่พบว่าความสามารถในการจับโลหะหลายตัวมีค่าลดลงเมื่อพีเอชลดลงจาก 7.5 เป็น 2.5 และ Trezos (1983) ได้ศึกษาการจับยูเรเนียมด้วยไคโตแซน นอกจากนี้ในสภาวะของสารละลายที่เป็นกรดอาจเกิดการบวมพอง (swelling) ของไคโตแซน เมื่อมีความเป็นกรดมากขึ้น การพองก็มากขึ้น ทำให้พื้นที่ที่จะสัมผัสถกับกรดก็มากขึ้นเกิดการละลายเพิ่มขึ้นโดยการละลายจะใช้หมู่ที่ชอบน้ำ (หมู่อะมิโน) จับกับไม่เลกฤทธิ์ของน้ำ ทำให้ความหนาแน่นของหมู่อะมิโนที่มีผลต่อการจับไอโอดอนลดลง (Xian and Junhai, 1996) และจากผลการทดลองพบว่าที่พีเอช 7.0 และ 9.0 ความสามารถในการจับตะกั่วของไคโตแซนมีค่าเกือบสมบูรณ์ และไม่มีความแตกต่างกัน ($P<0.05$) ในทุกขนาดอนุภาคและทุกระดับความเข้มข้นของสารละลายตะกั่ว(ตารางที่ 7)

นอกจากนี้ยังพบว่าความเข้มข้นของโลหะและพีเอชเป็นปัจจัยที่แสดงผลร่วมกันต่อความสามารถในการจับตะกั่วของไคโตแซน (ตารางผนวกที่ 13) ซึ่งเป็นผลเนื่องจากความเข้มข้นของโลหะและพีเอชทำให้เกิดการเปลี่ยนแปลงทางเคมีของสารละลายโลหะ และเป็นปัจจัยหลักในการควบคุมการแพร่กระจายในของไมเลกฤทธิ์ (Saucedo, et al., 1992)

ไคโตแซนที่มีขนาดอนุภาคต่างกันมีความสามารถในการจับตะกั่วได้ต่างกัน โดยพบว่าไคโตแซนที่มีขนาดอนุภาคเล็กกว่า มีแนวโน้มความสามารถในการจับที่สูงกว่าไคโตแซนที่มีขนาดอนุภาคใหญ่กว่า ซึ่งเป็นไปในลักษณะเดียวกับการทดลองของ Jha และคณะ (1988) ที่พบว่าขนาดอนุภาคของไคโตแซนที่เล็กกว่าสามารถจับได้สูงกว่า เช่น

เดียวกับ Guibal และคณะ (1994) Milot และคณะ (1996) ทั้งนี้เนื่องจากขนาดอนุภาคที่เล็กกว่ามีพื้นที่ผิวที่มากกว่า และสามารถเข้าสู่สภาวะที่สมดุลได้เร็วกว่า (Muzzarelli, et al., 1970)

ตารางที่ 7 ผลของความเข้มข้นของสารละลายตะกั่ว ขนาดอนุภาค และพีเอชต่อความสามารถ

สามารถในการจับของไฮโดรเจน¹

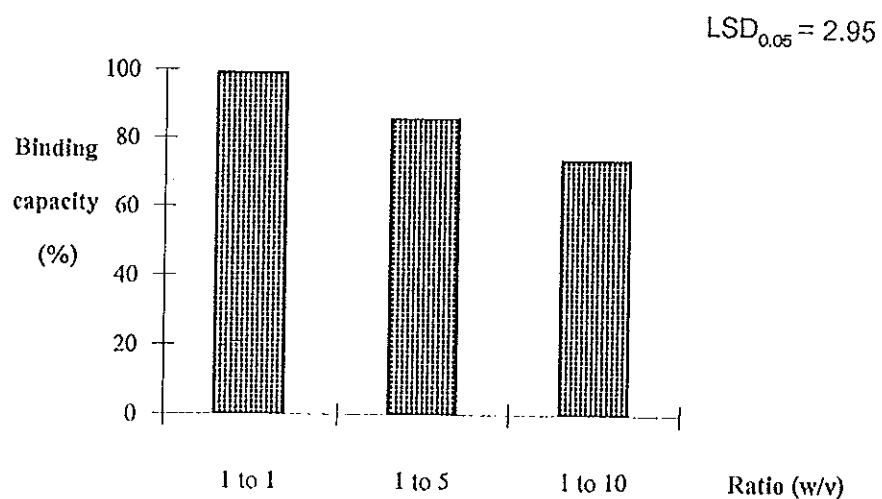
| ความเข้มข้นของ สารละลายตะกั่ว (พีพีเอ็ม) | ขนาดอนุภาค (มิลลิเมตร) | ความสามารถในการจับ (ร้อยละ)* | | |
|------------------------------------------------|---------------------------|------------------------------|-------------------------|---------------------------|
| | | พีเอช 5.0 | พีเอช 7.0 | พีเอช 9.0 |
| 1.988 | 0.4 -1.0 | 68.22±1.05 ^{a,b} | 99.00±1.00 ^b | 99.00±1.00 ^b |
| | 1.0 -1.4 | 67.19±1.50 ^{a,b} | 99.00±1.00 ^b | 96.66±0.26 ^{abc} |
| | 1.4 -2.0 | 65.97±1.01 ^a | 99.00±1.00 ^b | 96.96±0.47 ^{bc} |
| 3.009 | 0.4 -1.0 | 72.96±2.19 ^b | 98.46±0.18 ^b | 99.00±1.00 ^c |
| | 1.0 -1.4 | 71.31±1.00 ^{a,b} | 98.57±0.10 ^b | 99.00±1.00 ^c |
| | 1.4 -2.0 | 67.99±1.01 ^{a,b} | 98.07±0.22 ^b | 98.25±0.20 ^{bc} |
| 4.017 | 0.4 -1.0 | 85.87±1.32 ^c | 96.59±1.12 ^a | 95.49±0.15 ^{ab} |
| | 1.0 -1.4 | 88.33±2.16 ^c | 97.99±1.02 ^b | 94.87±1.16 ^a |
| | 1.4 -2.0 | 86.00±1.16 ^c | 98.88±0.36 ^b | 95.42±1.55 ^a |

*อัตราส่วนระหว่างไฮโดรเจนต่อสารละลายโลหะเท่ากับ 1:1(นน./ปริมาตร) ที่เวลา 24 ชั่วโมง

* ค่าเฉลี่ย± ค่าเบี่ยงเบนมาตรฐานจากการทดลอง 3 ชุด ที่มีอักษรเหมือนกันในแต่ละสมบกไม่มีความแตกต่างอย่างมีนัยสำคัญทางสถิติ ($P>0.05$)

ดังนั้นสภาวะที่เหมาะสมต่อความสามารถในการจับของไฮโดรเจน คือ การใช้ไฮโดรเจนที่มีขนาดอนุภาค 1.4 -2.0 มิลลิเมตร กับสารละลายตะกั่วเข้มข้น 4 พีพีเอ็ม ที่ระดับพีเอช 7.0 สภาวะดังกล่าวพบว่าความสามารถในการจับของไฮโดรเจนเกือบ

สมบูรณ์ดังนั้นในการศึกษาปัจจัยอื่นต่อมาก็ศึกษาเฉพาะผลของอัตราส่วนระหว่างไคโตแซนต่อสารละลายนะก้าวพบว่าเมื่ออัตราส่วนระหว่างไคโตแซนต่อสารละลายนะก้าวเพิ่มขึ้นความสามารถในการจับตะกั่วของไคโตแซนมีแนวโน้มลดลง ($P<0.05$) (รูปที่ 10) ความสามารถในการจับประมาณร้อยละ 99 เมื่ออัตราส่วนระหว่างไคโตแซนต่อสารละลายนะก้าวเท่ากับ 1 ต่อ 1 และค่าความสามารถในการจับของไคโตแซน ต่ำสุดประมาณร้อยละ 73.5 เมื่ออัตราส่วนระหว่างไคโตแซนต่อสารละลายนะก้าวเท่ากับ 1 ต่อ 10



รูปที่ 10 ผลของอัตราส่วนระหว่างไคโตแซนต่อสารละลายนะก้าวต่อความสามารถในการจับของไคโตแซน

ในการจับของไคโตแซน

ดังนั้นจึงสามารถสรุปสภาวะที่เหมาะสมต่อความสามารถในการจับตะกั่วของไคโตแซนในการทดลองนี้คือ การใช้ไคโตแซนที่มีระดับการกำจัดหนูอะซิติลร้อยละ 60.97 ขนาดอนุภาค 0.4 - 1.0 มิลลิเมตร กับสารละลายนะก้าวความเข้มข้น 4 พีพีเอ็มที่พีเอกซ์ 7.0 และอัตราส่วนระหว่างไคโตแซนต่อสารละลายนะก้าวเท่ากับ 1 ต่อ 1 โดยใช้เวลาในการจับ 24 ชั่วโมง

6. การประยุกต์ใช้โคตินและไคโตแซนเพื่อกำจัดโลหะหนักในตัวอย่างน้ำทึบจาก โรงงานแปรรูปสัตว์น้ำ

6.1 การศึกษาการกำจัดโครงเมี่ยมและตะกั่วด้วยโคตินและไคโตแซนโดยใช้คอลัมน์ เดียว

จากการศึกษาปัจจัยที่มีผลต่อความสามารถในการจับโลหะหนักของโคตินและไคโตแซนแบบง่าย (ข้อ 2 - 5) สามารถสรุปสภาวะที่เหมาะสมในการจับโครงเมี่ยมและตะกั่วของโคตินและไคโตแซน ดังตารางที่ 8 เมื่อพิจารณาผลของพีเอชและขนาดอนุภาคต่อความสามารถในการจับโครงเมี่ยมและตะกั่วของโคตินและไคโตแซน ซึ่งพบว่าขนาดอนุภาคของโคตินและไคโตแซน ($0.4 - 1.0$, $1.0 - 1.4$ และ $1.4 - 2.0$ มม.) มีผลต่อความสามารถในการจับต่อโลหะดังกล่าว โดยขนาดอนุภาคที่เล็กกว่ามีความสามารถในการจับที่สูงกว่า แต่ความสามารถในการจับตะกั่วด้วยขนาดอนุภาคที่ใหญ่กว่าอย่างคงมีความสามารถในการจับที่สูงและไม่แตกต่างกับขนาดอนุภาคขนาดเล็ก จึงเลือกขนาดอนุภาคที่ใหญ่ที่สุดมาทำการศึกษา ($1.4 - 2.0$ มม.) เพื่อไม่ต้องเสียเวลาในการลดขนาด จากผลดังกล่าวแสดงถึงค่า binding affinity ของโครงเมี่ยมต่ำกว่าตะกั่ว (ให้ขนาดอนุภาคที่เล็กกว่า) จากเหตุผลที่นองเดียวกันนี้ พบว่าที่พีเอช 7.0 เป็นระดับที่เพียงพอต่อความสามารถในการจับตะกั่ว แต่สำหรับโครงเมี่ยมความสามารถในการจับที่เหมาะสมคือ พีเอช 9.0 เนื่องจากที่พีเอชสูงความเข้มข้นของมุ่งอมิโนอิสระ (NH_2) เพิ่มขึ้นเมื่อเลคตรอนอิสระเพิ่มขึ้น ความสามารถในการจับจะเพิ่มขึ้น ในทางตรงกันข้ามที่พีเอชต่ำ หมู่อะมิโนอิสระเป็นบวก (NH_3^+) ไม่สามารถจับกับประจุบากของโลหะได้ ส่วนเวลาที่ใช้ในการจับพบว่าเวลา 24 ชั่วโมง ก็เพียงพอ (ซึ่งเป็นเวลาที่น้อยที่สุดในการทดลอง) และอัตราส่วนระหว่างโคตินและไคโตแซนต่อสารละลายโลหะทั้งสองคือ 1 ต่อ 1

ตารางที่ 8 สภาวะที่เหมาะสมในการจับคราเมี่ยมและตะกั่วของไคตินและไคโตแซนแบบบخار

| สภาวะ | ไคติน | | ไคโตแซน | |
|--------------------------------------|-----------|-----------|-----------|-----------|
| | คราเมี่ยม | ตะกั่ว | คราเมี่ยม | ตะกั่ว |
| ความเข้มข้น (พีพีเอ็ม) | 4.0 | 4.0 | 4.0 | 4.0 |
| พีเอช | 9.0 | 7.0 | 9.0 | 7.0 |
| ขนาดอนุภาค (มิลลิเมตร) | 0.4 - 1.0 | 1.4 - 2.0 | 0.4 - 1.0 | 1.4 - 2.0 |
| เวลา (ชั่วโมง) | 24 | 24 | 24 | 24 |
| อัตราสวนระหว่างพอลิเมอร์ | 1:1 | 1:1 | 1:1 | 1:1 |
| ต่อสารละลายโลหะ | | | | |
| ระดับการกำจัดหมู่อะซิติด (ร้อยละ) | - | - | 60.97 | 60.97 |

เมื่อทำการทดลองปล่อยให้ตัวอย่างสารละลายโลหะที่มีความเข้มข้นประมาณ 4 พีพีเอ็ม จำนวนห้าหมด 20 ลิตร ในหลักล่อนที่ฝาน colloidal เดียวที่บรรจุไคตินหรือไคโตแซนด้วยอัตราเร็วที่แตกต่างกันคือ 800 1000 และ 1200 มิลลิลิตร/ชั่วโมง แล้วนำตัวอย่างสารละลายที่ผ่าน colloidal มาวิเคราะห์ปริมาณโลหะที่เหลืออยู่ พบว่าอัตราการในหลักล่อนของสารละลายโลหะใน colloidal เดียวมีผลต่อความสามารถในการกำจัดโลหะของไคตินและไคโตแซน (ตารางที่ 9) ความสามารถในการกำจัดคราเมี่ยมและตะกั่วมีแนวโน้มลดลงเมื่ออัตราการในหลักล่อนของสารละลายผ่าน colloidal เร็วขึ้น โดยพบว่าคราเมี่ยมสามารถถูกกำจัดออกไปได้ร้อยละ 38.91 31.51 และ 31.30 เมื่อใช้ไคติน colloidal เดียวและอัตราการในหลักล่อน 800 1000 และ 1200 มิลลิลิตร/ชั่วโมง ตามลำดับ และร้อยละ 45.21 43.40 และ

38.16 เมื่อใช้โคโตแซนคอลัมน์เดี่ยว ตามลำดับ ในทำนองเดียวกันตะกั่วสามารถถูกกำจัดออกไปได้ร้อยละ 63.72 56.63 และ 53.79 เมื่อใช้โคตินคอลัมน์เดี่ยว และอัตราการไอล 800 1000 และ 1200 มิลลิลิตร/ชั่วโมง และร้อยละ 77.47 74.60 และ 67.86 เมื่อใช้โคโตแซนคอลัมน์เดี่ยว ตามลำดับ ทั้งนี้เนื่องจากเมื่ออัตราเร็วของการเคลื่อนที่เพิ่มขึ้นทำให้เวลาของการสัมผัสรของไอโอดอนโลหะกับโคตินหรือโคโตแซนลดลง ความสามารถในการจับจึงลดลง (Yang and Zall, 1984) ซึ่งสอดคล้องกับการทดลองของ Muzzarelli และคณะ (1980) ที่ศึกษาการจับไอโอดอนคิวบริกและไอโอดอนแมร์คิวบริกได้ด้วย chitosan-glucon ที่ผลิตจาก *Aspergillus niger* ในรูปแบบของคอลัมน์ โดยให้สารละลายโลหะไอลฝ่านในอัตราเร็วต่างๆ คือ 1.0 2.5 5.0 และ 10.0 มิลลิลิตร/นาที พบร่วมเมื่ออัตราเร็วการไอลของสารละลายโลหะเพิ่มขึ้นความสามารถในการจับมีค่าลดลง โดยที่อัตราเร็วของการไอลที่ต่ำที่สุดคือ 1.0 มิลลิลิตร/นาที มีความสามารถในการจับไอโอดอนโลหะสูงสุด ในทำนองเดียวกัน Yang และ Zall (1984) พบร่วมอัตราการไอลฝานคอลัมน์ในอัตราเร็วที่สูงกว่าสามารถตรวจพบไอโอดอนโลหะในสารละลายที่ฝานคอลัมน์ออกมากกว่า เมื่อเปรียบเทียบของสารละลายที่เคลื่อนที่ฝานเท่ากัน สอดคล้องกับการทดลองของ Muzzarelli และคณะ (1971) ที่ศึกษาการจับโลหะชนิดต่างๆ ที่เป็นปีอนในน้ำทะเลเดียวโคโตแซนที่บรรจุแบบคอลัมน์ พบร่วมที่อัตราเร็วของการเคลื่อนที่ 3 มิลลิลิตร/นาที มีความสามารถในการจับที่สูงกว่าที่อัตราเร็ว 10 มิลลิลิตร/นาที และสอดคล้องกับการทดลองของ Muzzarelli และ Rocchetti (1974) ซึ่งพบร่วมความสามารถในการกำจัดเมอร์คิวรี่ของโคโตแซนแบบคอลัมน์เมื่ออัตราเร็วของการไอลเพิ่มขึ้นความสามารถในการจับมีค่าลดลง

ดังนั้นในการคัดเลือกอัตราเร็วของการเคลื่อนที่ฝานคอลัมน์เดี่ยวที่เหมาะสมต่อความสามารถในการกำจัดโครงเมียมและตะกั่วของโคตินและโคโตแซน คือ 800 มิลลิลิตร/ชั่วโมง เพื่อใช้ในการศึกษาความสามารถในการกำจัดโลหะโครงเมียมและตะกั่วที่เป็นปีอนจากโรงงานอุตสาหกรรมปลาทูน่าgrave;ป่อง

เมื่อเปรียบเทียบความสามารถในการจับโลหะทั้งสองของโคตินและโคโตแซน พบร่วมโคโตแซนสามารถจับโลหะทั้งสองได้มากกว่าโคตินทั้งนี้เนื่องจากโคโตแซนมีหมู่อะมิโนอิสระ ซึ่งเป็นหมู่ที่มีความว่องไวต่อการจับโลหะ สอดคล้องกับการทดลองของ Elson และคณะ (1980) ที่ศึกษาการจับไอโอดอนอะเซนิคในน้ำดื่มด้วยโคตินและโคโตแซน โดยทำการ

ผสมไคติน และไคโตแซนในอัตราส่วนที่แตกต่างกันในลักษณะของ colloidal นี่อัตราส่วนระหว่างไคโตแซนต่อไคตินเพิ่มขึ้น ความสามารถในการจับเพิ่มขึ้นทั้งนี้เนื่องจากเหตุผลที่กล่าวด้าน

เมื่อเปรียบเทียบความสามารถในการกำจัดโลหะทั้งสองชนิดของไคตินและไคโตแซนใน colloidal เดียวพบว่าความสามารถในการกำจัดโครงเมียมต่ำกว่าตะกั่ว ซึ่งแสดงให้เห็นว่า โครงเมียมมีค่า binding affinity ต่อไคตินและไคโตแซนที่ต่ำกว่าตะกั่ว

ตารางที่ 9 ความสามารถในการกำจัดโครงเมียมและตะกั่วของไคตินและไคโตแซนโดยใช้ colloidal เดียว

| โลหะ | อัตราเริ่ว (มิลลิลิตร/ชั่วโมง) | ความสามารถในการกำจัด ¹ (ร้อยละ) | |
|-----------|-----------------------------------|--------------------------------------------|-------------------------|
| | | ไคติน | ไคโตแซน |
| โครงเมียม | 800 | 38.91±0.12 ^b | 45.21±1.59 ^b |
| | 1000 | 31.51±1.54 ^a | 43.4±0.80 ^b |
| | 1200 | 31.30±0.83 ^a | 38.16±2.00 ^a |
| ตะกั่ว | 800 | 63.72±0.66 ^e | 77.47±1.10 ^e |
| | 1000 | 56.53±0.78 ^d | 74.6±1.57 ^d |
| | 1200 | 53.79±1.06 ^c | 67.86±1.95 ^c |

¹ ค่าเฉลี่ย± ค่าเบี่ยงเบนมาตรฐานจากการทดลอง 3 ชั้้น ที่มีอักษรเหมือนกันในแต่ละ

สมบูรณ์เดียวกันจะไม่มีความแตกต่างมีนัยสำคัญทางสถิติ ($P > 0.05$)

6.2 การศึกษาการกำจัดโครงการเมี่ยมและตะกั่วของไคตินและไคโตแซนโดยใช้คอลัมน์คู่

สภาวะที่ใช้ในการทดลองเป็นสภาวะเดียวกับการทดลองข้อ 6.1 ผลการทดลองพบว่า ความสามารถในการกำจัดโครงการเมี่ยมและตะกั่วของไคตินและไคโตแซนโดยใช้คอลัมน์คู่ มีแนวโน้มที่เป็นไปในลักษณะเดียวกันกับการใช้คอลัมน์เดียวเมื่อพิจารณาอัตราเร็วที่เพิ่มขึ้นจาก 800 เป็น 1000 และ 1200 มิลลิลิตร/ชั่วโมง มีผลทำให้ความสามารถในการจับโลหะลดลง (ตารางที่ 10) โดยพบว่าโครงการเมี่ยมถูกกำจัดออกไปได้ร้อยละ 55.33 51.18 และ 50.45 เมื่อใช้ไคตินคอลัมน์คู่ และอัตราการไหล 800 1000 และ 1200 มิลลิลิตร/ชั่วโมง ตามลำดับ และร้อยละ 81.84 72.63 และ 63.81 เมื่อใช้ไคโตแซนคอลัมน์คู่ ในลักษณะเดียวกันตะกั่วสามารถถูกกำจัดออกไปได้ร้อยละ 90.26 86.07 และ 78.39 เมื่อใช้ไคตินคอลัมน์คู่และอัตราการไหล 800 1000 และ 1200 มิลลิลิตร/ชั่วโมง ตามลำดับ และร้อยละ 92.38 91.33 และ 78.39 เมื่อใช้ไคโตแซนคอลัมน์คู่

ดังนี้ในการคัดเลือกอัตราเร็วของการเคลื่อนที่ผ่านคอลัมน์คู่ที่เหมาะสมต่อความสามารถในการจับโครงการเมี่ยมและตะกั่วของไคตินและไคโตแซน คืออัตราเร็ว 800 มิลลิลิตร/ชั่วโมง เพื่อให้ในการศึกษาความสามารถในการจับโลหะโครงการเมี่ยมที่ป่นเปี้ยนจากโรงงานอุตสาหกรรมปลาทูน่ากระป่อง

เมื่อพิจารณาความสามารถในการกำจัดโครงการเมี่ยมของไคตินและไคโตแซน ระหว่างการใช้คอลัมน์เดียวและคอลัมน์คู่ พบร้าความสามารถสามารถในการกำจัดโครงการเมี่ยมและตะกั่วของคอลัมน์คู่สูงกว่าคอลัมน์เดียวประมาณ 1.5 ถึง 2 เท่า เท่าทั้งนี้อาจเนื่องจากการเพิ่มจำนวนคอลัมน์ เป็นการเพิ่มเวลาและปริมาณการสัมผัสกับไคติน หรือไคโตแซนเพิ่มขึ้น อีกทั้งเมื่อจำนวนคอลัมน์เพิ่มขึ้นเป็นการเพิ่มปริมาณไคโตแซนและเป็นการเพิ่มปริมาณหมุนเวียนในอิสระนั้นเอง เมื่อเปรียบเทียบความสามารถในการกำจัดโลหะทั้งสองจะได้สูงกว่าไคติน เนื่องจากเหตุผลที่กล่าวตอนต้น

เมื่อเปรียบเทียบความสามารถในการกำจัดโครงเมี่ยมและตะกั่วของไคตินและไคโตแซนใน colloidal ให้ผลลักษณะเดียวกับ colloidal เดียวคือ โครงเมี่ยมถูกกำจัดออกไปได้น้อยกว่าตะกั่วในทุกอัตราเร็วที่ทำการศึกษา ซึ่งแสดงว่าโครงเมี่ยม binding affinity ต่ำกว่าตะกั่ว

ตารางที่ 10 ความสามารถในการกำจัดโครงเมี่ยมและตะกั่วของไคตินและไคโตแซนโดยใช้ colloidal

colloidal

| โลหะ | อัตราเร็ว (มิลลิลิตร/ชั่วโมง) | ความสามารถในการกำจัด ¹ (ร้อยละ) | |
|------------|----------------------------------|--------------------------------------------|-------------------------|
| | | ไคติน | ไคโตแซน |
| โครงเมี่ยม | 800 | 55.33±3.16 ^b | 81.74±0.82 ^d |
| | 1000 | 51.18±0.77 ^a | 72.69±0.73 ^b |
| | 1200 | 50.45±2.28 ^a | 63.81±0.55 ^a |
| ตะกั่ว | 800 | 90.26±1.05 ^c | 92.38±0.31 ^e |
| | 1000 | 86.07±0.52 ^d | 91.33±0.78 ^e |
| | 1200 | 78.39±1.16 ^c | 78.39±1.16 ^c |

¹ ค่าเฉลี่ย± ค่าเบี่ยงเบนมาตรฐานจากการทดลอง 3 ชุด ที่มีอักษรเหมือนกันในแต่ละสมการไม่มีความแตกต่างอย่างมีนัยสำคัญทางสถิติ ($P > 0.05$)

6.3 การศึกษาการกำจัดโครงเมี่ยมและตะกั่วในน้ำทึ้งจากโรงงานปลาทูน่ากระปือของ ไคตินและไคโตแซนโดยใช้คอลัมน์เดี่ยวและคอลัมน์คู่

ตัวอย่างน้ำทึ้งจากโรงงานปลาทูน่ากระปือ ซึ่งเป็นปอสุดท้ายก่อนปล่อยออกสู่แหล่งน้ำธรรมชาติ มีองค์ประกอบที่สำคัญดังแสดงในตารางที่ 11 โดยปริมาณโครงเมี่ยมที่ปนเปื้อนประมาณ 0.35 พีพีเอ็ม และตะกั่วไม่พบตะกั่ว จึงได้เติมโลหะทังสองลงไปในน้ำทึ้งเพื่อให้ได้ความเข้มข้นประมาณ 4 พีพีเอ็ม หลังจากนั้นจึงปล่อยให้ผ่านคอลัมน์ของไคตินและไคโตแซนทั้งชนิดคอลัมน์เดี่ยวและคอลัมน์คู่ โดยใช้สภาวะจากการทดลองในข้อ 2 - 5 และอัตราเริ่วที่เหมาะสมจากข้อ 6.1 และ 6.2 ผลการทดลองพบว่าเมื่อผ่านน้ำทึ้งที่ที่มีโครงเมี่ยมปนเปื้อนอยู่ 4.09 พีพีเอ็ม ในคอลัมน์ที่บรรจุไคตินแบบคอลัมน์เดี่ยวและคอลัมน์คู่ พบร่วงโครงเมี่ยมถูกกำจัดออกไปได้ร้อยละ 33.25 และร้อยละ 52.07 ตามลำดับ และถูกกำจัดออกไปได้ร้อยละ 43.27 และร้อยละ 70.17 เมื่อผ่านน้ำทึ้งในคอลัมน์ที่บรรจุไคโตแซน ตามลำดับ ในทำงดเดียวกันความสามารถในการกำจัดตะกั่วที่ปนเปื้อนอยู่ในน้ำทึ้ง 4.12 พีพีเอ็ม ในคอลัมน์ที่บรรจุไคตินแบบคอลัมน์เดี่ยวและคอลัมน์คู่ สามารถกำจัดตะกั่วออกไปได้ร้อยละ 56.79 และร้อยละ 81.79 ตามลำดับ และถูกกำจัดออกไปได้ร้อยละ 71.60 และ 86.96 เมื่อผ่านน้ำทึ้งในคอลัมน์ที่บรรจุไคโตแซน (ตารางที่ 11)

ความสามารถในการกำจัดโครงเมี่ยมและตะกั่วของไคตินและไคโตแซนมีค่าเพิ่มขึ้น เมื่อจำนวนคอลัมน์เพิ่มขึ้น โดยตรวจพบปริมาณโลหะทังสองในน้ำทึ้งที่ผ่านคอลัมน์คู่น้อยกว่าคอลัมน์เดี่ยว เมื่อพิจารณาความสามารถในการจับโครงเมี่ยมและตะกั่วของไคตินและไคโตแซนทั้งแบบคอลัมน์คู่และแบบคอลัมน์เดี่ยวในน้ำทึ้งจากโรงงานอุตสาหกรรม พบร่วงมีประสิทธิภาพในการกำจัดต่ำกว่าสารละลายที่เตรียมขึ้น ทั้งนี้เนื่องจากการปนเปื้อนของสารประกอบอื่นในน้ำทึ้ง โดยพบว่าในน้ำทึ้งมีของแข็งทั้งหมดปนเปื้อนอยู่ 1.73 - 1.78 มิลลิกรัม/ลิตร แคลเซียม แมกนีเซียม และเมื่อวัดค่าซีโอดี มีค่า 172 มิลลิกรัม/ลิตร ซึ่งสิงปนเปื้อนเหล่านี้อาจมีผลต่อความสามารถในการจับของไคตินและไคโตแซนต่อโลหะทังสอง

การผ่านน้ำทึ้งเข้าสู่คอลัมน์ไคตินและไคโตแซนทั้งคอลัมน์เดี่ยวและคอลัมน์คู่ พบร่วงสามารถลดค่าซีโอดีจาก 172 เหลือ 118 และ 96 มิลลิกรัม/ลิตร เมื่อใช้ไคตินคอลัมน์

เดียวและคงล้มน้ำคู่ ตามลำดับ ในท่านองเดียวกันลดลงเหลือ 105 และ 75.5 มิลลิกรัม/ลิตร เมื่อใช้โคโนเซนแบบคงล้มน้ำเดียวและคงล้มน้ำคู่ ตามลำดับ ซึ่งค่าที่เหลือมีค่าต่ำกว่ามาตรฐานน้ำทิ้งกำหนดโดยกระทรวงอุตสาหกรรม (ซีไอดี 'ไม่เกิน 120 มิลลิกรัม/ลิตร)

ตารางที่ 11 องค์ประกอบเบิร์มตันและความสามารถในการกำจัดโคโรเมียมและตะกั่วในน้ำทึ้งจากโรงงานปลาทูน่ากระป้องของไคตินและไคโตแซน โดยใช้คลอลัมน์เดียวนและคลอลัมน์คู่

| องค์ประกอบ | เริ่มต้น | ปริมาณที่พบภายหลังการผ่านคลอลัมน์ (พีพีเอ็ม) | | | |
|--------------------------|-----------|----------------------------------------------|--------------------------|--------------------------|--------------------------|
| | | ไคติน | | ไคโตแซน | |
| | | คลอลัมน์เดียวน | คลอลัมน์คู่ | คลอลัมน์เดียวน | คลอลัมน์คู่ |
| โคโรเมียม (พีพีเอ็ม) | 4.09 | $2.73 \pm 0.11(32.25)^1$ | $1.96 \pm 0.03(52.07)$ | $2.32 \pm 0.09(43.27)$ | $1.22 \pm 0.10(70.17)$ |
| ตะกั่ว (พีพีเอ็ม) | 4.12 | $1.78 \pm 0.11(56.79)$ | $0.75 \pm 0.06(81.79)$ | $1.17 \pm 0.08(71.60)$ | $0.54 \pm 0.08(86.96)$ |
| ซีโอดี (mg./ลิตร) | 172 | $118 \pm 3(31.39)$ | $96 \pm 3 (44.18)$ | $105 \pm 5(38.95)$ | $75.5 \pm 4(56.27)$ |
| ชงแข็งทั้งหมด (mg./ลิตร) | 1.78 | $1.30 \pm 0.18(26.96)$ | $1.12 \pm 0.12 (37.07)$ | $1.24 \pm 0.09(30.33)$ | $0.95 \pm 0.11 (46.26)$ |
| ความชุ่น (OD650) | 0.075 | $0.020 \pm 0.011(77.33)$ | $0.012 \pm 0.005(84.00)$ | $0.020 \pm 0.013(73.33)$ | $0.012 \pm 0.010(84.00)$ |
| แคลเซียม (พีพีเอ็ม) | 8.96 | - | - | - | - |
| แมกนีเซียม (พีพีเอ็ม) | 7.39 | - | - | - | - |
| พีเอช | 6.5 - 6.7 | | | | |

หมายเหตุ ¹ ความสามารถในการกำจัด (ร้อยละ)

บทที่ 4

สรุป

จากการศึกษาปัจจัยที่มีผลต่อความสามารถในการจับครอเมี่ยมและตะกั่วของไคตินและไคโตแซน ประกอบด้วย ขนาดอนุภาคของไคติน ความเข้มข้นของสารละลายโลหะ พื้อเช ขัตราชส่วนระหว่างไคตินต่อสารละลายโลหะ และเวลา พบร่วมกัน พบว่าความสามารถในการจับสูงสุดเมื่อพื้อเชของสารละลายเท่ากับ 9.0 โลหะที่มีความเข้มข้นสูงกว่าและเวลาในการสัมผัสที่สูงกว่ามีความสามารถในการจับที่สูงกว่า ความสามารถในการจับลดลงเมื่อเมื่อขนาดอนุภาคและขัตราชส่วนระหว่างไคตินหรือไคโตแซนต่อสารละลายโลหะเพิ่มขึ้น นอกจากนี้พบว่าไคโตแซนที่มีระดับการกำจัดหมู่อะซิติลที่สูงกว่า มีความสามารถในการจับโลหะที่สูงกว่าแต่ไม่มีความแตกต่างอย่างมีนัยสำคัญทางสถิติ ($P>0.05$)

ความสามารถในการกำจัดครอเมี่ยมและตะกั่วในรูปแบบ colloidal เดียวและ colloidal เคี่ยเป็นไปในลักษณะเดียวกันคือ ความสามารถในการกำจัดลดลงเมื่อขัตราชเริ่มของการเคลื่อนที่ผ่าน colloidal สูงขึ้นจาก 800 1000 และ 1200 มิลลิลิตร/ชั่วโมง โดยพบว่า ครอเมี่ยมสามารถถูกกำจัดออกไปได้ประมาณร้อยละ 39 32 และ 31 เมื่อใช้ไคติน colloidal เดียวและขัตราชการให้ 800 1000 และ 1200 มิลลิลิตร/ชั่วโมง ตามลำดับ และประมาณร้อยละ 45 43 และ 38 เมื่อใช้ไคโตแซน colloidal เดียว ตามลำดับ ในทำนองเดียวกัน ตะกั่วสามารถถูกกำจัดออกไปได้ประมาณร้อยละ 64 57 และ 54 เมื่อใช้ไคติน colloidal เดียวและขัตราชการให้ 800 1000 และ 1200 มิลลิลิตร/ชั่วโมง และประมาณร้อยละ 77 75 และ 68 เมื่อใช้ไคโตแซน colloidal เดียว ตามลำดับ ความสามารถในการกำจัด ครอเมี่ยมและตะกั่วของไคตินและไคโตแซนในลักษณะ colloidal คือเป็นไปในลักษณะเดียวกับ colloidal เดียว โดยพบว่าครอเมี่ยมถูกกำจัดออกไปได้ประมาณร้อยละ 55 51 และ 50 เมื่อใช้ไคติน colloidal เคี่ย และขัตราชการให้ 800 1000 และ 1200 มิลลิลิตร/ชั่วโมง ตามลำดับ และประมาณร้อยละ 82 73 และ 64 ตามลำดับ เมื่อใช้ไคโตแซน colloidal เคี่ย ในลักษณะเดียวกันตะกั่วสามารถถูกกำจัดออกไปได้ประมาณร้อยละ 90 86 และ 78 เมื่อใช้ไคติน colloidal เคี่ย และขัตราชการให้ 800 1000 และ 1200 มิลลิลิตร/ชั่วโมง ตามลำดับ และประมาณร้อยละ 92 91 และ 78 เมื่อใช้ไคโตแซน colloidal เคี่ย

การฝ่าน้ำทึ้งเข้าสู่คอลัมน์ไคตินและไคโตแซนทั้งคอลัมน์เดียวและคอลัมน์คู่สามารถลดค่า ซีโอดี ของเยิ่งทั้งหมด และความชื้น พบร่วมกับความสามารถลดค่า ซีโอดีจาก 172 เหลือ 118 และ 96 มิลลิกรัม/ลิตร เมื่อใช้ไคตินแบบคอลัมน์เดียวและคอลัมน์คู่ ตามลำดับ ในทำงานองเดียว กันลดลงเหลือ 105 และ 75.5 มิลลิกรัม/ลิตร เมื่อใช้ไคโตแซนแบบคอลัมน์เดียวและคอลัมน์คู่ ตามลำดับ

ข้อเสนอแนะ

1. ในกรณีนำไคตินและไคโตแซนไปใช้กำจัดโลหะที่ปนเปื้อนในน้ำทึ้งจากโรงงานอุตสาหกรรมจำเป็นต้องพิจารณาถึง ความสามารถในการกำจัด การนำกลับมาใช้ใหม่ และค่าใช้จ่ายเป็นหลัก
2. การใช้ไคตินหรือไคโตแซนในรูปของสารละลายจับโลหะป่าจะให้ผลความสามารถในการจับที่ดีกว่าการใช้ในรูปของผลึก

เอกสารอ้างอิง

ชิดชอบ อิริยะ, จุฬาลักษณ์ จาธุนช และกัญจนารัตน์ ทวีสุข. 2537. การผลิต Carboxymethyl-chitin เพื่อใช้ประโยชน์ในอุตสาหกรรมอาหาร. ว. เกษตรศาสตร์. 28 (2) : 273-282.

ชูส่ง สรุวรรณศรี. 2526. พิษของโลหะและสารประกอบโลหะ. วิทยาศาสตร์. 37 (12) : 759-766.

ธรรมรัตน์ ธรรมเดชศักดิ์ และ แรมกัญจน์ รักษาพราหมณ์. 2535. การตกตะกอนสารประกอบสารอินทรีย์จากน้ำทึบลงงานแปรรูปสัตว์น้ำด้วยไคโตแซน. ปัจญาพิเศษ ภาควิชาอุตสาหกรรมเกษตร คณะทรัพยากรธรรมชาติ มหาวิทยาลัยสงขลานครินทร์ หาดใหญ่. สงขลา. 88 หน้า.

ธีระพล ประมวลกิจฯ. 2534. อุตสาหกรรมการผลิตไคตินและไคโตแซนจากเปลือกถั่ง. อุตสาหกรรมสาร. 12 (34) : 3-7.

ไพรัตน์ โสภโณคร, สุทธิวนัน พेमจกุล และ วิคเนตร พระพุทธ. 2536. การใช้ไคโตแซนเป็นสารเคลือบผิวเพื่อยืดอายุการเก็บรักษามะนาว. ว.สงขลานครินทร์. 15(3) :259-265.

ไพบูล เหล่าสรวณ. 2531. สถิติสำหรับการวิจัยทางเกษตร. คณะทรัพยากรธรรมชาติ. มหาวิทยาลัยสงขลานครินทร์ หาดใหญ่ สงขลา 278 หน้า.

วงศ์พันธ์ ลิมปานันย์, นิตยา มหาพฤ และ ธีระ เกรอต. 2525. มลภาวะอากาศ. จุฬาลงกรณ์มหาวิทยาลัย. 293 หน้า.

วิสูตร จະวงศิต และ ลูกจันทร์ ภาครชพันธุ์. 2533. ไคโตแซนโพลิเมอร์ในภูมิภาคของเหลือทิ้ง
อุตสาหกรรมสัตว์น้ำ. ว. อุตสาหกรรมเกษตร 1 (1) : 4-8.

ศิริพงษ์ เกื้อมิตร. 2536. การปรับปรุงความใสของน้ำผลไม้ด้วยไคโตแซน. ปัญหาพิเศษ
ภาควิชาอุตสาหกรรมเกษตร คณะทรัพยากรธรรมชาติ มหาวิทยาลัยสงขลา
นครินทร์ หาดใหญ่. สงขลา. 42 หน้า

สนั่น แซ่แจง . 2537. การยึดอายุการเก็บรักษาผลไม้ โดยการเคลือบผิวด้วย ไคโตแซนชนิด
ละลายน้ำ. ปัญหาพิเศษ ภาควิชาเทคโนโลยีอาหาร คณะอุตสาหกรรมเกษตร
มหาวิทยาลัย สงขลานครินทร์ หาดใหญ่. สงขลา. 41 หน้า.

สุทธิวัฒน์ เปณุจกุล และ ไพรัตน์ โสภโณดร. 2533. การผลิตไคโตแซนจากเปลือกกุ้งแซ
บ้าย. ว. สงขลานครินทร์ 12(4) : 439-443.

Anderson, C.G., de Pablo, N. and Romo, C.R. 1978. Antarctic krill (*Euphausies superba*) as a source of chitin and chitosan. In Proceeding of the First International Conference on Chitin/Chitosan. Muzzarelli, R.A.A. and Pariser, E.R. (eds). MIT. Sea Grant Program : Cambridge. MA; P 54-63.

Annachhatre, A.P, Win, N.N. and Chandkrachang, S. 1996. Adsorption of copper on chitosan. In Proceeding of the Second Asia Pacific Symposium on Chitin and Chitosan. : Environmental Friendly and Versatile Biomaterials.(ed. Steven, W.J., Rao, M.S. and Chandkrachang, S.). Asian Institute of Technology : Bangkok ; PP. 169-173.

Anonymous. 1989. Chitosan makes the grade. Manufacture Chemist. 60 (10) : 31-35.

APHA, AWWA and WPCF. 1985 . Standard Methods for the Examination of Water and Waste water. New York, APHA Inc.

Ashford , N.A. , Hattis, D. and Murray , A.E. 1977. Industrial prospect for chitin and protein from shellfish waste : MIT. Sea Grant Report MISG. 77-3. Report MIT : Cambridge, MA. Cited by No, H.K. , Meyers, S.P. and Lee, K.S. 1989. Isolation and characterization of chitin from crawfish shell waste. J. Agri. Food. Chem : 37 : 575-578.

Austin , P.R. , Brine , C.J. , Castle , J.E. and Zikakis , J.P. 1981. Chitin : New facets of research. Science 212 : 749.

Averbach , B.L. 1978. Film - forming capacity of chitosan. In Proceeding of the First International Conference on Chitin/Chitosan. Muzzarelli, R.A.A. and Pariser, E.R. (eds). MIT. Sea Grant Program : Cambridge. MA; P 199 - 205.

Ballasa , L.L. and Prudden , J.F. 1978. Application of chitin and chitosan in wound healing acceleration.In Proceeding of the First International Conference on Chitin/Chitosan. Muzzarelli, R.A.A. and Pariser, E.R. (eds). MIT. Sea Grant Program : Cambridge. MA; P 296-305.

Base, C.F.Jr and Mesmer, R.E. 1976. Les Actinides-Uranium : Hydrolysis of Cation. New York, U.S.A., John Wiley and sons. P 174 -182.

Benjakul , S. and Sopanodora , P. 1993. Chitosan production from carapace and shell of Black Tiger shrimp (*Penaeus monodon*) . ASEAN Food J. 8(4) : 145-148.

Bough , W.A. 1975. Coagulation with chitosn an aid to recovery of the by products from egg breaking wastes. Poultry Sci. 54 : 1904-1912.

Bough , W.A. and Landes , D.R. 1976. Recovery and nutritional evaluation of protienous solid seperated from whey by cogulation with chitosan. J. Dairy. Sci. 59 (11) : 1874-1880.

Bough , W.A. , Salter , W.L. Wu, A.C.M. and Perkins , B.E. 1978. Influence of manufacturing variables on the characteristics and molecular- weight distribution of chitosan products . Biotech. Bioen. 20 : 1931-1943.

Brzeski , L.L. and Prudden , J.F. 1987. Chitin and chitosan- putting waste to good use. INFOFISH International 5 : 31-36.

Conrad , J. 1965. Chitin In Encycobedia of Polymer Science and Technology : Plastic Rubber Fiber. Vol. 3. Mark, H.F. , Gaylord, N.G. and Bikales, N.M. (eds). USA, John Willey Sons , Inc.

✓ Davies, D.H., Elson, C.M., Hayes, E.R. 1989. Carboxymethylchitosan, a new water soluble chitin derivitives, In : Chitin and Chitosan, Source, Chemistry, Biochemistry, Physical Properties and Applications. Skjak-Braek, G., Anthosen, T. and Sanford, P. (eds). London and New York, Elsevier Applied Science,, P. 467-475.

Deans, J.R. and Dixon, B.G. 1992. Uptake of Pb²⁺ and Cu²⁺by novel biopolymers. Water Resource. 26(4) : 469-472.

Domszy, J.G and Roberts, G.A.F. 1985. Evaluation of Infrared Spectroscopic Techniques for Analysing Chitosan. Makromolekulere Chemie. 186 : 1671-1678.

El Ghaouth, A. , Arul, J. , Ponnampalam, R. and Boulet, M. 1991. Chitosan coating effect on storability and quality of fresh strawberries. J. Food Sci. 56(6) : 1618-1620.

Elson, C.M., Davies, D.H. and Hayes, E.R. 1980. Removal of arsenic from contaminated drinking water by a chitosan/chitin mixture. Water Resource. 14 : 1307-1311.

Filar, L.J. and Wirick, M.G. 1978. Bulk solution properties of chitosan. In Proceeding of the First International Conference on Chitin/Chitosan. Muzzarelli, R.A.A. and Pariser, E.R. (eds). MIT. Sea Grant Program : Cambridge. MA; P 296-305.

- Guibal, E., Roulph, C. and Le cloirec, P. 1992. Uranium biosorption by filamentous fungus *Mucor miehi* : pH effect on mechanisms and performance of uptake. Water Resource. 26 : 1139-1145.
- Guibal, E., Jansson-charrier, M., Saucedo, I. and Le cloice, P. 1995. Enhancement of metal ion sorption performances of chitosan : effect of the structure on the diffusion properties. Langmuir. 11(2) : 591-598. cited by Jansson-Charrier, M., Guibal, E., Roussy, J., Delaghe, B. and Lecloirec, P. 1996. Vanadium (IV) sorption by chitosan : kinetics and equilibrium. Water Resource. 30(2) : 465-475.
- Guibal, E. Saucedo, I., Jasson-Charrier, M. and Delanghe, B. 1994. Uranium and vanadium sorption bu chitosan and derivatives. Water Sci. Tech. 30(9) : 183-190.
- Hirano, S. 1989. Production and application of chitin and chitosan in japan. In : Chitin and Chitosan Source, Chemistry, Biochemistry, Physical Properties and Applications. Skjak- Break, G., Anthosen, T. and Sandford, P. (eds). London and New York ,Elsevier Applied Science . P 37-44.
- Hirano, S. and Akiyama, Y. 1995. Absence of hypocholesterolaenic action of chitosan in high-serum-cholesterol rabbit. J. Sci. Food Agric. 69 : 91-94.
- Holland, C.R. and Shabaz, M.I.A. 1985. The utilisation of chitosan in mussel protein recovery. Irish J. of Food Sci. and Tech. 9 : 107-114.

✓ Hutchine, G.P. and Sanford, P.A. 1987. Chitosan- A natural, cationic biopolymer : commercial applications In : Industrial polysaccharide; genetic engineering, structure, property relations and applications. Yalpani, M. (eds). London, Netherland ,Elsevier Applied Science. P. 363-376.

Hwang, D.C. and Damodaran, S. 1995. Selective precipitation and removal of lipids from cheese whey using chitosan. J. Agric. Food Chem. 43 : 33 - 37.

Imeri, A.G. and Knorr, D. 1988. Effects on yield and composition data of carrot and apple juice. J. Food Sci. 53(6) : 1707-1709.

Jansson-Charrier, M., Guibal, E., Roussy, J., Delaghe, B. and Lecioirec, P. 1996. Vanadium (IV) sorption by chitosan : kinetics and equilibrium. Water. Resource. 30(2) : 465-475.

Jha, I.N. , Iyengar, L. and Prabhakara Rao, A.V.S. 1988. Removal of cadmium using chitosan. J. of Environ. Eng. 114(4) : 965-974.

✓ Jun, H.K. , Kim, J.S. , No, H.K. and Meyers, S.P. 1994. Chitosan as a coagulant for recovery of proteinaceous solids from tofu wastewater. J. Agri. Food Chem. 42 : 1834-1838.

Kienzle-Sterzer, C. , Rodiguez-sanchez, D. and Rha, C. 1982. Dilute solution behavior of a cationic polyelectrolyte. J. of Appl. Poly. Sci. 27: 4467- 4470.

Knorr, D. 1982. Functional properties of chitin and chitosan. J. Food Sci. 47 : 593-595.

Knorr, D. 1984. Use of chitinous polymer in food. Food Technol. 38 : 85-97.

Kurita, K, Koyama, Y. and Taniguchi, A. 1986. Study on chitin. IX crosslinking of water soluble chitin and evaluation of the products as adsorbents for cupric ion. J. of Appl. Poly. Sci. 31 : 1169-1176.

Madhavan, P. and Ramachandranair, K.G. 1974. Utilization of prawn waste - isolation of chitin and its vonversion to chitosan. Fish. Technol. 11(1) : 50-53.

Maezaki, Y. , Tsuji, K . , Nagawa, Y. , Kawai, Y. , Akimoto, M. , Tsugita, T. , Takekawa, W. , Terada, A. , Hara, H. and Mitsuoka, T . 1993. Hypcholesterolenic effect of chitosan in adult males. Biosci. Biotech. Biochem. 57 (9) : 1439-1444.

Maruca, R . 1982. Interaction of heavy metal with chitin and chitosan III Chromium. J. of Appl. Poly.Sci. 27 : 4827-4837.

Milot, C., Gillet, D., Contandriopoulos, Y. and Guibal, E. 1996. Chitosan ? a promising metal ion sorbent influenced by diffusion properties. In Proceeding of the Second Asia Pacific Symposium on Chitin and Chitosan : Enviromental Friendly and Versatile Biomaterials.(ed. Steven, W.J., Rao, M.S. and Chandkrachang, S.). Asian Institute of Technology : Bangkok ; PP. 140-147.

Miya, M., Iwamoto, R., Yoshikawa, S. and Mima, S. 1980. I.R. spectroscopic determination of CONH content in hightly deacetylated chitosan. International J. of Biol. Macro. 2 : 323-324.

Mazzarelli, R.A.A. 1971. Chitosan for the collection from seawater of naturally occuring zinc, cadmium, lead and copper. Talanta. 18 : 853-858.

Muzarelli, R.A.A. 1977. Chitin . Pergamon Press Ltd. New York. 309pp.

Mazzarelli, R.A.A. 1983. Chitin and its derivatives : New trends of applied research. Carbohydrate Poly. 3 : 53-73.

Mazzarelli, R.A.A. and Rocchetti, R. 1974. The use of chitosan column for the removal of mercury from waters. J. Chromatog. 96 : 115-121.

Mazzarelli, R.A.A. and Tubertini, O. 1969. Chitin and chitosan and chromatographic supports and adsorbents for collection of metal ions from organic and aqueous solution and sea water. Talanta, 16 : 1571 - 1577.

Mazzarelli, R.A.A., Tafani, F., Scarpini, G. and Tucci, E. 1980. Removal and recovery of cupric and mercuric ions from solution using chitosan-glucan from *Aspergillus niger*. J. Appl. Biochem. 2 : 54-56.

No, H.K. , Meyer, S.P. and Lee, K.S. 1989. Isolation and characterization of chitin from crawfish shell waste. *J. Agri. Food Chem.* 37 : 575-579.

Onsoyen, E. and Skaugrud, O. 1990. Metal recovery using chitosan. *J. Chem. Tech. Biotechnol.* 49 : 395-404.

Peniche-Covas, C., Alvarez, L.W. and Arguelle-Monal. 1992. The adsorption of mercuric ions by chitosan. *J. of Appl. Poly. Sci.* 46 : 1147-1150.

Piron, E., Accomintti, M. and Domard, A. 1996. Kinetics studies of the interactions between chitosan and uranyl ion. Effect of chitosan structure and hydration. In Proceeding of the Second Asia Pacific Symposium on Chitin and Chitosan : Environmental Friendly and Versatile Biomaterials.(ed. Steven, W.J., Rao, M.S. and Chandkrachang, S.). Asian Institute of Technology : Bangkok ; PP. 126-132.

Qurashi, M.T., Blair, H.S. and Allen. 1992. Studies on modification chitosan membrane. II. Dialysis of low molecular weight metabolites. *J. of Appl. Poly. Sci.* 46 : 263 -269.

Ramachandran - Nair, K. and Madhavan, P. 1982. Metal binding property of chitosan from different source. In Proceeding of the Second International Conference on Chitin/Chitosan. Hirano, S. and Tokura, S. (eds) Sapporo Japan ; P. 187-190.

Rutherford, F.A. and Austin, P.R. 1978. Marine chitin properties and solvent In Proceeding of the First International Conference on Chitin/Chitosan. Muzzarelli, R.A.A. and Pariser, E.R. (eds). MIT. Sea Grant Program Cambridge, MA; P 182- 192.

Sakaguchi, T., Horikoshi, T. and Nakajima,A. 1981. Adsorption of uranium by chitin phosphate and chitosan phosphate. Agri. Biol. Chem . 45(10) : 2191-2195.

Saucedo, I., Guibal, E., Roulph, CH. and Leclairec, P. 1992. Sorption of uranyl ions by modified chitosan : kinetic and equilibrium studies. Environ. Technol. 13 : 1101-1115.

Senstad, C. and Almas, K.A. 1985. Use of chitosan in the recovery of protein from shrimp processing wastewater. In Chitin in nature and technology. Muzzarelli, R.A.A., Jeuniax, C. and Gooday, G.W. (eds). New York and London, Plenum Press; P. 568-570.

Sigh, D.K. and Ray, A.R. 1994. Graft copolymerization of 2 - hydroxyethylmethacrylate onto chitosan films and their blood compatibility. J.of Appl. Poly. Sci.53 : 1115 - 1121.

Simson, K. 1978. The recovery of protein and pigments from shrimps and crab meal and their use in salmonid pigmentation. In Proceeding of the First International Conference on Chitin/Chitosan. Muzzarelli, R.A.A. and Pariser, E.R. (eds). MIT. Sea Grant Program Cambridge, MA; P 253-262.

Sornprasit, P. 1997. Characterization of chitin and chitosan from squid pens .

Maseter of Science Thesis in Biological Sciences. Princs of Songkla university.102 pp.

Soto- Peralta, N.V. , Muller, H. and Knorr, D. 1989. A research note : Effect of chitosan treatments on the clarify and color of apple juice. J. Food Sci. 54(2) : 459-496.

Tokura, S. , Nishi, N. , Nishimura, S. Ikeuchi, Y. Azuma, I. and Nishimura, K.1984. Physiochemical biochemical and biological properties of chitin derivatives. In J.P. Zikakis (eds). Chitin, Chitosan and Related Enzymes Academic Press, Inc. Orlando,Florida. P 303-325.

Townsley, C.C., Ross, I.S. and Atkin, A.S. 1986. Fundamental and applied biohydrometallurgy. Lawrence, R.W., Bramon, R.M.R. and Ebner, H.G. (eds). Amsterdam, Elsevier Applied Science.

Trezos, M. 1983. The role of chitin in uranium adsorption by *R. arrhizus* . Biotechnol. Bioeng. 23 : 2025 - 2040.

Trezos, M. and Volsky, B. 1982. The mechanism of uranium biosorption by Rhizopus arrhizus. Biotechnol. and Bioeng. 24 : 385-401.

Weber, W.J. 1972. Adsorption in : Physio-Chemical Process for Water Quality Control. New York, John Wiley and sons . U.S.A. P 199-259.

Weber, W.J. and Maris, J.C. 1962. Advance in water pollution research : removal of biologically- resistance pollutants from waste waters by adsorption. In Proceeding International Conference on Water Pollution Symposium. Vol. 2 Pergamon. Press. P 231-266.

Wu, A.C.M. and Bough, W.A. 1978. A study- of variations in the chitosan manufacturing process in relation to molecular weight distribution chemical characteristics and waste treatment effectiveness. In Proceeding of the First International Conference on Chitin/Chitosan. Muzzarelli, R.A.A. and Pariser, E.R. (eds). MIT. Sea Grant Program Cambridge. MA; P 88-102.

Xian, S.D and Junhui, J. 1996. Studies on the adsorption behavior and mechanism of chitosan on metal ions.In Proceeding of the Second Asia Pacific Symposium on Chitin and Chitosan., Environmental Friendly and Versatile Biomaterials.(ed. Steven, W.J., Rao, M.S. and Chandkrachang, S.). Asian Institute of Technology : Bangkok ; PP. 156-161.

Yang, T. and Zall, R.R. 1984. Removal of metals from sludge using chitosan column. Ind. Water Engineering. 21(4) : 16-20.

ภาคผนวก

ภาคผนวก ก การวิเคราะห์ทางเคมี

1. การวิเคราะห์หาระดับการกำจัดหมู่อะซิติลของไคโตแซน โดยอาศัยการยึดออกของพันธะ (stretching bond) (Domzy and Robert, 1985)

1. เตรียมสารละลายไคโตแซนเข้มข้นร้อยละ 1 (นน./ปริมาตร) ในกรดอะซิติเข้มข้นร้อยละ 1
2. นำสารละลายไคโตแซนเทบานฯ บนเพลทพลาสติก(plastic plate)
3. ทำแห้งที่ 60 องศาเซลเซียส 24 ชั่วโมง
4. นำเพลทพลาสติกที่มีฟิล์มไคโตแซนแข็งในสารละลายผสมของ เมทานอลและ 0.88 กรัม/ซม.³ ของแอมโมเนีย (อัตราส่วน 7:3) 16 ชั่วโมง หลังจากนั้นนำไปแข็งในสารละลายโซเดียมไฮดรอกไซด์ ร้อยละ 10 เป็นเวลา 4 ชั่วโมง
5. นำฟิล์มที่ได้ล้างด้วยน้ำกลันและเมทานอล
6. ทำแห้งในเดสซิเคเตอร์ภายใต้สภาวะสุญญากาศ 24 ชั่วโมง
7. นำฟิล์มที่ได้มารวิเคราะห์ด้วยเครื่องอินฟารेड รุ่น Pye Unicam SP-200S Infared Spectrophotometer (ภายในเวลา 3 นาที)

$$\text{ระดับการกำจัดหมู่อะซิติล (ร้อยละ)} = 100 - [A_{1655} / A_{3450} \times 115]$$

A_{1655} = ค่าการผ่านแสงที่ความถี่ 1655 cm^{-1}

A_{3450} = ค่าการผ่านแสงที่ความถี่ 3450 cm^{-1}

2. การวิเคราะห์หาซีโอดี โดยวิธีของ APHA, AWWA และ WPCF (1985)

1.1 วัสดุอุปกรณ์

1. อุปกรณ์กลั้นไอลกลับ (Reflux)

- ขวดกลมขนาด 250 มิลลิลิตร
- เครื่องควบแน่น
- เตาให้ความร้อน (hot plate)

2. วิวัฒนาการ

1.2 สารเคมี

1. สารละลายมาตรฐานโพแทสเซียมไดโครามาดเข้มข้น 0.025 นอร์มอล

2. ละลายโพแทสเซียมไดโครามาด ($K_2Cr_2O_7$) ซึ่งอนให้แห้งที่ 103 องศาเซลเซียส เวลา 2 ชั่วโมง จำนวน 12.259 กรัม ในน้ำกลั้น เติมกรดซัลฟามิก 0.12 กรัม แล้วเจือจางจนปริมาตรเป็น 1000 มิลลิลิตร

3. สารทดสอบกรดซัลฟูริก (Sulfuric acid reagent)

ละลายซิลเวอร์ชัลเฟต ($AgSO_4$) 22 กรัม ในกรดซัลฟูริกเข้มข้น บรรจุขวดขนาด 1 ปอนด์ (2.65 ลิตร) เมื่อongจากซิลเวอร์ชัลเฟตละลายมากมาก อาจใช้เวลา 1-2 วันจึงละลายหมด (เติมซิลเวอร์ชัลเฟตลงในกรดซัลฟูริกเข้มข้นในอัตรา 5.5 กรัม/1 กก.)

3. สารละลายมาตรฐานเฟอร์รัสแอมโมเนียมชัลเฟตเข้มข้น 0.10 นอร์มอล

3.1 การเตรียมสารละลาย

ละลายเฟอร์รัสแอมโมเนียมชัลเฟต [$Fe(NH_4)_2(SO_4)_2 \cdot 6H_2O$] จำนวน 39 กรัม ในน้ำกลั้น เติมกรดซัลฟูริกเข้มข้น 20 มิลลิลิตร ทำให้เย็นแล้วเติมน้ำกลั้นให้ครบ 1000 มิลลิลิตร

3.2 การหาความเข้มข้นของสารละลาย

ปั๊ปสารละลายมาตรฐานโพแทสเซียมไดโครามาด (0.25นอร์มอล) จำนวน 10 มิลลิลิตร เติมน้ำกลั้นจนได้ปริมาตร 100 มิลลิลิตร เติมสารทดสอบกรดซัลฟูริก 30 มิลลิลิตร ทิ้งไว้ให้เย็น ไถเทเรทด้วยสารละลายเฟอร์รัสแอมโมเนียมชัลเฟต เติมเฟอร์โรอิน 2-3 หยดเป็นอินดิเคเตอร์

ความเข้มข้น (นอร์มอล) = ปริมาณสารละลายน้ำได้ครอนต์ (มิลลิลิตร) X 0.25

ปริมาณสารละลายน้ำได้ครอนต์ (มิลลิลิตร)

4. สารละลายน้ำได้ครอนต์

ละลายน 1, 10- ฟีแนนโกรลินไม่ไนเตรต ($C_{12}H_8N_2 \cdot H_2O$) จำนวน 1.485 กรัม และเฟอร์รัสซัลเฟต ($FeSO_4 \cdot 7H_2O$) จำนวน 0.695 กรัม เติมน้ำจนปริมาตรเป็น 100 มิลลิลิตร

5. ซิลเวอร์ซัลเฟตชนิดผง ($AgSO_4$)

6. เมอร์คิวริชัลเฟต ($HgSO_4$) ชนิดเป็นผลึกบริสุทธิ์หรือเป็นผง (ใช้เป็นตัวกำจัดอนุภาคคลอไรด์ (Cl^-) ในอัตราส่วน $HgSO_4$ ต่อ $Cl^- = 10 : 1$)

7. กรดซัลฟามิก ใช้ในกรณีกำจัดในไตรท์เท่านั้น

1.3 วิธีการวิเคราะห์

1. เติมเมอร์คิวริชัลเฟต 0.4 กรัม ลงในขวดกลม

2. เติมตัวอย่าง 20 มิลลิลิตร หรือส่วนของตัวอย่างที่เจือจากด้วยน้ำก้อนเป็น 20 มิลลิลิตร

3. เติมสารละลายน้ำได้ครอนต์ 10 มิลลิลิตร และเม็ดแก้ว (glass bead) 3-5 เม็ด

4. ค่อยๆ เติมสารผสมกรดฟูริก 30 มิลลิลิตร เข้าไปให้เข้ากันเพื่อละลายเมอร์คิวริชัลเฟต ควรทำให้เย็นขณะเข้าไปเพื่อลดการเสียหายของสารที่เป็นไอในตัวอย่าง (อาจแซ่บในอ่าง)

5. กลั่นด้วยอุปกรณ์กลั่นไอลกลับ ประมาณ 2 ชั่วโมง

6. ไฟเทเรตสารละลายน้ำได้ครอนต์ที่เกินพอด้วยสารละลายน้ำได้ครอนต์ ใช้เฟอร์โรอีนเป็นอินดิเคเตอร์ เมื่อจุดยติจะเปลี่ยนจากสีเขียวเป็นน้ำเงินไปเป็นสีน้ำตาลแดง

7. ทำ blank โดยใช้น้ำก้อน 20 มิลลิลิตร แทนตัวอย่างน้ำและทำเช่นเดียวกับตัวอย่าง (ข้อ 1-6)

$$\text{ซีโอดี (mg./ลิตร)} = (a-b) \times N \times 8 \times 1000$$

ปริมาณสารตัวอย่าง(มิลลิลิตร)

a คือ ปริมาณสารละลายน้ำในรัศเอมโมเนียมชัลเฟต์ที่ใช้ให้เท่ากับ blank
(มิลลิลิตร)

b คือ ปริมาณสารละลายน้ำในรัศเอมโมเนียมชัลเฟต์ที่ใช้ให้เท่ากับตัวอย่าง
(มิลลิลิตร)

N คือ ความเข้มข้นของสารละลายน้ำในรัศเอมโมเนียมชัลเฟต์ (นอร์มอล)

3. การวิเคราะห์ทางของแข็งทั้งหมด (Total solids) โดยวิธีของ APHA, AWWA และ WPCF (1985)

2.1 วัสดุอุปกรณ์

1. ด้วยกระเบื้องเคลือบสำหรับระบายน้ำ
2. ตู้อบ ที่ควบคุมอุณหภูมิได้ที่ 103 องศาเซลเซียส
3. ถังไอน้ำ
4. เดซิกเคเตอร์
5. เครื่องซั่งชนิดละเอียด

2.2 วิธีการวิเคราะห์

1. นำด้วยกระเบื้องระบายน้ำด้านให้สะอาด อบให้แห้งในตู้อบที่อุณหภูมิ 103 องศาเซลเซียส เป็นเวลา 1 ชั่วโมง ทำให้เย็นในเดซิกเคเตอร์แล้วซั่ง
2. ตวงตัวอย่าง 50 มิลลิลิตร หรือน้อยกว่าใส่ในถ้วยระบายน้ำที่ทราบน้ำหนัก
 1. แน่นอน
 3. นำไปประเทยให้แห้งบนถังไอน้ำ
 4. อบให้แห้งที่อุณหภูมิ 103 องศาเซลเซียส เป็นเวลา 1 ชั่วโมง
 5. ทำให้เย็นในเดซิกเคเตอร์ ประมาณ 45 นาที
 6. ซั่งน้ำหนัก

ของแข็งทั้งหมด (มก./ลิตร) = น้ำหนักของแข็ง (มก.) X 1000
ปริมาตรตัวอย่าง(มิลลิลิตร)

ภาคผนวก ข ผลการวิเคราะห์ความแปรปรวนทางสถิติ

ตารางผนวกที่ 1 ผลวิเคราะห์ความแปรปรวนผลของความเข้มของสารละลายน้ำมีเยื่ม พีเอช และขนาดอนุภาคต่อความสามารถในการจับไคติน

| SV | DF | SS | MS | F |
|-----------|----|------------|-----------|-----------|
| Teratment | 26 | 24430.6648 | 939.6409 | 97.10 ** |
| Conc (C) | 2 | 3646.9867 | 1823.4934 | 188.43 ** |
| pH (P) | 2 | 18160.3393 | 9080.1696 | 938.31 ** |
| Size (S) | 2 | 1504.4457 | 752.2228 | 77.73 ** |
| CXP | 4 | 341.2944 | 85.3236 | 8.82 ** |
| CXS | 4 | 121.1683 | 30.2920 | 3.13 ** |
| PXS | 4 | 261.2733 | 65.3183 | 6.75 ** |
| CXPXS | 8 | 395.1568 | 49.3496 | 5.10 ** |
| Error | 54 | 522.5684 | 9.6771 | |
| Total | 80 | 24953.233 | | |

หมายเหตุ CV = 4.6 %

** มีความแตกต่างอย่างมีนัยสำคัญยิ่ง ($P<0.01$)

ตารางผนวกที่ 2 ผลวิเคราะห์ความแปรปรวนผลของความเข้มข้นของสารละลายโดยรัมเมีย
และขนาดอนุภาคต่อความสามารถในการจับของไคตินที่ pH เอกซ์ 5.0
7.0 และ 9.0

| SV | DF | SS | MS | F |
|------------|----|-----------|----------|----------|
| (pH 5.0) | | | | |
| Treatment | 8 | 3195.4860 | 399.4357 | 36.18 ** |
| Error | 18 | 198.8076 | 11.0448 | |
| CV = 7.2 % | | | | |
| (pH 7.0) | | | | |
| Treatment | 8 | 1685.3575 | 210.6696 | 29.24 ** |
| Error | 18 | 129.6758 | 7.2042 | |
| CV = 3.4 % | | | | |
| (pH 9.0) | | | | |
| Treatment | 8 | 1375.3912 | 171.9239 | 15.78 ** |
| Error | 18 | 196.0648 | 10.8924 | |
| CV = 4.3 % | | | | |

หมายเหตุ ** มีความแตกต่างอย่างมีนัยสำคัญยิ่ง ($P < 0.01$)

ตารางผนวกที่ 3 ผลวิเคราะห์ความแปรปรวนผลของความเข้มของสารละลายนะก้าว
พีโอดี และขนาดอนุภาคต่อความสามารถในการจับไคติน

| SV | DF | SS | MS | F |
|-----------|----|------------|-----------|------------|
| Teratment | 26 | 19109.3557 | 734.9751 | 179.37** |
| Conc (C) | 2 | 251.4468 | 125.7234 | 30.68 ** |
| pH (P) | 2 | 17522.7191 | 8761.3595 | 2138.26 ** |
| Size (S) | 2 | 277.5191 | 138.7595 | 33.87 ** |
| CXP | 4 | 675.7433 | 168.9353 | 41.23 ** |
| CXS | 4 | 56.3384 | 14.0846 | 3.44 ** |
| PXS | 4 | 278.8395 | 69.7099 | 17.01 * |
| CXPXS | 8 | 46.7492 | 5.8436 | 1.43 ns |
| Error | 54 | 221.2610 | 4.0974 | |
| Total | 80 | 19330.6147 | | |

หมายเหตุ CV = 2.3 %

ns ไม่มีความแตกต่างอย่างมีนัยสำคัญ ($P>0.05$)

* มีความแตกต่างอย่างมีนัยสำคัญยิ่ง ($P<0.05$)

** มีความแตกต่างอย่างมีนัยสำคัญยิ่ง ($P<0.01$)

ตารางผนวกที่ 4 ผลวิเคราะห์ความแปรปรวนผลของความเข้มข้นของสารละลาย
ตะกั่วและขนาดอนุภาคต่อความสามารถในการจับของไคตินที่
พีเอช 5.0 7.0 และ 9.0

| SV | DF | SS | MS | F |
|------------|----|-----------|----------|----------|
| (pH 5.0) | | | | |
| Treatment | 8 | 1558.5060 | 194.8132 | 86.88 ** |
| Error | 18 | 40.3622 | 2.2423 | |
| CV = 2.2 % | | | | |
| (pH 7.0) | | | | |
| Treatment | 8 | 7.2414 | 0.9051 | 3.48 ** |
| Error | 18 | 4.6860 | 0.2603 | |
| CV = 0.5 % | | | | |
| (pH 9.0) | | | | |
| Treatment | 8 | 13.5438 | 1.6929 | 4.69 ** |
| Error | 18 | 6.4988 | 0.3610 | |
| CV = 0.6 % | | | | |

หมายเหตุ ** มีความแตกต่างอย่างมีนัยสำคัญยิ่ง ($P<0.01$)

ตารางผนวกที่ 5 ผลวิเคราะห์ความแปรปรวนผลของความเข้มของสารละลายโคโรเนียม
พีโอด และขนาดอนุภาคต่อความสามารถในการจับโคโตแซน

| SV | DF | SS | MS | F |
|-----------|----|-----------|-----------|-----------|
| Teratment | 26 | 9284.4909 | 357.0958 | 50.58 ** |
| Conc (C) | 2 | 1833.0690 | 916.5345 | 129.83 ** |
| pH (P) | 2 | 5480.1186 | 2740.0593 | 388.14 ** |
| Size (S) | 2 | 873.3574 | 36.6878 | 61.86 ** |
| CXP | 4 | 455.8018 | 113.9504 | 16.14 ** |
| CXS | 4 | 70.4333 | 17.6083 | 2.49 ns |
| PXS | 4 | 264.2657 | 66.0664 | 9.36 * |
| CXPXS | 8 | 307.4265 | 38.4283 | 5.44 ** |
| Error | 54 | 367.0897 | 7.0594 | |
| Total | 80 | 9658.0471 | | |

หมายเหตุ CV = 4.1 %

ns ไม่มีความแตกต่างอย่างมีนัยสำคัญ ($P>0.05$)

** มีความแตกต่างอย่างมีนัยสำคัญยิ่ง ($P<0.01$)

ตารางผนวกที่ 6 ผลวิเคราะห์ความแปรปรวนผลของความเข้มข้นของสารละลาย
โคโรเมียม และขนาดอนุภาคต่อความสามารถในการจับของไคโตเซน
ที่พีเอช 5.0 7.0 และ 9.0

| SV | DF | SS | MS | F |
|------------|----|-----------|----------|----------|
| (pH 5.0) | | | | |
| Treatment | 8 | 1490.7305 | 186.3413 | 31.28 ** |
| Error | 18 | 106.8801 | 5.9377 | |
| CV = 4.5 % | | | | |
| (pH 7.0) | | | | |
| Treatment | 8 | 356.4561 | 44.5570 | 4.53 ** |
| Error | 18 | 177.0513 | 9.8363 | |
| CV = 4.6 % | | | | |
| (pH 9.0) | | | | |
| Treatment | 8 | 1919.2422 | 239.9052 | 49.78 ** |
| Error | 18 | 86.7541 | 4.8196 | |
| CV = 3.0 % | | | | |

หมายเหตุ ** มีความแตกต่างอย่างมีนัยสำคัญ (P<0.01)

ตารางผนวกที่ 7 ผลวิเคราะห์ความแปรปรวนผลของความเข้มของสารละลายน้ำ ก้า พีเอช
และขนาดอนุภาคต่อความสามารถในการจับไฮโดรเจน

| SV | DF | SS | MS | F |
|-----------|----|------------|-----------|-----------|
| Teratment | 26 | 11915.3145 | 485.2813 | 126.40** |
| Conc (C) | 2 | 355.4267 | 177.7133 | 48.91** |
| pH (P) | 2 | 9762.4002 | 4881.2001 | 1343.52** |
| Size (S) | 2 | 18.4015 | 9.2007 | 2.53 ns |
| CXP | 4 | 1706.3970 | 426.5992 | 117.42 ** |
| CXS | 4 | 30.4719 | 7.6179 | 2.10ns |
| PXS | 4 | 28.8360 | 7.2090 | 1.98ns |
| CXPXS | 8 | 13.3810 | 1.6726 | <1 |
| Error | 54 | 196.1892 | 3.6331 | |
| Total | 80 | 12111.5038 | | |

หมายเหตุ CV = 2.1 %

ns ไม่มีความแตกต่างอย่างมีนัยสำคัญ ($P>0.05$)

** มีความแตกต่างอย่างมีนัยสำคัญยิ่ง ($P<0.01$)

ตารางพนวกที่ 8 ผลวิเคราะห์ความแปรปรวนผลของความเข้มข้นของสารละลายน้ำกัด
และขนาดอนุภาคต่อความสามารถในการจับของไคโตแซนท์ฟีโซช 5.0
7.0 และ 9.0

| SV | DF | SS | MS | F |
|------------|----|-----------|----------|----------|
| (pH 5.0) | | | | |
| Treatment | 8 | 2060.0076 | 257.5009 | 62.20 ** |
| Error | 18 | 74.5215 | 4.1400 | |
| CV = 2.7 % | | | | |
| (pH 7.0) | | | | |
| Treatment | 8 | 13.8728 | 1.7340 | 2.31 ns |
| Error | 18 | 13.5252 | 0.7540 | |
| CV = 0.9 % | | | | |
| (pH 9.0) | | | | |
| Treatment | 8 | 67.2503 | 8.4063 | 9.01 ** |
| Error | 18 | 16.7949 | 0.9330 | |
| CV = 1.0 % | | | | |

หมายเหตุ ** มีความแตกต่างอย่างมีนัยสำคัญยิ่ง ($P<0.01$)

ตารางผนวกที่ 9 ผลวิเคราะห์ความแปรปรวนของความสามารถในการกำจัดโครงเมี้ยมและ
ตะกั่วของโคตินในลักษณะคลัมน์เดียว ที่อัตราเร็วของการเคลื่อนที่ 800
1000 และ 1200 มิลลิลิตร/ชั่วโมง

| SV | DF | SS | MS | F |
|-----------|----|----------|---------|-----------|
| Treatment | 5 | 2884.682 | 576.936 | 663.34 ** |
| Error | 12 | 10.436 | 0.867 | |
| Total | 17 | 2895.119 | | |

หมายเหตุ CV = 2.0 %

** แตกต่างอย่างมีนัยสำคัญยิ่ง ($P<0.01$)

ตารางผนวกที่ 10 ผลวิเคราะห์ความแปรปรวนของความสามารถในการกำจัดโครงเมี้ยม
และตะกั่วของโคโตแซนในลักษณะคลัมน์เดียว ที่อัตราเร็วของการ
เคลื่อนที่ 800 1000 และ 1200 มิลลิลิตร/ชั่วโมง

| SV | DF | SS | MS | F |
|-----------|----|----------|----------|-----------|
| Treatment | 5 | 5027.973 | 1005.594 | 325.94 ** |
| Error | 12 | 37.022 | 3.085 | |
| Total | 17 | 5064.995 | | |

หมายเหตุ CV = 2.6 %

** แตกต่างอย่างมีนัยสำคัญยิ่ง ($P<0.01$)

ตารางพนวกที่ 11 ผลวิเคราะห์ความแปรปรวนของความสามารถในการกำจัดโครงเมี้ยม
ตะกั่วของไคตินในลักษณะ colloidal ที่อัตราเร็วของการเคลื่อนที่ของ
สารละลายโลหะ 800 1000 และ 1200 มิลลิลิตร/ชั่วโมง

| SV | DF | SS | MS | F |
|-----------|----|----------|---------|-----------|
| Treatment | 5 | 4565.703 | 913.146 | 373.41 ** |
| Error | 12 | 29.344 | 2.445 | |
| Total | 17 | 4595.048 | | |

หมายเหตุ CV = 2.7 %

** แตกต่างอย่างมีนัยสำคัญยิ่ง ($P<0.01$)

ตารางพนวกที่ 12 ผลวิเคราะห์ความแปรปรวนของความสามารถในการกำจัดโครงเมี้ยม
ตะกั่วของไคโตแซนในลักษณะ colloidal ที่อัตราเร็วของการเคลื่อนที่
ของสารละลายโลหะ 800 1000 และ 1200 มิลลิลิตร/ชั่วโมง

| SV | DF | SS | MS | F |
|-----------|----|----------|---------|-----------|
| Treatment | 5 | 1810.615 | 326.123 | 936.83 ** |
| Error | 12 | 4.638 | 0.386 | |
| Total | 17 | 1815.235 | | |

หมายเหตุ CV = 0.8 %

** แตกต่างอย่างมีนัยสำคัญยิ่ง ($P<0.01$)

70/07

ประวัติผู้เขียน

ชื่อ นายเกรียง บัวตุ่ม

วัน เดือน ปีเกิด 1 เมษายน 2514

วุฒิการศึกษา

วุฒิ

ชื่อสถาบัน

ปีที่สำเร็จการศึกษา

วิทยาศาสตร์บัณฑิต มหาวิทยาลัยสงขลานครินทร์

2536

(อุดสาหกรรมเกษตร)

ทุนการศึกษา (ที่ได้รับในระหว่างการศึกษา)

ทุนการศึกษาของสำนักงานพัฒนาวิทยาศาสตร์และเทคโนโลยีแห่งชาติ (สวทช.)

ทุนผู้ช่วยสอน